

INSTITUTUL POLITEHNIC „TRAIAN VUIA” TIMIȘOARA
FACULTATEA DE ELECTROTEHNICA

T E Z A D E D O C T O R A T

CONTRIBUTII LA STUDIUL CIRCUITELOR ELECTRICE FILIFORME
NELINIARE IN REGIM FORTAT.

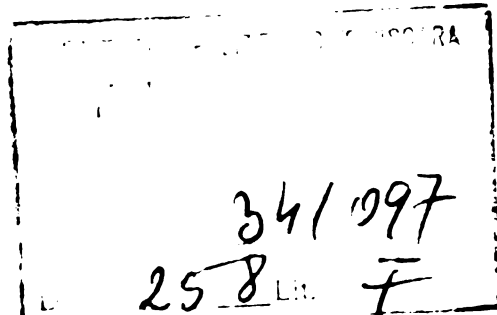
Ing. LE - VAN - DOANH

BIBLIOTECA CENTRALĂ
UNIVERSITATEA „POLITEHNICA”
TIMIȘOARA

Conducător științific

Prof.dr.ing. Ioan De Sabata

- 1 9 7 8 -



C U P R I N S U L .

CAP.I. INTRODUCERE	
1.1. Definiția și clasificarea circuitelor electrice neliiniare și parametrice	2
1.2. Principalele teoreme ale circuitelor electrice neliiniare	4
1.3. Metodele de rezolvare ale circuitelor neliiniare	7
1.3.1. Metode analitice	8
1.3.2. Metode grafice și grafo-analitice	9
1.3.3. Metode numerice și folosirea calculatoarelor numerice în analiza circuitelor electrice neliiniare.	9
1.3.4. Metode analogice	12
1.4. Scopul tezei de doctorat	12
CAP.II. METODELE DE REZOLVARE ALE CIRCUITELOR ELECTRICE NELINIARE IN REGIM FORTAT.	
2.1. Regimurile de funcționare ale circuitelor neliiniare	15
2.2. Metodele de calcul ale circuitelor neliiniare de curent continuu	16
2.2.1. Ecuatiile matriceale generale ale circuitelor neliiniare de curent continuu	17
2.2.2. Metodele iterative de rezolvare ale circuitelor neliiniare	18
2.2.3. Metoda programării neliiniare	22
2.3. Metodele de calcul pentru regim forțat periodic	25
2.3.1. Considerații generale	25
2.3.2. Metodele analitice de rezolvare ale circuitelor de curent alternativ cu elemente neliiniare inertiale	26
2.3.3. Metodele grafice de rezolvare ale circuitelor de curent alternativ cu elemente neliiniare inertiale	30
2.3.4. Metodele de calcul ale circuitelor de curent alternativ cu elemente neliiniare inertiale ..	33
2.4. Metoda liniarizării pe porțiuni a caracteristicii neliiniare	33
2.5. Metoda ecuațiilor integrale	36
2.6. Studiul regimului periodic în circuite neliiniare prin metode numerice	37

CAP.III. METODA BALANTEI ARMONICE MODIFICATE	.
3.1. Considerații generale despre metoda balanței armonice	41
3.2. Metoda balanței armonice modificate	52
A. Cazul răspunsului impar	53
3.2.1. Circuitul R,L serie cu bobină neliniară	53
3.2.2. Circuitul R,L serie cu condensator neliniar	55
3.2.3. Circuitul R,L serie cu rezistență neliniară	56
3.2.4. Circuitul R,C serie cu rezistență neliniară	57
B. Cazul răspunsului oarecare	58
3.2.5. Circuitul R,L serie cu bobină neliniară	58
3.2.6. Circuitul R,L serie cu rezistență neliniară	61
3.2.7. Circuitul R,L,C serie cu bobină neliniară	62
3.3. Exemplu de calcul	64
CAP.IV. ASUPRA TRANSFORMATEI IN PUNCTE SI IN COMPLEX	.
4.1. Considerații despre transformata în puncte	69
4.2. Proprietățile principale ale transformatei în puncte	70
4.3. Găsirea soluțiilor periodice ale circuitelor neliniare prin transformata în puncte	76
4.4. Considerații generale despre transformata în complex	82
4.5. Proprietățile principale ale transformatei în complex	83
4.6. Metoda generală de rezolvare a regimurilor forțate periodice prin transformata în complex	85
CAP.V. METODA OPERATIONALA PENTRU STUDIUL REGIMURILOR FORTATE	.
5.1. Considerații generale	91
5.2. Integrala Fourier generală	91
5.3. Teoremele principale ale transformatei Laplace pe o perioadă	94
5.3.1. Teorema derivatei	94
5.3.2. Teorema integralei	95
5.3.3. Teorema deplasării	95
5.3.4. Teorema puterii unei funcții originale	95
5.4. Calculul soluțiilor forțate periodice prin metoda operatională pentru circuite liniare	96
5.5. Calculul soluțiilor forțate periodice ale circuitelor neliniare prin metoda operatională	98
5.6. Exemplu de calcul	100
CAP.VI. FOLOSIREA CALCULATOARELOR ANALOGICE IN ANALIZA CIRCUITELOR ELECTRICE NELINIARE.	.
6.1. Notiuni de bază	104
6.2. Elementele calculatorului analogic	105
6.3. Programarea calculatorului analogic	105
6.4. Micșorarea erorilor calculatorului analogic	107

6.5. Elementele neliiniare ale calculatoarelor analogice	110
6.6. Studiul circuitelor neliiniare pe calculatorul ana- logic MEDA 42 TL	120
6.6.1. Descriere	120
6.6.2. Rezolvarea circuitului neliiniar de curent continuu pe MEDA-42-TL	121
6.6.3. Modelarea curbei de magnetizare	123
6.6.4. Regim forțat periodic în circuitul R,L serie cu rezistență neliiniară	126
6.6.5. Regim forțat periodic în circuitul R,L serie cu bobina neliiniară	129
6.6.6. Studiu seignetoferorezonanței pe calculatorul MEDA 42-TL	131
 CAP.VII. CONCLUZII GENERALE	136
 BIBLIOGRAFIE	138
 ANEXE	
1. Programarea în FORTRAN BAMOD.	
2. Programarea în FORTRAN CIRCUIT	

CAPITOLUL I

INTRODUCERE

Fenomenele neliniare joacă un rol foarte important în electrotehnica deoarece materialele neliniare se întâlnesc pe larg în construcția mașinilor, dispozitivelor și aparatelor electrice. Elementele neliniare cum sunt: diodele, tranzistoarele, tiristoarele, elemente feromagnetic și feroelectrice se utilizează curent în tehnică.

Practic, toate fenomenele prezintă un anumit grad de neliniaritate de aceea studiul fenomenelor neliniare prezintă o importanță deosebită din punct de vedere teoretic și practic.

Electrotehnica neliniară este o parte tânără a electrotehnicii și se dezvoltă foarte repede. Studiul fenomenelor neliniare are nevoie de cunoștințe din multe domenii cum sunt: metodica de calcul, teoria sistemelor, teoria vibrațiilor... iar în acest domeniu electrotehnica neliniară joacă un rol foarte important. Dezvoltarea tehnicii pune în fața teoriei circuitelor electrice probleme noi din ce în ce mai complexe. De aceea teoria circuitelor liniare devine insuficientă. Încă din 1955 Neiman L.P [24] a arătat că „Elaborarea metodelor de analiză a sistemelor neliniare este una din problemele cele mai importante ale electrotehnicii moderne”.

Teoria sistemelor neliniare a început să se dezvolte din secolul XVIII fiind legată de numele lui Euler. Rezultatele fundamentale în calculul aproximativ au fost obținute de Lagrange, Taylor, Cebîsev... Teoria creșterilor mici și a stabilității făcută de Liapunov A.M, Poincaré A și alții a fost dezvoltată de Hurwitz, Mihailov, Nyquist...

Teoria vibrațiilor neliniare a fost elaborată de van der Pol, L.I.Mandelstam, N.M.Krîlov, N.N.Bogolibov, A.I.Berg, Ch. Nayashi... Teoria circuitelor electrice neliniare este legată de lucrările lui P.Ionkin, A.Feldbaum, G.E.Puhov, L.A.Bessonov, W.I.Cunningham, G.Duffing, E.Philippov și alții.

In România școala electrotehnică neliniară de la Iași este binecunoscută. Contribuțiile importante în teoria stabilității au fost făcute de V.M.Popov. Metoda transformației în plan complex a fost făcută de Fl.Stănciulescu [37]. Trebuie să remarcăm contribuțiile lui Gh.Savin și H.Rosman [35] F.Spinei [34] și alții în analiza circuitelor electrice neliniare și parametrice.

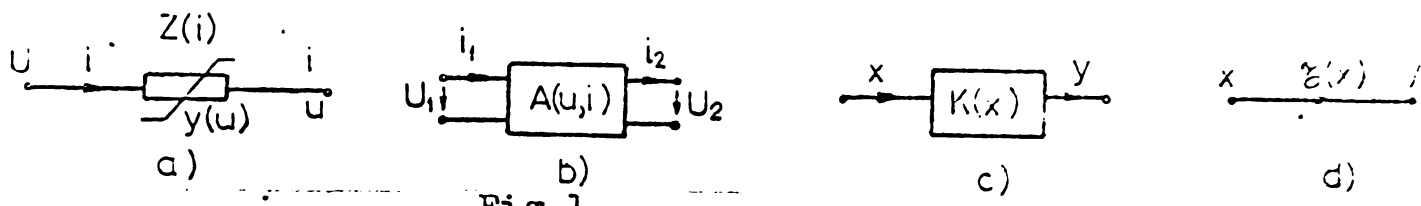
1.1. Definiția și clasificarea circuitelor electrice neliniare și parametrice.

Să numesc circuite neliniare acele circuite ale căror semnale răspuns sunt funcții neliniare de semnale de excitație. Relațiile dintre semnalele răspuns și semnalele excitație în general se dau în forma unui sistem de ecuații integrodiferențiale neliniare.

$$\left\{ \begin{array}{l} \frac{dx_1}{dt} = f(x_1, x_2 \dots x_n, t) \\ \dots \dots \dots \dots \dots \dots \\ \frac{dx_n}{dt} = f(x_1, x_2 \dots x_n, t) \end{array} \right. \quad (1.1)$$

unde x_i sunt variabile de stare și pot reprezenta o tensiune u , un curent i , flux magnetic ψ , sarcină electrică q , stările contactelor unui releu, etc.

Schemele din care rezultă relațiile dintre semnale intrare și de ieșire pot fi reprezentate grafic ca în fig.la pentru un dipol neliniar, fig.l.b. pentru un quadripol neliniar sau fig. lc pentru o schemă bloc și în fine fig.ld pentru un graf neliniar.



In tehnica se întâlnesc ecuații mai simple de forma:

$$y = k(x) \cdot \frac{dx}{dt} \quad (1.2)$$

unde $k(x)$ este parametrul caracteristic al elementelor neliniare. De exemplu acesta poate fi inductivitatea dinamică $L_d(i)$, capacitatea dinamică $C_d(u)$ sau rezistența dinamică $R_d(i)$, conductanța dinamică $G_d(u)$...

Circuite parametrice se numesc acele circuite ale căror parametri variază în timp, cel mai general tip de circuit întîlnit în practică fiind cel neliniar parametric. Clasificarea elementelor de circuit neliniare și parametrice precum și ecuațiile lor se dau în tabelul 1.1.

Elementele de circuit neliniare
 se clasifică
 în funcție de rolul
 funcțional, de proprietățile energetice, de forma caracteristicii.

Din punct de vedere al proprietăților energetice se desegnăsească elemente dissipative și nedissipative. Din prima categorie fac parte toate tipurile de rezistoare neliniare iar din a doua categorie fac parte bobinile neliniare și condensatoarele neliniare. Din punct de vedere al formei caracteristicii elementele neliniare se împart în elemente cu caracteristică simetrică, nesimetrică și multiformă.

Din punct de vedere al numărului de caracteristici se disting circuite neliniare necomandate pentru care se poate trasa o singură caracteristică răspuns-excitare și circuite neliniare comandate pentru care se pot trasa familii de caracteristici, cîte una pentru fiecare valoare a unui semnal suplinitor de comandă.

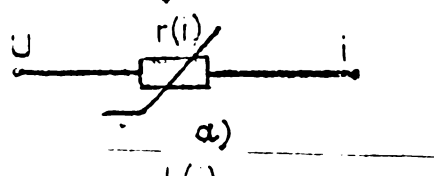
Din punct de vedere al comportării elementului nelinier la un semnal de excitare alternativ se pot deosebi elemente nelineare inerțiale și elemente nelineare inerțiale. Elementele nelineare inerțiale au caracteristicile nelineare trasate în valori efective, iar cele trasate în valori instantanee sunt liniare. Elementele nelineare neinerțiale au caracteristicile nelineare atât pentru valorile efective cât și pentru valorile instantanee ale semnalului de excitare.

1.2. Principalele teoreme ale circuitelor electrice nelineare

In circuitele nelineare prima teoremă a lui Kirchhoff are aceeași formă ca în circuite liniare:

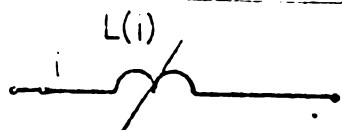
$$\sum_{j=1}^n i_j = 0 \quad (1.3)$$

A doua teoremă a lui Kirchhoff aplicată unei rețele electrice conduce la un sistem de ecuații integro-diferențiale nelineare (1.1). In cazul particular, pentru un rezistor nelinier (fig.2.a) avem ecuația legii lui Ohm :



$$u = r(i) \cdot i \quad (1.4a)$$

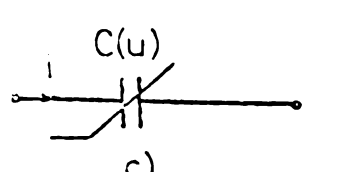
$$i = g(u) \cdot u \quad (1.4b)$$



Pentru bobina nelinieră (fig.2.b) ecuația

legii lui Ohm este :

$$u_L = \frac{d\psi}{dt} = \frac{d\psi}{di} \cdot \frac{di}{dt} = L_d(i) \cdot \frac{di}{dt} \quad (1.5)$$



Pentru condensator nelinier (fig.2.c) ecuația legii lui Ohm este :

$$i = \frac{dq}{dt} = \frac{dq}{du_c} \cdot \frac{du_c}{dt} = C_d(u_c) \cdot \frac{du_c}{dt} \quad (1.6)$$

Fig.2...

Deoarece ecuațiile circuitelor nelineare după teoremele lui Kirchhoff sunt ecuații nelineare care nu respectă principiul superpoziției, rezultă că analiza circuitelor nelineare prezintă o mare dificultate.

TABLEUL 1.1.
Elemente de circuitelor electrice și ecuațiile lor.

Element de circuit	Rezistor	Bobină	Condensator
Liniar	 $u = ri$ $i = gu$	$\Psi = L \cdot i$ $u_L = \frac{d\Psi}{dt} = L \frac{di}{dt}$	 $q = Cu_c$ $i = \frac{dq}{dt} = C \frac{du_c}{dt}$
Nelinier	 $u = r(i) \cdot i$ $i = g(u) \cdot u$	$\Psi = L(i) \cdot i$ $u_L = \frac{d\Psi}{dt} = \frac{d\Psi}{di} \cdot \frac{di}{dt} = \left[L(i) + i \frac{dL(i)}{di} \right] \frac{di}{dt}$ $= L_d \cdot \frac{di}{dt}$	 $q = c(u) \cdot u_c$ $i = \int [c(u) + u_c \frac{dc(u)}{dt}] \frac{du_c}{dt} = c_d \frac{du_c}{dt}$
Parametric	 $u = r(t) \cdot i$ $i = g(\tau) \cdot u$	$\Psi = L(t) \cdot i$ $u_L = \frac{d\Psi}{dt} = L(t) \cdot \frac{di}{dt} + i \frac{dL(t)}{dt}$	 $q = c(t) \cdot u_c$ $i = \frac{dq}{dt} = c(t) \cdot \frac{du_c}{dt} + u_c \frac{dc(t)}{dt}$
Noliniar-parametric	 $u = r(z, t) \cdot i$ $i = g(z, t) \cdot u$	$\Psi = L(i, t) \cdot i$ $u_L = \frac{d\Psi}{dt} = \left[L(i, t) + i \frac{dL(i, t)}{di} \right] \frac{di}{dt}$	 $q = c(u, t) \cdot u_c$ $i = \frac{dq}{dt} = \left[c(u, t) + u_c \frac{dc(u, t)}{du_c} \right] \frac{du_c}{dt}$

totodată în circuite neliniare pot apărea fenomene noi care nu au loc în circuite liniare cum sunt: autoexcitație, redresare, modulație, înmulțirea și divizarea frecvenței....

De exemplu dacă caracteristica neliniară are forma:

$$y = ax^2 \quad (1.7)$$

semnalul de excitație este suma $x = x_1 + x_2$ rezultă

$$y = a(x_1 + x_2)^2 = ax_1^2 + ax_2^2 + 2ax_1 \cdot x_2 \neq y(x_1) + y(x_2) = ax_1^2 + ax_2^2 \quad (1.8)$$

În spectrul semnalului răspuns în circuite neliniare pot apărea în afară de armonicile celor două semnale excitație și alte armonici - de combinație, pulsăriile lor rezultând din suma și diferența pulsăriilor celor două semnale de excitație componente. De exemplu în cazul cînd semnalul de excitație este constituit din două semnale sinusoidale de pulsări ω_1, ω_2 , semnalul de răspuns conține armonice de pulsări:

$$\omega = \pm p\omega_1 \pm q\omega_2 \quad (p, q = 0, 1, 2 \dots n) \quad (1.9)$$

Principiul superpoziției și modificarea spectrului semnalului răspuns pentru circuite diferite se dau în tabelul 1.2.

Tabelul 1.2
Proprietățile principale ale circuitelor electrice.

Circuit	Principiul superpoziției	Modificarea spectrului.
Liniar	se aplică	nu se schimbă
Neliniar	nu se aplică	se schimbă
Parametric	se aplică	se schimbă
Neliniar-parametric	nu se aplică	se schimbă.

Pentru studiul circuitelor neliniare în general trebuie să trecem prin două etape:

- Scrierea ecuațiilor diferențiale ale circuitului
- Rezolvarea ecuațiilor diferențiale neliniare prin diverse metode de aproximare.

Ecuatiile diferențiale ale circuitelor se scriu ținind seama de tipurile caracteristicilor neliniare. Dacă caracteristica este dată sub forma $i = f(u)$ atunci în mod rational ecuațiile circuitelor se scriu după tensiunea u , iar dacă este dată sub forma $u = f(i)$, ecuațiile se scriu după curentul i .

In literatură [27], [35], [4] pentru studiul circuitelor neliniare, ecuațiile se scriu după variabile de stare în forma canonica. In [26] circuitele neliniare se consideră ca și sistem neliniar dinamic. In [4] se scriu ecuațiile circuitelor neliniare în forma matricială , de asemenea se obțin ecuațiile matriceale după metoda curentilor de contur, metoda potențialelor nodurilor, metoda valorilor determinate și ecuațiile multipolilor neliniari. In [1] ecuația de stare a circuitelor neliniare se scrie după două variabile de stare : sarcini pe capacitate și fluxuri în inductanțe, de asemenea se prezintă existența și unicitatea soluțiilor de stare și proprietățile lor.

1.3. Metodele de rezolvare ale circuitelor neliniare.

Ecuatiile de stare ale circuitelor neliniare sunt ecuații ~~algebrice~~ integro-diferențiale neliniare, la care nu se mai aplică principiul superpoziției, de aceea nu există o metodă generală de rezolvare a circuitelor neliniare. Cu toate acestea analiza neliniară are de pe acum un arsenal de metode de rezolvare urmărindu-se două căi:

- a) Rezolvarea aproximativă a ecuațiilor diferențiale exacte.
- b) Rezolvarea exactă a ecuațiilor diferențiale aproximative

Prima cale în general este destul de complicată dar permite o rezolvare mai exactă, iar calea a doua este mai simplă dar precizia soluțiilor este mai scăzută.

In literatură [35], [27], [3]... se prezintă metode de rezolvare pentru un anumit fel de circuit și anume: circuite de curent

continuu, circuite neliniare rezistive, inductive, capacitive excitate de tensiune sinusoidală în regim permanent, regim tranzitoriu sau regim forțat. În paragraful acesta vom reprezenta succint metodele de calcul ale circuitelor electrice neliniare.

In mod general putem clasifica metodele de calcul ale circuitelor neliniare în patru grupe: metode analitice, metode grafice și grafo analitice, metode numerice și metode analogice.

1.3.1. Metode analitice.

Sarcina principală a metodelor analitice constă în găsirea soluțiilor sub forma unor serii de forma $\sum_{k=0}^{\infty} a_k x_k(t)$.

In primul rînd caracteristicile sunt aproximate în formă analitică corespunzătoare. Problema aproximării caracteristicilor neliniare mai prezintă încă actualitate în literatură de specialitate. Se folosesc serii Bessel [27] , [3] , serii Lagrange [23] , serii trigonometrice [9] , serii Cebîșev [45] , [22] , etc. pentru aproximarea caracteristicilor neliniare, de asemenea ne interesează aproximarea optimală a caracteristicilor neliniare [7] .

Posibilitatea de aproximare a caracteristicilor tipice prin funcții analitice sunt date în tabelul 1.3.

Metodele analitice au volum mare de calcul de aceea se folosesc numai în circuite simple, iar precizia soluțiilor în general nu depășește precizia metodelor grafice. Ele prezintă avantajul că soluția are o expresie analitică ce se pretează la concluzii generale, care explică proprietățile principale ale circuitelor neliniare.

Metodele analitice cele mai cunoscute sunt: Metoda

balanței armonice, metoda parametrului mic, metoda liniarizării armonice...

1.3.2. Metode grafice și grafo-analitice.

Problemele principale ale metodelor grafice constau în folosirea caracteristicilor pentru a rezolva grafic ecuațiile circuitelor. Răspunsul $x(t)$ se găsește sub forma unei curbe. Metodele grafice principale sunt: metoda grafo-analitică, metoda planelor fazelor, metoda izoclinelor, etc.

Metodele grafice se folosesc pe larg pentru analiza circuitelor ce sunt descrise de ecuații de gradul întâi și de gradul al doilea. Pe planul fazelor se pot aprecia fenomenele complicate apărute în circuite nelineare: stabilitatea, proprietățile soluțiilor [27], [9]. În [51] se folosesc coordonate generale pentru a studia circuite nelineare. Cu ajutorul coordonatelor generale se poate studia calitatea sistemelor complicate.

1.3.3. Metode numerice și folosirea calculatoarelor numerice în analiza circuitelor nelineare.

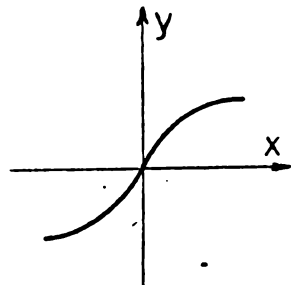
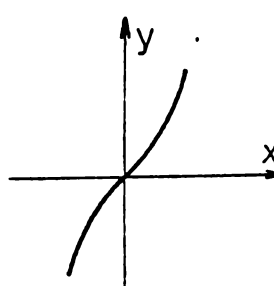
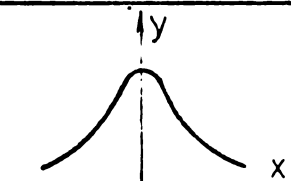
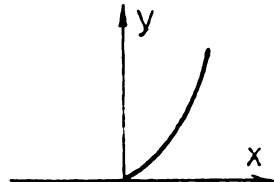
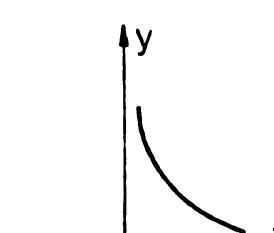
Sarcina principală a metodelor numerice constă în folosirea algoritmilor (programelor) corespunzători pentru rezolvarea numerică a ecuațiilor manuale sau cu ordinatoare. Metodele numerice principale sunt: Metoda Newton, metoda Euler, metoda Runge-Kutta, etc.

În principiu metodele numerice dau rezultate cu precizie dorită, dar cu un volum mare de calcul. În prezent calculatoarele electronice cu viteza de calcul și capacitatea de memorizare foarte mari se folosesc pe larg, de aceea metodele numerice reprezintă o perspectivă pentru analiza circuitelor nelineare.

Au apărut multe programe tipice pentru analiza circuitelor electrice și electronice cum sunt: NET 1, ECAP, CIRCUITS, IMAG, TRAN, ПАЭС, АВТОГРАФ...

TABELUL 1-3

Posibilitatea de aproximare a caracteristicilor tipice prin funcții analitice.

Caracteristica	Funcții aproximative	Observații.
	$y = a_1 x - a_3 x^3 + a_5 x^5 + \dots$ $y = a \operatorname{th} \alpha x$ $y = a \operatorname{arctg} \alpha x$ $y = a \operatorname{arsh} \alpha x$ $y = a \sqrt[2n+1]{bx}$	$\alpha > 0$ $a > 0$ $n > 0, b > 0$
	$y = a_1 x + a_3 x^3 + a_5 x^5$ $y = a \operatorname{arth} \alpha x$ $y = a \operatorname{tg} \alpha x$ $y = a \operatorname{sh} \alpha x$ $y = ax$	$\alpha > 0, \alpha x \leq 1$ $\alpha > 0, \alpha x \leq \frac{\pi}{2}$ $\alpha > 0$ $n > 0$
	$y = \frac{a}{(1+bx)^m}$ $y = a e^{-(bx)^2}$	$n = 1, 2$ $2m \cdot n > 2$ $a > 0$
	$y = ax^b e^{cx}$	$a > 0, b > 1, c > 0$
	$y = \frac{a}{x} + b$ $y = \frac{ax+b}{cx+d}$ $y = \frac{a}{x^b}$ $y = ax^b e^{cx}$ $y = a \operatorname{ch} \alpha x$ $y = a \operatorname{arch} \alpha x$	$a > 0, b > 0$ $ac > 0, b+d > 0$ $a > 0, b > 0$ $a > 0, b > 0, c < 0$ $a > 0, \alpha > 0$ $a > 0, \alpha > 0$

Pentru rezolvarea problemelor pe calculatoare numerice este necesar să se cunoască modelul matematic al fenomenului studiat. Calculatorul nu poate efectua decit operații aritmetice elementare, prin urmare a doua etapă constă în alegerea metodei numerice prin care se rezolvă modelul matematic. După alegerea metodei numerice va fi stabilit algoritmul. În sfîrșit ultima etapă o reprezintă întocmirea efectivă a programului. Acesta se scrie fie în limbajul simbolic al calculatorului, fie într-un limbaj de programare automată.

In [21] se prezintă modelele matematice ale feritelor, varicoloanelor, iar modelele matematice ale elementelor electrice se dau în [24]. Pentru analiza circuitelor nelineare în regim tranzitoriu este avantajoasă folosirea metodelor de calcul numeric cu pași variabili : Metoda Fowler-Warten [10] , metoda Schichman [31] , metoda sistematică [10] , prezintă avantaj mare la calculul circuitelor de grad mare [42].

După [28] folosirea calculatoarelor numerice în analiza și sinteza circuitelor se poate clasifica în patru grupe:

1. Folosirea calculatoarelor pentru determinarea valorilor pe baza unor formule.
2. Formarea programelor după metode cunoscute dar în acest caz volumul de calcul depășește posibilitatea omului.
3. Folosirea calculatoarelor în probleme care nu au soluții generale. În acest caz se realizează modelarea comportării elementelor separate, după aceea se construiesc modelele numerice care reflectă comportările circuitelor în mod precis. În prezent această etapă se realizează semiautomat cu participarea inginerilor electricieni.
4. Legătura calculatoarelor cu dispozitive tehnice,

atunci procesul de proiectare și de producție se unesc.

1.3.4. Metode analogice :

Se folosesc metodelor analogice, de obicei electronice pentru a studia multe probleme ale circuitelor electrice nelineare.

Modelele analogice satisfac aceleași ecuații ca și cele corespunzătoare circuitelor electrice nolineare motiv pentru că răspunsul modelor este ^{identic} cu cel al circuitelor nelineare.

Mașinile analogice de calcul universale sau speciale sunt construite în serie și reprezintă un mijloc eficace în studiul circuitelor nelineare [19], [20], [44].

Trebuie să subliniem că metodelor de calcul al circuitelor electrice-nelineare se aplică nu numai pentru circuite electrice ci și pentru anumite sisteme nelineare din mecanică, hidraulică, etc.

1.4. Scopul tezei de doctorat:

Studiile în domeniul electrotehnicii nelineare, în general se împart în două direcții: studiul unor metode generale de calcul pentru circuite electrice nelineare și studiul unor dispozitive nelineare. Regimul forțat este regimul de funcționare principal al circuitelor electrice. În ultimii ani au apărut multe lucrări în acest domeniu [4], [34], [29]...totuși ca și alte probleme ale circuitelor nelineare, analiza circuitelor nelineare în regim forțat mai este o problemă actuală.

Autorul și-a propus ca în cadrul tezei să urmeze prima cale și anume să dezvolte cîteva metode de calcul a circuitelor nelineare în regim forțat, mai ales metode de calcul în regim forțat periodic, de asemenea vom prezenta folosirea calculatoarelor analogice la studiul circuitelor electrice nelineare.

Teza se împarte în șapte capitole.

In cap.I se prezintă noțiunile generale despre circuitele electrice neliniare, metode generale de rezolvare ale circuitelor neliniare.

In cap.II al tezei se face o sinteză a stadiului actual al metodelor de rezolvare ale circuitelor neliniare în regim forțut, trecindu-se în revistă metodele de calcul cu care mai frecvent folosite.

In cap.III se prezintă metoda balanței armonice modificată unde prin schimbarea originei axelor de coordonate de timp pentru cîteva forme ale caracteristicilor neliniare numărul de ecuații prin metoda balanței armonice se micșorează. Se prezintă un program în FORTRAN pentru metoda balanței armonice modificate.

In cap.IV se prezintă metoda transformatei în puncte și metoda transformatei în complex la găsirea soluțiilor forțate periodice. Se prezintă un program FORTRAN pentru rezolvarea circuitului R.L neliniar folosind metoda derivatelor centrate.

In cap.V se prezintă metoda operațională pentru studiul regimurilor periodice, teoremele principale transformantei operaționale pe o perioadă, o metodă iterativă pentru găsirea soluției periodice folosind metoda operațională pe o pericauză.

In cap.VI se prezintă folosirea calculatoarelor analogice în analiza circuitelor neliniare. Modelarea curbei de magnetizare studiu seignetoferorezonanței pe calculatorul analogic MEBA-42T

In cap.VII se prezintă concluziile principale ale tezei

Doresc să aduc cele mai respectuoase multumiri conducerii de partid și de stat R.S.România pentru condițiile create în procesul de studiu în România care mi-au oferit posibilitatea

să cunosc școala românească de prestigiu în Electrotehnica.

Doreșc să exprim mulțumirea Prof.dr.ing.Ioan De Saba-
ta pentru sprijinul generos acordat în procesul de studiu și
la întocmirea acestei teze . Mulțumesc de asemenea colectivului
Catedrei de Bazele electrotehnicii a I.P.Timișoara care m-a
sprijinit din toată inima sub diverse forme pentru a putea du-
ce la bun sfîrșit această teză.

CAPITOLUL II.

METODELE DE REZOLVARE ALE CIRCUITELOR ELECTRICE NELINIARE IN REGIM FORTAT.

2.1. Regimurile de funcționare ale circuitelor nelineare

Pentru studiul fenomenelor în circuite electrice, mai întîi trebuie să se scrie ecuațiile circuitelor prin teoremele lui Kirchhoff care în general au forma unui sistem de ecuații diferențiale nelineare de forma:

$$F(x, \frac{dx}{dt}, \frac{d^2x}{dt^2} \dots t) = 0 \quad (2.1)$$

Soluția generală $x = x(t)$ a unei astfel de ecuații caracterizează regimul tranzitoriu al circuitului.

Soluția de regim permanent poate fi obținută prin trecerea la limită a soluției generale

$$x_p = \lim_{t \rightarrow \infty} x(t) \quad (2.2)$$

Dacă circuitele sunt excitate de semnale constante în timp, se obține ecuația diferențială autonomă de forma:

$$f(x, \frac{dx}{dt}, \frac{d^2x}{dt^2} \dots) = 0 \quad (2.3)$$

Soluția de regim liber se determină integrind ecuația autonomă (2.3) corespunzător circuitului pasivizat.

Regimul particular de funcționare al unui circuit nelinier, în care semnalul răspuns este de o formă asemănătoare semnalului excitat poartă denumirea de regim forțat. În circuite liniare soluțiile regimului permanent coincid cu cele ale regimului forțat, fiind independent de condițiile inițiale, în circuite nelineare, cele două soluții sunt, în general, diferite.

Regimul forțat este regimul de funcționare principal al dispozitivelor electrice. Problema studiului riguros al regimurilor de funcționare ale circuitelor nelineare prezintă un

grad înalt de dificultate legate de determinarea soluțiilor unui sistem de ecuații diferențiale neliniare (2.1.). Nu există nici o metodă generală universală pentru soluționarea ecuației diferențiale neliniare. Metodele de analiză a circuitelor neliniare în regim forțat sunt laborioase și se pot clasifica în cîteva grupe:

- a) Metodele de calcul pentru circuitele excitate de curent continuu.
- b) Metodele de calcul pentru circuitele excitate de semnale alternative cu elemente neliniare inerțiale sau neinerțiale.
- c) Metodele de calcul pentru circuitele excitate de semnale continue mari și de semnale alternative destul de mici, atunci circuitele se consideră ca liniare pentru semnale alternative mici.
- d) Metodele de calcul pentru regim forțat periodic. În circuite electrice liniare sau neliniare aflate în regim forțat, dacă semnalele excitate sunt periodice, atunci răspunsurile de asemenea sunt periodice.

In capitolul acesta vom prezenta metodele de rezolvare ale circuitelor neliniare în regim forțat, mai ales pentru regim forțat periodic.

2.2. Metodele de calcul ale circuitelor neliniare de curent continuu.

In general circuitele neliniare excitate de tensiuni continue simple se rezolvă prin metode grafice. Metodele grafice constau în transfigurări succesive ale circuitelor date pînă se ajunge la configurația cea mai simplă formată dintr-un element neliniar echivalent în serie cu un generator ideal de tensiune.

Circuitele active cu unul sau mai multe elemente neliniare se transformă într-o combinație a unor dipoli, quadripoli, hexapoli...liniari cu elemente neliniare [35] , [27] .

Metodele grafice sunt simple și au precizia satisfăcătoare, de aceea ele se folosesc pe larg în calculul circuitelor electrice și magnetice neliniare [3] , [35] .

Pentru calculul circuitelor complicate, mai ales pentru circuite electronice cu multe elemente neliniare: tranzistori, diode, etc. metodele grafice nu satisfac, în acest caz metodele numerice prezintă avantaj mai mare. Pentru studiul circuitelor complicate, ecuațiile lor se scriu sub forma generală folosind algebra matriceală. Studiem forma matriceală a teoremei lui Kirchhoff și metodele de rezolvare a lor. Ecuațiile matriceale sunt baza de rezolvare numerică pentru circuite neliniare.

2.2.1. Ecuațiile matriceale generale ale circuitelor neliniare de curent continuu:

Pentru reprezentarea ecuațiilor generale ale circuitelor neliniare, ca și pentru circuite liniare se definesc matricele coloane ale mărimilor dar cu observația că pentru circuite neliniare elementele matricelor $[U]$ și $[I]$ sunt funcții de curent sau de tensiune

$$[U] = \begin{bmatrix} U_1(I_1) \\ U_2(I_2) \\ \vdots \\ U_n(I_n) \\ \dots \end{bmatrix} ; [I] = \begin{bmatrix} I_1(U_1) \\ I_2(U_2) \\ \vdots \\ I_n(U_1) \end{bmatrix} \quad (2.4)$$

Folosind matricea coeficienților de incidentă a laturilor la suprafetele închise $[\Sigma]$ care fiecare intersectează o ramură se obține forma matriceală a teoremei înti a lui Kirchhoff.

$$[\Sigma][I(U)] = [0]$$

341.097
958 Lit F

Coefficientul de incidentă a laturii k la suprafața Σ_j are valorile 0, 1, -1 după cum latura k nu traversează sau traversează suprafața și are același sens de referință cu sensul de referință alor pe suprafața Σ_j , sau sens opus acestuia.

Folosind matricea de incidentă a laturilor la curbele închise Γ_j ale unui sistem complet de curbe închise se obține forma matricială ^{teoremul a} două a lui Kirchhoff.

$$[\Gamma_d][U(I)] = [0] \quad (2.6)$$

Coefficientul de incidentă γ_{jk} al laturii k la curba Γ_j este nul dacă latura nu face parte din curbă și egal cu +1 sau -1 dacă latura este conținută în curbă și după cum sensurile de referință coincid sau nu coincid.

Dacă circuitele conțin și surse de curent sau surse de tensiune, ecuațiile generale ale circuitelor neliniare au forma:

$$\left[\sum_k [\Gamma_d] [I(U)] + [J] \right] = [0] \quad (2.7)$$

$$\left[\Gamma_d [U(I)] + [E] \right] = [0] \quad (2.8)$$

Pe baza ecuațiilor generale ale circuitelor neliniare se elaborează metodele de calcul: metoda curenților de contur, metoda potențialelor nodurilor, etc. [4]

In circuite neliniare caracteristicile neliniare se dau sub formă unei familii de caracteristici, unui tabel numeric sau unei funcții analitice. Pentru analiza circuitelor neliniare în cazul cînd caracteristicile neliniare se dau sub formă unor tabele numerice pentru determinarea funcțiilor de aproximare se folosesc metodele interpolării. Funcțiile de aproximare pot fi trigonometrice, serii Cebîșev sau Lagrange... Erorile se reduc considerabil folosind metoda celor mai mici pătrate. Trebuie să subliniem că ecuațiile generale ale circuitelor sub formă matricială sint baza de rezolvare pe calculatoare numerice.

2.2.2. Metodele iterative de rezolvare ale circuitelor neliniare:
Calculul iterativ constă în găsirea unui algoritm principal pe-

tru rezolvarea ecuațiilor algebrice și parametrice. Folosirea metodelor numerice iterative în analiza circuitelor nelineare este cunoscută prin lucrările [4], [17], [9] unde se folosesc metode iterative pentru calculul circuitelor de curent continuu și de curent alternativ. În partea aceasta vom prezenta folosirea metodelor iterative pentru ecuațiile generale ale circuitelor nelineare.

Să dă sistemul de ecuații algebrice nelineare de forma:

$$P(x) = 0 \quad (2.9)$$

Pentru rezolvarea iterativă ecuația (2.9) se modifică sub forma:

$$x = F(x) \quad (2.10)$$

unde x este vectorul necunoscut, iar $P(x)$, $F(x)$ sunt funcțiile vectoriale date. Pentru găsirea rădăcinilor se realizează procedeul iterativ:

$$x_{k+1} = F(x_k) \quad (2.11)$$

Procedeul iterativ (2.11) este convergent dacă orice normă matriceală $\|F'_x\| < 1$, unde $F'_x(x) = \frac{dF(x)}{dx}$

In [4], [32] se reprezintă în mod sistematic folosirea metodei Newton pentru calculul unui sistem de ecuații nelineare.

Pentru obținerea soluțiilor ecuației nelineare (2.9) prin metoda Newton trebuie să folosească formula iterativă de forma:

$$x_{k+1} = x_k - [P'(x_k)]^{-1} \cdot P(x_k) \quad (2.12)$$

unde $[P'(x_k)]$ este matricea Iacobi în punctul $x = x_k$. Metoda Newton modificată se obține înlocuind $[P'(x_k)]$ cu valoarea aproximativă inițială $[P'(x_0)]$, adică:

$$x_{k+1} = x_k - [P'(x_0)]^{-1} \cdot P(x_k) \quad (2.13)$$

Condițiile convergenței după metoda Newton sunt :

$$h_0 = B_0 \cdot \eta_0 \cdot K \leq 0,5 \quad (2.14)$$

unde

$$B_0 \geq \|P'(X_0)^{-1}\| = \|r_0\|$$

$$\eta_0 \geq \|r_0 P(X_0)\| \quad (2.15)$$

$$K \geq \max \|P''(X)\|$$

Studiem convergența metodei Newton în cazul cînd ecuațiile circuitelor sînt scrise prin metoda potențialelor nodurilor sau prin metoda curenților de contur [4]. Se consideră că circuitul simplu din fig.2.1 conține un element neliniar cu caracteristica 1 din fig.2.2. În acest caz ecuația circuitului după metoda Newton are forma:

$$P(I) = r_0 I + U(I) - E = 0 \quad (2.16)$$

$$P'(I) = r_0 + r_d \text{ unde } r_d = \frac{dU}{dI}$$

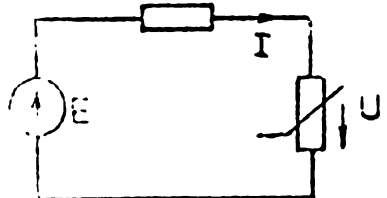


Fig.2.1.

$$P''(I) = \frac{dr_d}{dI} = r_d'$$

$$P(I_0) = r_0 I_0 + U(I_0) - E = \delta U_0$$

$$B_0 = \left\| \frac{1}{r_0 + r_d} \right\|$$

$$\eta_0 = \left\| \frac{U_0}{r_0 + r_d} \right\|$$

$$K = \|r_d'\|$$

Dacă se scrie ecuația circuitului luînd I ca necunoscută tensiunea la bornele elementului nelinier prin inmulțirea ecuației (2.16) cu g_0 se obține :

$$P(U) = g_0(U) + I(U) - g_0 E = 0 \quad (2.17)$$

$$P'(U) = g_0 + g_d \text{ unde } g_d = \frac{dI}{dU}$$

$$P''(U) = \frac{dg_d}{dU} = g'$$

$$P(U_0) = g_0 U_0 + I(U_0) - g_0 E = \delta J_0$$

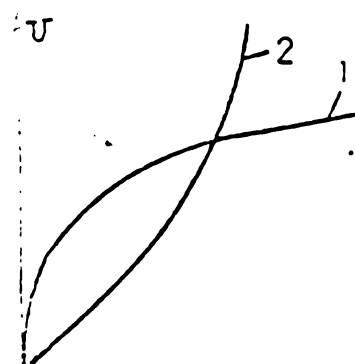


Fig.2.2.

(2.16) cu g_0 se obține :

$$B_0 = \left\| \frac{1}{g_0 + g_d} \right\|$$

$$\eta_0 = \left\| \frac{J_0}{g_0 + g_d} \right\|$$

$$K = \|g_d'\|$$

Comparind cele două metode constatăm că volumul de calcul al ambelor metode este același dar condițiile convergenței sunt diferite. Valoarea K determină prin metoda tensiunii tinde la infinit dacă caracteristica elementului neliniar este de forma 1. Dacă se aplică metoda curenților și dacă caracteristica elementului neliniar este de forma 2 atunci K de asemenea tinde la infinit. Acestea permit să se tragă concluzia:

Cînd caracteristica neliniară este de tipul 1 (sau 2) este mai util dacă se scrie ecuația circuitului după tensiunea U (sau curentul I).

Metoda Newton are viteza convergenței mare în timp ce alte metode iterative pot fi divergente motiv pentru care această metodă se folosește pe larg în analiza circuitelor neliniare. În [25] se reprezintă modul cum se poate crește convergența metodei Newton modificînd corespunzător ecuațiile circuitelor.

Dacă procedeul iterativ are tendința de oscilație în jurul valorilor exacte este utilă folosirea procedeului cu valori medii [49], adică după ce s-au determinat valurile x_1 , x_2 la pasul 1, 2 de iteratie, valoarea x_3 se ia media aritmetică a lui x_1 și x_2 .

$$x_3 = \frac{x_1 + x_2}{2}, \quad x_5 = \frac{x_3 + x_4}{2} \quad (2.18)$$

In [49] de asemenea se prezintă programarea pentru rezolvarea circuitelor neliniare în regim permanent.

Trebuie precizat că metodele calculului iterativ se folosesc nu numai pentru valori numerice ci și pentru valori operaționale sau grafice...

2.2.3. Metoda programării neliniare [6], [11]

Rezolvarea circuitelor rezistive de curent continuu se poate realiza printr-o metodă relativ recentă care se bazează pe studiul proprietăților de extrem ale circuitelor electrice. Metoda aceasta este foarte utilă pentru analiza circuitelor complexe. D.Dennis [11] a stabilit legătura problemelor de analiza circuitelor și problemelor programării. Circuitul studiat cuprinde rezistențe, surse de tensiune și surse de curent. D.Dennis a arătat că analiza acestor circuite este o problemă a programării convexe, însă folosirea în mod direct a analogiei dintre analiza circuitelor neliniare și programare este dificilă. Se poate evita acest inconvenient folosind noțiunile noi ale lui E.Cherry și W.Millar:

$$\text{Volumul : } G_k(i_k) = \int_{i_l}^{i_k} v_k(i) di \quad (2.19)$$

$$\text{Covolumul } J_k(v_k) = \int_{v_l}^{v_k} i_k(v) dv \quad (2.20)$$

unde $v_k(i_k)$ este caracteristica neliniară a laturii neliniare, Constatăm că $G_k(i_k)$, $J_k(v_k)$ sunt proporționale cu puterile instanțane. Prin teorema lui W.Millar găsirea soluțiilor ecuațiilor în regim permanent este echivalentă cu găsirea extremelor funcțiilor $G_k(i_k)$ sau ale lui $J_k(v_k)$:

$$G(i) = \sum_{k=1}^n G_k(i_k) \quad (2.21)$$

unde $i = [i_1, i_2 \dots i_n]_{tr}$ este vectorul curentilor laturilor

i_k este curentul în latura k

$$J(v) = \sum_{k=1}^n J_k(v_k) \quad (2.22)$$

unde $v = [v_1, v_2 \dots v_n]_{tr}$ este vectorul potențialelor nodurilor.

Prin programarea neliniară se găsesc punctele extreme ale funcției de mai multe variabile $G(i)$ sau $J(v)$ care sănt soluțiile în regim permanent ale circuitelor neliniare de curent continuu.

Exemplu [11] : Să se determine tensiunile la noduri din schema prezentată în fig.2.3. Caracteristicile diodelor se aproximează cu expresia

$$i_d = e^{\frac{(U_d - U_0)}{q}}$$

în care i_d respectiv U_d sănt curentul respectiv tensiunea diodei iar U_0 și sănt mărimi constante

Să aleg ca variabile generale tensiunile nodurilor

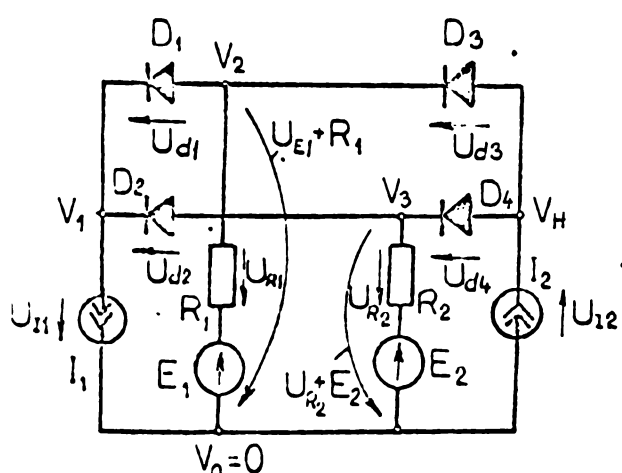


Fig.2.3.

Tensiunile pe diode sănt:

$$U_{d1} = V_2 - V_1$$

$$U_{d2} = V_3 - V_1$$

$$U_{d3} = V_4 - V_2$$

$$U_{d4} = V_4 - V_3$$

iar tensiunile la bornele surselor ideale de curent și pe rezis-

tanțe liniare vor fi :

$$U_{I1} = V_1 , \quad U_{I2} = -V_4$$

$$U_{R1} = V_2 - E_1 , \quad U_{R2} = V_3 - E_2$$

Să găsesc covolumele tuturor elementelor prin tensiunile nodurilor.

1) Se notează cu J_{I1}, J_{I2} - covolumele surselor de curent

$$J_{I1} = \int_0^{V_1} I_1 dv = I_1 V_1$$

$$J_{I2} = \int_0^{V_4} I_2 dv = -I_2 V_4$$

2) Se notează J_{E1+R} , J_{E2+R} - Covolumele laturilor respective

$$J_{E1+R_1} = \int_0^{V_2} \frac{1}{R_1} (V - U_{E1}) dv = \frac{1}{R_1} \left(\frac{V^2}{2} - U_{E1} \cdot V \right) \Big|_0^{V_2} = -\frac{1}{2R_1} V_2^2 - \frac{1}{R_1} E_1 V_2$$

$$J_{E2+R_2} = \int_0^{V_3} \frac{1}{R_2} (V - U_{E2}) dv = \frac{1}{2R_2} V_3^2 - \frac{1}{R_2} E_2 V_3$$

3) Covolumele diodelor:

$$J_{d1} = \int_{-\infty}^{U_d} (U_d - U_0) \frac{1}{q} dU_d = q_e^{(V_2 - V_1 - U_0)} \frac{1}{q}$$

$$J_{d2} = q_e^{(V_3 - V_4 - U_0)} \cdot \frac{1}{q}$$

$$J_{d3} = q_e^{(V_4 - V_2 - U_0)} \cdot \frac{1}{q}$$

$$J_{d4} = q_e^{(V_4 - V_1 - U_0)} \cdot \frac{1}{q}$$

Suma covolumelor tuturor laturilor este :

$$J = I_1 V_1 - I_2 V_4 + \frac{1}{2R_1} V_2^2 - \frac{E_1}{R_1} V_2 + \frac{1}{2R_2} V_3^2 - \frac{E_2}{R_2} V_3 - \frac{1}{R_2} + \\ + q \left[e^{(V_2 - V_1 - U_0)} \frac{1}{q} + e^{(V_3 - V_4 - U_0)} \frac{1}{q} + e^{(V_4 - V_2 - U_0)} \frac{1}{q} + e^{(V_4 - V_1 - U_0)} \frac{1}{q} \right]$$

Presupunem cazul concret în care

$$I_1 = 2A, I_2 = 4A, E_1 = 100V, E_2 = 5V, q_1 = 1V, U_0 = 1V, R_1 = 10 \Omega$$

$$R_2 = 20 \Omega.$$

In această situație suma covolumului devine:

$$J = 2V_1 - 4V_4 + 0,05V_2^2 - V_2 + 0,025V_3^2 - 0,25V_3 + e^{(V_2 - V_1 - 1)} + e^{(V_3 - V_4 - 1)} + \\ + e^{(V_4 - V_2 - 1)} + e^{(V_4 - V_1 - 1)}$$

Studiind extremele funcției J în care variabilele independente sint V_1 , V_2 , V_3 și V_4 se găsește un minim:

$$V_1 = 20,64 V, V_2 = 21,59 V, V_3 = 21,70 V, V_4 = 23,74 V$$

2.3. Metodele de calcul pentru regimul forțat periodic.

2.3.1. Cosiderații generale: Studiul regimului periodic joacă un rol important în teoria circuitelor nelineare. Regimul periodic este regim de funcționare principal în multe dispozitive electrice și electronice. În circuite liniare oscilațiile periodice sunt stabile în regim permanent perioada oscilației forțate este egală cu perioada oscilației excitate.

In circuite nelineare procesele periodice sunt mult mai complicate. Regimurile pot apărea în cazurile următoare:

• In sistem autonom atât în sistemul conservativ cît și dissipativ. În funcție de caracteristica neliineară, de felul elementelor, de structura circuitelor, pulsăția, formele oscilațiilor pot fi diferite.

In sistem neautonom – sub acționarea unei surse de semnal periodic răspunsul poate fi periodic sau aperiodic. Răspunsul periodic forțat poate avea armonica fundamentală, armonici superioare sau subarmonici.

In general nu se poate studia regimurile periodice cu ajutorul metodelor analitice. În prezent metodele analitice se folosesc pentru o clasă limită a circuitelor care satisfac condițiile următoare:

- Circuite autonome și neautonome având o sursă de semnal armonic
- Circuitele descrise prin ecuații de gradul doi
- Circuitele nelineare cu caracteristici monotonе, cu neliinearitate slabă

Metodele analitice: metoda balanței armonice, metoda transformației în complex, transformației în puncte sint



foarte utile pentru studiul regimului periodic, care se vor prezenta în mod amănuntit în capitolele următoare.

2.3.2. Metode analitice de rezolvare ale circuitelor de curent alternativ cu elemente inertiale.

In cazul particular al elementelor de circuit inertiale spectrul semnalului răspunsa este același cu al semnalului de excitație. Elementele de circuite tipice inertiale sunt rezistoare a căror rezistență se modifică cu temperatura. Atunci cînd interosează numărul amplitudinea semnalului și nu spectrul său, cu scopul de a simplifica analiza circuitului studiat pot fi considerate inertiale chiar și elemente de circuit neinertiale.

Pentru studiul acestei clase de circuit se poate utiliza metoda simbolică analitică de reprezentare în complex cu toate avantajele cunoscute din analiza circuitelor liniare în regim permanent sinusoidal.

Una dintre căile de rezolvare a circuitelor neliniare constă în înlocuirea elementelor neliniare cu elemente liniare echivalente. Parametrii elementelor liniare echivalente se aleg astfel încît procesele energetice în circuite să nu se schimbe. Prin înlocuirea curentului nesinusoidal cu curentul sinusoidal echivalent putem aplica toate metodele cunoscute din circuitele liniare pentru circuite neliniare [35], [49].

Procedeul analitic de calcul ai parametrilor statici ale elementelor neliniare neinertiale considerate inertiale se bazează pe principiul balanței armonice. Prin metoda liniarizării armonice ecuațiile diferențiale sunt substituite de ecuații algebrice ce se pot rezolva ușor prin metode iterative.

Pentru studiul regimului periodic în circuite cu cuplaje magnetice în [13] se folosesc mărimele sinusoidale echivalente. Ecuațiile circuitelor sunt scrise sub forma matricială. Legătura electrică și magnetică se reprezintă cu ajutorul unei matrice cu in-

cidență. Se consideră circuitul cu m laturi electrice și m laturi magnetice. Aceasta, împreună cu nodurile rețelelor electrice sau magnetice vor forma k contururi electrice și k_m contururi magnetice. Așadar rețeaua este considerată odată sub aspect electric și apoi ca o rețea magnetică.

Matricea curenților laturilor $[i]$ se determină cu ajutorul matricei curenților de contur $[i_c]$ prin relația:

$$[i] = [c]_t [i_c] \quad (2.23)$$

unde $[c]$ este matricea de incidentă a laturilor circuitului electric la contururile fundamentale.

Ecuatiile curenților de contur au forma:

$$[z_c] [i_c] = [\dot{E}_{ech}] \quad (2.24)$$

unde $[z_c]$ este matricea pătrată a impedanțelor conturilor.

$$[z_c] = [c][z][c]_t \quad (2.25)$$

Elementele matricei diagonale $[z]$ reprezintă impedanțele complexe ale laturilor circuitului electric în care nu intervin inductanțele bobinelor din circuitul magnetic.

$[\dot{E}_{ech}]$ este matricea tensiunilor electromotoare ale conturilor care se determină prin tensiunile generatoarele laturilor $[\dot{E}]$ și prin tensiunile electromotore induse în bobinile situate pe laturile circuitului magnetic $[\dot{E}_{ic}]$.

$$[\dot{E}_{ech}] = [c] \cdot [\dot{E}] - [\dot{E}_{ic}] \quad (2.26)$$

$$\text{unde } [\dot{E}_{ic}] = j \frac{\omega}{2} [c'] [w] [\dot{\Phi}_m] \quad (2.27)$$

unde $[\dot{\Phi}_m]$ este matricea fluxului magnetic în laturile circuitului magnetic.

Elementele matricei de conexiune $[c']$ au valorile +1 dacă sensurile de referință ale contururilor sunt la fel orientate în raport cu sensul de referință al fluxului și -1

în caz contrar. Elementele matricei $[W]$ sunt egale cu numărul de spire al bobinelor circuitului magnetic. După ce s-au determinat matricele circuitului electric, se scriu matricile circuitului magnetic. Introducem matricea de conexiune a circuitului magnetic $[C_m]$ care este asemănătoare cu matricea $[C]$. Matricea fluxurilor din laturi $[\dot{\Phi}_m]$ este determinată prin matricea fluxurilor de contur $[\dot{\Phi}_{mc}]$ prin relația:

$$[\dot{\Phi}_m] = [C_m]_t [\dot{\Phi}_{mc}] \quad (2.28)$$

Ecuația de contur a circuitului magnetic are forma:

$$[Z_{mc}] [\dot{\Phi}_{mc}] = [\dot{F}_c] \quad (2.29)$$

unde matricea patrată a impedanțelor magnetice de contur exprimate în complex are forma:

$$[Z_{mc}] = [C_m] [Z_m] [C_m]_{tr} \quad (2.30)$$

în ecuația (2.30) elementele diagonale $[Z_m]$ sunt impedanțele magnetice exprimate în complex ale laturilor circuitului magnetic.

Matricea tensiunii magnetomotoare de contur $[\dot{F}_{mc}]$ este determinată prin relația:

$$[\dot{F}_c] = 2 [C_m] [W_m] [i] \quad (2.31)$$

unde elementele matricei de conexiune $[C_m]$ sunt +1 dacă bobina aparține conturului magnetic iar sensul fluxului coincide cu cele două determine de curentul, -1 dacă sensurile sunt opuse și 0 dacă bobina nu aparține conturului.

Matricea $[W_m]$ are elementele determinate ca numărul de spire ale bobinelor.

După ce s-au determinat matricele de conexiune ale circuitului electric și magnetic $[C]$ și $[C_m]$ se obține ecuația matricială a circuitului electromagnetic. Substituind (2.31), (2.23) în

- ecuația (2.29) avem :

$$[\dot{\Phi}_{mc}] = [z_c]^{-1} \cdot \sqrt{2} [c_m] [w_m] [c]_t [\dot{i}_c] \quad (2.32)$$

Substituind (2.26), (2.28) în ecuația (2.24) avem:

$$[\dot{i}_c] = [z_c]^{-1} [c] [\dot{E}] - \frac{j\omega}{\sqrt{2}} [z_c]^{-1} [c_m] [w_m] [c]_{tr} [\dot{\Phi}_{mc}] \quad (2.33)$$

Prin ecuația (2.32), (2.33) putem determina toate mărimile de contur

$$[\dot{i}_c] = [z_{ech.c}]^{-1} \cdot [c] [\dot{E}] \quad (2.34)$$

$$[\dot{\Phi}_{mc}] = \sqrt{2} [z_{mech.c}] [c_m] [w_m] [c]_{tr} [z_c]^{-1} [c] [\dot{E}] \quad (2.35)$$

unde

$$[z_{ech.c}] = [z_c] + j\omega [c_m] [w_m] [c]_{tr} [z_c]^{-1} [c_m] [w_m] [c]_{tr} \quad (2.36)$$

$$[z_{mech.c}] = [z_m] + j\omega [c_m] [w_m] [c]_{tr} [z_c]^{-1} [c_m] [w_m] [c]_{tr} \quad (2.37)$$

Procedeul de calcul iterativ pe baza matricilor determinate de mai sus este următorul:

- Datele initiale ale matricelor magnetice: permeabilitatea magnetică $\mu = \mu(\frac{\Phi_m}{S})$, unghiul de pierdere $\lambda = \lambda(\frac{\Phi_m}{S})$ sunt cunoscute. Din ceeașa și din dimensiunile geometrice ale laturilor circuitului magnetic se determină expresia impedanței magnetice.

$$z_m(\frac{\Phi_m}{S}) = \frac{l}{S \cdot \mu(\frac{\Phi_m}{S})} \exp \left[j\lambda \left(\frac{\Phi_m}{S} \right) \right] \quad (2.38)$$

- Se alege valoarea initială $[B_m]^0$ a inducției maxime în laturile circuitului magnetic.

- Se calculează impedanțele magnetice complexe ale fiecarei laturi $[z_m^0]$.

- Cu ajutorul ecuației (2.35) se determină distribuția fluxului magnetic $[\dot{\Phi}_m^0]$.

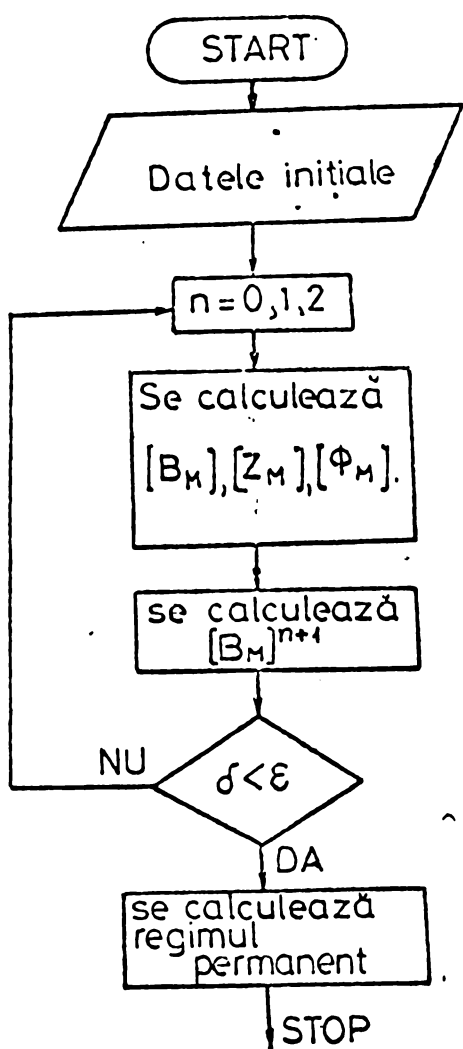


Fig.2.4.

- Se calculează $[B_m^0] = \left[\frac{\Phi_m}{s} \right]^0 = \left[f_1(|B_m|^\circ) \right]$

- Se calculează inducția magnetică prin metoda Newton, procedeul de calcul se dă în organograma din fig.2.4. [13].

2.3.3. Metodele grafice de rezolvare ale circuitelor de curent alternativ cu elemente inertiale.

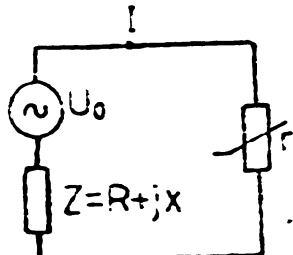
In [26] se prezintă o metodă directă și una folosind diagrame cu mărimi normate pentru calculul circuitelor care conțin un singur element neliniar simetric ohmic sau reactiv. Metodele prezentate sunt aplicabile dacă toate sursele de energie sunt de aceeași frecvență. In cele ce urmează vom considera cazurile în care elementele neliniare sunt ohmice sau reactive și au o caracteristică simetrică adică pentru o valoare a tensiunii instantanee dată, valoarea absolută a curentului nu depinde de polaritatea tensiunii.

Mai întîi studiem cazul elementelor neliniare rezistive. Vom considera cazul general în care elementul neliniar face parte dintr-un circuit oarecare având o serie de surse de tensiune și de curent, toate de aceeași frecvență și cu un număr carecăre de impedanțe. Raportat la bornele elementului neliniar, pe baza teoremei lui Thévenin, circuitul considerat se poate reduce la un circuit echivalent constând dintr-o sursă de tensiune U_o în serie cu o impedanță z . Circuitul inițial se poate reduce la circuitul echivalent reprezentat în fig. 2.5 la care valoarea efectivă a curbei lui

$$I = \frac{U_o}{z}$$

unde r este rezistență statică a elementului neliniar în punctul de funcționare, iar R , X sunt rezistență, respectiv reactanță echivalentă a circuitului.

Rezistența elementului depinde de punctul de funcționare:



$$r = f_1(I) \quad (2.40)$$

Din relațiile (2.39), (2.40) rezultă:

$$I = \frac{U_0}{\sqrt{[f_1(I)+r]^2 + X^2}} \quad (2.41)$$

Fig. 2.5.

Rezolvarea problemei este însă posibilă relativ simplu în modul următor: Relația (2.33) se poate pune sub forma:

$$(r+R)^2 I^2 + (XI)^2 = U^2 \quad (2.42)$$

sau

$$(rI)^2 + 2rI \cdot RI + (RI)^2 + (XI)^2 = U^2 \quad (2.43)$$

Termenul rI reprezintă căderea de tensiune la bornele elementului neliniar.

$$U = rI = f_2(I) \quad (2.44)$$

dici relația (2.43) se poate scrie:

$$U^2 + 2RIU + (RI)^2 + (XI)^2 - U_0^2 = 0 \quad (2.45)$$

Rezolvind ecuația (2.26) în raport cu U se găsește:

$$U = -RI \pm \sqrt{U_0^2 - (XI)^2} \quad (2.46)$$

care reprezintă ecuația unei elipse cu centrul în origine. Intersecția caracteristicii rezistenței nelineare cu elipsa dată de relația (2.46) determină punctul de funcționare al rezistenței nelineare. Elementul neliniar având o caracteristică simetrică este suficient să se reprezinte doar ramura pozitivă a lui și respectiv ramura din cadranul I a lipsei. În cazul cînd elemen-

tul neliniar este reactiv, rezolvarea se face în mod similar ca în cazul elementelor nelineare rezistive. În fig.2.6 este ilustrat modul de rezolvare al unui circuit conținând un element neliniar rezistiv la variația rezistenței echivalente a circuitului, iar în fig.2.7 este ilustrat determinarea punctului de funcționare al un element neliniar rezistiv la variația reactanței echivalente a circuitului.

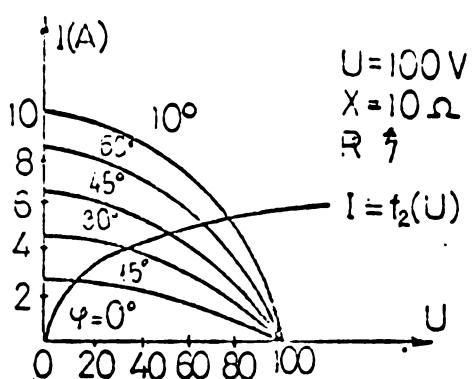


Fig.2.6.

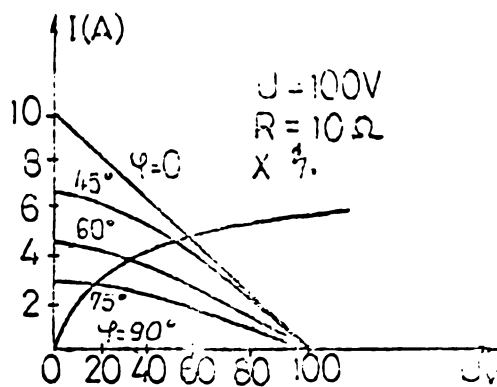


Fig.2.7.

Pentru a nu trasa elipsa de sarcină pentru fiecare circuit echivalent este util de a norma elipsa de sarcină și de a trasa pentru o serie de valori ale unghiului de fază al circuitului echivalent. Avantajele utilizării diagramei normate în comparație cu metoda de rezolvare sunt importante. Elipsele de sarcină nu mai trebuie calculate pentru fiecare circuit în parte, ele fiind universale pentru orice circuit.

Metoda aceasta este utilă pentru calculul circuitelor nelineare simple.

În [34] se prezintă metoda diagramelor polare de analiză a circuitelor conținând unul sau două elemente nelineare, liniarizabile aflate în regim permanent sinusoidal. Procedeul de calcul este următorul:

1. Se transfigură partea liniară a circuitului în raport cu bornele elementului nelinier unde elementul nelinier poate fi dissipativ sau acumulativ caracterizat prin dependența $R(I)$ sau

$X(I)$ după cum elementul este disipativ sau acumulativ.

2. Pe baza ecuației de funcționare

$$\dot{I} = \frac{\dot{E}}{Z+R(I)} \quad \text{sau} \quad \dot{I} = \frac{\dot{E}}{Z+jX(I)} \quad (2.47)$$

se construiește arcul reprezentativ pentru \dot{I} și se gradează pentru 3 valori ale lui R sau X .

3. Prin intersectarea caracteristicii elementului nelinier $R(I)$ sau $X(I)$ cu dependența $I(R)$ sau $I(X)$ extrasă de pe diagrama construită din punctul 2, se obține soluția căutată (care poate să nu fie unică).

2.3.4. Metodele de calcul ale circuitelor neliniare de curent alternativ cu elemente neliniare neinerțiale.

Metoda liniarizării armonice prin considerarea circuitelor neliniare neinerțiale ca inerțiale să se pună în evidență numai unele proprietăți specifice circuitelor. Analiza circuitelor neliniare inerțiale are nevoie de metode de calcul care să țină seama în mod special de caracterul neinerțial al elementelor neliniare. Pentru circuite mai simple este utilă folosirea metodelor grafice sau metodelor grafo-analitice. În partea aceasta vom prezenta cîteva metode analitice pentru circuite neinerțiale.

1. Metoda liniarizării pe portiuni a caracteristicii neliniare. [3], [50], [33] .

Liniarizarea caracteristicilor neliniare este algoritmul principal de rezolvarea problemelor neliniare. Cu ajutorul calculatorului numeric metoda aceasta prezintă un avantaj mare în analiza circuitelor neliniare.

Etapile principale de rezolvare după metoda liniarizării pe portiuni sunt următoarele:

- Caracteristica neliniară se aproximează prin segmente de dreaptă. Cu cât numărul segmentelor este mai mare, cu atât precizia este mai mare dar volumul de calcul mai laborios.

- Se înlocuiesc ecuațiile fiecărei drepte în ecuația diferențială neliniară și se obțin ecuațiile diferențiale liniare, numărul lor fiind egal cu numărul segmentelor de dreaptă.

- Se rezolvă sistemul de ecuații diferențiale liniare, constantele de integrale se determină din condițiile de perioodicitate și condițiile de intersecție.

Metoda aceasta este utilă în cazul cînd segmentele de dreaptă se află pe axe sau în paralel cu axele de coordinate, mai ales pentru elemente cu caracteristica de formă dreptunghiulară.

Aplicarea metodei pentru analiza regimului permanent periodic în circuite R.L serie alimentate de tensiune sinusoidală prin liniarizări pe porțiuni a caracteristicii se prezintă în [33]. În cazul cînd semnalul de ieșire este puternic deformat se propune o metodă care constă în aproximarea prin segmente de dreaptă a caracteristicii și determinarea semnalului periodic de ieșire sub formă unei funcții analitice pe porțiuni.

Se dă circuitul R.L în serie alimentat de tensiune sinusoidală $e = E_m \sin \omega t$ neglijînd pierderile prin histerezis caracteristica de magnetizare se aproximează prin trei segmente (fig.2.8).

Regimul permanent se obține cînd punctul reprezentativ se trece pe segmentul de dreaptă de la 2 la 1.

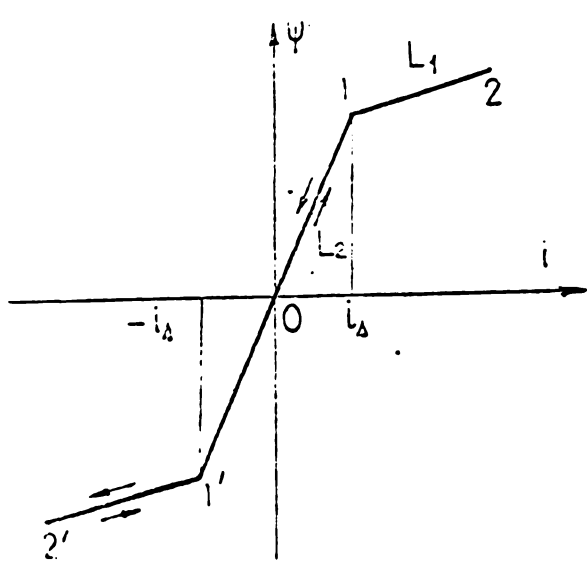


Fig.2.8.

Trecând punctul 1 de la dreapta la stîngă inductanța se schimbă de la L_1 la L_2 și invers, de aceea în regim permanent curentul se obține aplicînd metoda de rezolvare a regimului tranziitoriu pentru circuitul liniar. Putem considera că jumătate de semnal se obține cînd punctul p trecde la 1,2,1 și 1,1'. Cînd punctul de funcționare este 1 faza inițială a tensiunii se notează cu ψ , iar curentul său i_s , timpul de trecere în partea 1.2.1 este t_1 . Expresia curentului are forma:

$$i_s = \frac{E}{Z_1} \sin(\omega t_1 + \psi - \varphi_1) + \left[i_s - \frac{E}{Z_1} \sin(\psi - \varphi_1) \right] \exp\left(-\frac{t_1 \cdot R}{L_1}\right) \quad (2.48)$$

unde $Z_1 = \sqrt{R^2 + (\omega L_1)^2}$, $\varphi_1 = \arctg \frac{\omega L_1}{R}$

Pentru partea 1.1' se obține:

$$-i_s = \frac{E}{Z_2} \sin(\omega t_2 + \omega t_1 + \psi - \varphi_2) + \left[i_s - \frac{E}{Z_2} \sin(\omega t_1 + \psi - \varphi_2) \right] \exp\left(-\frac{t_2 \cdot R}{L_2}\right) \quad (2.49)$$

unde $Z_2 = \sqrt{R^2 + (\omega L_2)^2}$, $\varphi_2 = \arctg \frac{\omega L_2}{R}$

Din condiția de periodicitate avem:

$$\omega t_1 + \omega t_2 = \pi \quad (2.50)$$

Substituind (2.50) în (2.48), (2.49) se obțin două ecuații pentru determinarea necunoscutelor i_s și t_1 iar din (2.50) rezultă t_2 .

2. Metoda ecuațiilor integrale: [8] , [3]

Metoda ecuațiilor integrale este o metodă iterativă care se folosește util la determinarea regimului tranzitoriu, și regimului forțat periodic al circuitelor neliniare.

Dacă procesul în circuit se scrie prin ecuația diferențială liniară de forma:

$$A(p) \cdot X(\theta) = H(p) \cdot f(\theta) \quad (2.51)$$

unde $A(p)$, $H(p)$ sunt polinoame de gradul n ale operatorului diferențial p , $x(\theta)$ este funcția necunoscută, $f(\theta)$ este excitația având perioada 2π , iar $\theta = \omega t$ este variabila independentă, atunci soluția periodică a lui (2.51) se găsește prin formula:

$$X(\theta) = \int_0^{\theta} K(\theta, \xi) \cdot F(\xi) \cdot d\xi \quad (2.52)$$

unde

$$K(\theta, \xi) = \begin{cases} \sum_{k=1}^n \frac{e^{p_k(\theta-\xi)}}{-p_k 2\pi} & \text{pentru } \xi \leq \theta \\ \frac{A'(p_k)(1-e^{-p_k 2\pi})}{e^{-p_k(\theta-\xi)}} & \\ \sum_{k=1}^n \frac{e^{p_k(\theta-\xi)}}{-p_k 2\pi} & \text{pentru } \xi > \theta \\ \frac{A'(p_k)(1-e^{-p_k 2\pi})}{e^{-p_k(\theta-\xi)}} & \end{cases}$$

unde p_k este rădăcina polinomului $A(p) = 0$ și $F(\xi) = H(p) \cdot f(\xi)$

Dacă circuitul conține un element nelinier, ecuația diferențială a circuitului are forma:

$$A(p) \cdot X(\theta) + B(p) \cdot Y(\theta) = H(p) \cdot f(\theta) \quad (2.53)$$

unde $Y = \Psi(X)$ este caracteristica nelinieră.

Regimul periodic al circuitului se determină rezolvînd ecuația integrală Fredholm de speță a doua:

$$X(\theta) = \Psi(\theta) - \int_0^{\theta} K(\theta, \xi) \Psi[X(\xi)] \cdot d\xi \quad (2.54)$$

Dacă caracteristica nelinieră se approximează prin expresia

analitică atunci ecuația integrală (2.54) se poate rezolva prin metoda numerice. În [50] soluția se găsește sub forma unei serii Fourier, iar caracteristica neliniară se aproximează prin segmente de dreaptă. În [2] se prezintă funcțiile noi $cipx$, $supx$ care sunt funcțiile exponențiale speciale.

Caracteristicile

lui $supx$, $cipx$ depind de neliniaritatea elementelor neliniare. Aceste funcții se folosesc la studiul oscilațiilor periodice în circuite neliniare inductive. Funcțiile de descriere [43], [37] se folosesc la studiul circuitelor neliniare complexe, în esență metoda funcțiilor de descriere este modificarea metodei liniarizării armonice.

2.4. Studiul regimului periodic în circuite neliniare prin metode numerice: [38], [41] [30].

Metodele numerice se folosesc pe larg pentru integrarea ecuațiilor diferențiale ce descriu procese tranzitorii sau permanente în circuite electrice și prezintă o tendință principală în analiza circuitelor electrice moderne.

Ecuția oscilațiilor forțate în circuite având excitație periodice se poate scrie:

$$\frac{dx}{dt} = f(x, t) \quad (2.55)$$

unde X este vectorul n componente, $f(x, t)$ este funcția vectorială cu n componente având perioada T .

Condițiile initiale ale regimului periodic sunt necunoscute. Orice regim permanent se poate considera ca limita regimului tranzitoriu cînd timpul tinde la infinit. Găsirea soluțiilor permanente periodice pe baza metodei aceasta în principiu este simplă dar are nevoie de un volum de calcul laborios. Pentru găsirea soluțiilor permanente periodice prin

metode numerice în general se folosesc metodele următoare.

1. Alegerea condițiilor inițiale astfel încât regimul de funcționare în circuite este aproape de regim periodic.

- Ecuațiile diferențiale ale circuitelor se înlocuiesc cu ecuațiile cu diferențe finite care aproximează ecuațiile diferențiale în limita unei perioade a excitației externe. Alegerea condițiilor inițiale pentru regim permanent se bazează pe metoda lui Ritzken Stevenson. Valoarea lui $x(t)$ -soluție a regimului tranzitoriu în momente discrete $t = kT$ ($k = 0, 1, 2, \dots$) se notează cu $x^{(k)}$. Legătura dintre $x^{(k+1)}$ și $x^{(k)}$ se poate exprima prin operatorul \tilde{T} .

$$x^{(k+1)} = \tilde{T} [x^{(k)}] \quad (2.56)$$

Ecuația (2.56) determină punctele de început pentru regimul permanent pe care le numim puncte imobile. Ecuația (2.55) și operatorul \tilde{T} sunt neliniare dar ele se pot liniariza prin schimbare de variabile:

$$Y(t) = X(t) - \bar{X}(t) \quad (2.57)$$

unde $\bar{X}(t)$ este soluția periodică a ecuației (2.55)

Din ecuația (2.55) se obține:

$$\frac{dy}{dt} = f [y(t) + \bar{x}(t), t] - \frac{d\bar{x}}{dt} \quad (2.58)$$

După liniarizare se obține:

$$\frac{dy}{dt} \approx J(t) \cdot y \quad (2.59)$$

unde $J(t)$ este matricea Iacobi pentru funcția vectorială $f(x, t)$ calculată pentru $\bar{x} = x(t)$. Se constată că în acest caz $J(t)$ este o funcție periodică de așațiva ecuație (2.59) este o ecuație cu coeficienți variabili periodici. Pe baza teoremei lui Floquet transformata în puncte a ecuației (2.59) este liniară și de forma:

$$y^{(k+1)} \underset{\text{const}}{\sim} F \cdot y^{(k)} \quad (2.60)$$

unde F este matricea $n \times n$ avînd elementele constante.

Din ecuația (2.60) se face schimbarea de variabile $y = x - \bar{x}$ se obține:

$$x^{(k+1)} \underset{\text{const}}{\sim} F x^{(k)} + D \quad (2.61)$$

unde D este vector coloană constant.

Da că matricile F , D sunt cunoscute pe baza ecuației (2.61) se găsesc punctele imobile:

$$\tilde{x} = (E - F)^{-1} \cdot D \quad (2.62)$$

unde E este matricea unitară. Punctele imobile \tilde{x} determină condiții inițiale pentru regimul periodic. Pe baza acestoi metode în [41] se dau exemple de calcul pentru circuit R.L, R.C descris prin ecuația Duffing folosind metoda numerică Runge-Kutta. Se apreciază că volumul de calcul se reduce de 10 ori.

Pentru sisteme neliniare autonome periodice oscilației T_0 este cunoscută. Regim periodic în sisteme autonome se găsește studiind valorile funcției și ale derivației sale în puncte situate la un interval de o perioadă [30].

O altă metodă în înlocuirea sistemului de ecuații diferențiale cu ecuații în diferențe finite care aproximează ecuații diferențiale într-o perioadă a excitației. Se obține un sistem de ecuații algebrice neliniare. Pentru rezolvarea sistemului de ecuații neliniare, în general se folosesc metode iterative care pot fi convergente sau divergente. În plus numărul de ecuații în diferențe finite este mare. În cazul cînd aproximarea prin serii Taylor cu primul termen, pentru asigurarea preciziei, numărul pașilor trebuie să fie mare.

Pentru reducerea numărului ecuațiilor în diferențe finite în [38] se folosește apoximarea nu numai cu primul termen din serii Taylor ci se iau în considerare și termeni suplimentari.

Metodele numerice prezintă avantaj mare în analiza circuitelor neliniare complicate.

CAPITOLUL III
METODA BALANȚEI ARMONICE MODIFICATĂ

3.1. Considerații generale despre metoda balanței armonice.

Metoda balanței armonice este eficientă pentru studiul circuitelor și sistemelor nelineare în regim forțat periodic [3], [27].

Fie ecuația cu termeni armonici de forma:

$$\sum_{k=1}^n S_k(a_1, a_2, \dots, a_n, b_1, b_2 \dots b_n) \sin k\omega t + \sum_{k=1}^n C_k(a_1, a_2 \dots a_n, b_1, b_2 \dots b_n) \cos k\omega t = 0 \quad (3.1)$$

unde S_k , C_k sunt funcții de amplitudinile a_1, a_n, b_1, b_n ale soluției periodice exprimate în armonici. Deoarece $\sin k\omega t$, $\cos k\omega t$ sunt funcții liniare independente, acești termeni trebuie să fie nuli, adică:

$$\begin{aligned} S_k(a_1, a_2 \dots a_n, b_1, b_2 \dots b_n) &= 0 \\ C_k(a_1, a_2 \dots a_n, b_1, b_2 \dots b_n) &= 0 \end{aligned} \quad (3.2)$$

ceea ce conduce la un sistem de $2n$ ecuații cu $2n$ necunoscute:
 $a_1, a_2 \dots a_n, b_1, b_2 \dots b_n$.

Principiul balanței armonice se aplică circuitelor nelineare în felul următor:

- Se scriu ecuațiile diferențiale ale circuitelor electrice nelineare.
- Se aproximează caracteristicile nelineare printr-o expresie analitică care se înlocuiește în ecuațiile circuitelor.

- Soluțiile căutate sunt scrise sub forma :

$$y(t) = a_1 \sin \omega t + b_1 \cos \omega t + \dots + a_k \sin k\omega t + b_k \cos k\omega t \quad (3.3)$$

$$\text{sau } y(t) = A_1 \sin(\omega t + \varphi_1) + \dots + A_k \sin(k\omega t + \varphi_k) \quad (3.4)$$

In formula (3.3) soluția $y(t)$ căutată este cunoscută

minată prin amplitudinile a_1, b_1 ale armonicii fundamentale și prin amplitudinile armonicilor de gradul superior a_k, b_k .

In formula (3.4) soluția $y(t)$ căutată este determinată prin amplitudinea A_1 și fază φ_1 a armonicii fundamentale și prin amplitudinile A_k și fazele φ_k ale armonicilor de gradul superior.

Prin principiul balanței armonice amplitudinile armonicilor sunt determinate în modul următor: Substituind soluția (3.3) sau (3.4) în ecuațiile circuitelor electrice nelineare se obține ecuația de forma:

$$S_1(a_1, b_1, a_k, b_k) \sin \omega t + C_1(a_1, b_1, a_k, b_k) \cos \omega t + S_k(a_1, b_1, a_k, b_k) \sin k\omega t + C_k(a_1, b_1, a_k, b_k) \cos k\omega t + \sum \text{armonici} = 0 \quad (3.5)$$

Pentru determinarea amplitudinilor (sau fazelor) identificăm armonicile de același ordin și obținem $2k$ ecuații algebrice sau $2k$ ecuații transcendentale de forma:

$$\begin{cases} S_1(a_1, b_1, a_k, b_k) = 0 \\ C_1(a_1, b_1, a_k, b_k) = 0 \\ S_k(a_1, b_1, a_k, b_k) = 0 \\ C_k(a_1, b_1, a_k, b_k) = 0 \end{cases} \quad (3.6)$$

In general sistemul de ecuații (3.6) este un sistem de ecuații algebrice nelineare care se poate rezolva prin metode approximative:

Cind caracteristica nelineară se aproximează printr-un polinom de puteri de forma:

$$u = \alpha_0 + \alpha_1 i + \alpha_2 i^2 + \dots + \alpha_n i^n \quad (3.7)$$

funcția de excitație este sinusoidală $u = U_m \sin \omega t$, pentru determinarea răspunsului i trebuie să folosim expresiile trigonometrice de forma :

$$\begin{aligned}
 \sin^2 \omega t &= \frac{1}{2} - \frac{1}{2} \cos 2\omega t \\
 \sin^3 \omega t &= \frac{3}{4} \sin \omega t - \frac{1}{4} \sin 3\omega t \\
 \sin^4 \omega t &= \frac{3}{8} - \frac{1}{2} \cos 2\omega t + \frac{1}{8} \cos 4\omega t \quad (3.8) \\
 \sin^5 \omega t &= \frac{5}{8} \sin \omega t - \frac{5}{16} \sin 3\omega t + \frac{1}{16} \sin 5\omega t \\
 \cos^2 \omega t &= \frac{1}{2} + \frac{1}{2} \cos 2\omega t \\
 \cos^3 \omega t &= \frac{3}{4} \cos \omega t + \frac{1}{4} \cos 3\omega t \\
 \cos^4 \omega t &= \frac{3}{8} + \frac{1}{2} \cos 2\omega t + \frac{1}{8} \cos 4\omega t \\
 \cos^5 \omega t &= \frac{5}{8} \cos \omega t + \frac{5}{16} \cos 3\omega t + \frac{1}{16} \cos 5\omega t
 \end{aligned}$$

Cînd caracteristica neliniară se aproximează printr-un polinom trigonometric descompunerea armonică se bazează pe funcțiile Bessel de argument real:

$$\begin{aligned}
 y &= \lambda \sin \beta x = \lambda \sin(\beta X_m \sin \omega t) = \lambda \sin(A_m \sin \omega t) \\
 y &= \lambda \cos \beta x = \lambda \cos(\beta X_m \sin \omega t) = \lambda \cos(A_m \sin \omega t) \quad (3.9) \\
 y &= \lambda \sin \beta x = \lambda \sin(\beta X_m \cos \omega t) = \lambda \sin(A_m \cos \omega t) \\
 y &= \lambda \cos \beta x = \lambda \cos(\beta X_m \cos \omega t) = \lambda \cos(A_m \cos \omega t)
 \end{aligned}$$

care se descompun în serii Fourier:

$$\begin{aligned}
 y &= \lambda \sin(A_m \sin \omega t) = 2\lambda J_1(A_m) \sin \omega t + 2\lambda J_3(A_m) \sin 3\omega t + \\
 &+ 2\lambda J_5(A_m) \sin 5\omega t + \dots \\
 y &= \lambda \sin(A_m \cos \omega t) = 2\lambda J_1(A_m) \cos \omega t - 2\lambda J_3(A_m) \cos 3\omega t + \\
 &+ 2\lambda J_5(A_m) \cos 5\omega t + \dots \quad (3.10) \\
 y &= \lambda \cos(A_m \sin \omega t) = \lambda J_0(A_m) + 2\lambda J_2(A_m) \cos 2\omega t + 2\lambda J_4(A_m) \cos 4\omega t + \dots \\
 y &= \lambda \cos(A_m \cos \omega t) = \lambda J_0(A_m) - 2\lambda J_2(A_m) \cos 2\omega t + 2\lambda J_4(A_m) \cos 4\omega t + \dots
 \end{aligned}$$

Cînd caracteristica neliniară se aproximează printr-o funcție exponențială descompunerea armonică se bazează pe funcțiile Bessel de argument imaginar.

$$y = \lambda e^{\beta X_m \sin \omega t} = \lambda e^{A_m \sin \omega t} \quad (3.11)$$

$$y = \lambda e^{\beta X_m \cos \omega t} = \lambda e^{A_m \cos \omega t}$$

care se descompun în serii de forma:

$$\begin{aligned} y &= \lambda e^{\lambda \sin \omega t} = \lambda J_0(jA_m) + 2\lambda \sum_{n=1}^{\infty} J_{2n}(jA_m) \cos 2n\omega t - \\ &- 2j\lambda \sum_{n=0}^{\infty} J_{(2n+1)}(jA_m) \sin(2n+1)\omega t \\ y &= \lambda e^{A_m \cos \omega t} = \lambda J_0(jA_m) + 2\lambda \sum_{n=1}^{\infty} j^{-n} J_n(jA_m) \cos n\omega t \end{aligned} \quad (3.12)$$

Cînd caracteristica neliniară se aproximează printr-o funcție transcendentală descompunerea armonică se bazează pe funcțiile Bessel de argument imaginar :

$$\begin{aligned} y &= \lambda \operatorname{sh}(\beta X_m \sin \omega t) = \lambda \operatorname{sh}(A_m \sin \omega t) = \\ &= -2j\lambda J_1(jA_m) \sin \omega t - 2j\lambda J_3(jA_m) \sin 3\omega t - 2j\lambda J_5(jA_m) \sin 5\omega t \end{aligned}$$

$$\begin{aligned} y &= \lambda \operatorname{ch}(\beta X_m \cos \omega t) = \lambda \operatorname{ch}(A_m \cos \omega t) = \\ &= -\lambda J_0(jA_m) + 2\lambda J_2(jA_m) \cos 2\omega t + 2\lambda J_4(jA_m) \cos 4\omega t \end{aligned} \quad (3.13)$$

Pentru regimul nerezonanței armonicele superioare sunt mici ($U_k < 0,1 U_1$) ecuațiile (3.6) se pot rezolva prin metoda apropierei consecutive, metoda punctelor de coincidență [2].

In prima aproximatie se neglijă armonicele superioare și rezultă două ecuații pentru determinarea amplitudinilor armonicei fundamentale:

$$S_1(a_1^0, b_1^0, 0, 0) = 0, \quad C_1(a_1^0, b_1^0, 0, 0) = 0 \quad (3.14)$$

Amplitudinile armonicele superioare se găsesc prin ecuațiile următoare:

$$S_2(a_1^0, b_1^0, a_2, b_2) = 0, \quad C_2(a_1^0, b_1^0, a_2, b_2) = 0 \quad (3.15)$$

Tinând seama de influența armonicilor superioare asupra armonicilor fundamentale se calculează termenii corectivi.

$$\Delta a_1, \Delta b_1.$$

In acest scop descompunem amplitudinile armonicii fundamentale a_1 și b_1 în ecuația (3.14) în serie Taylor și rămân numai termenii de gradul întâi

$$\begin{cases} S_1 (a_1^0 + \Delta a_1, b_1^0 + \Delta b_1, 0 + a_2, 0 + b_2) = 0 \\ C_1 (a_1^0 + \Delta a_1, b_1^0 + \Delta b_1, 0 + a_2, 0 + b_2) = 0 \end{cases} \quad (3.16)$$

$$\begin{cases} S_1 (a_1^0 + \Delta a_1, b_1^0 + \Delta b_1, 0 + a_2, 0 + b_2) = S_1 (a_1^0, b_1^0, 0, 0) + \Delta a_1 \alpha_1 + \\ + \Delta b_1 \beta_1 + a_2 \gamma_2 + b_2 \zeta_2 = 0 \\ C_1 (a_1^0 + \Delta a_1, b_1^0 + \Delta b_1, 0 + a_2, 0 + b_2) = C_1 (a_1^0, b_1^0, 0, 0) + \Delta a_1 \gamma_1 + \Delta b_1 \zeta_1 + \\ + a_2 \gamma_2 + b_2 \zeta_2 = 0 \end{cases} \quad (3.17)$$

$$\text{unde } \alpha_1 = \left(\frac{\partial S_1}{\partial a_1} \right)_{a_1^0, b_1^0, 0, 0}$$

$$\alpha_2 = \left(\frac{\partial S_1}{\partial a_2} \right)_{a_1^0, b_1^0, 0, 0}$$

$$\beta_1 = \left(\frac{\partial S_1}{\partial b_1} \right)_{a_1^0, b_1^0, 0, 0}$$

$$\beta_2 = \left(\frac{\partial S_1}{\partial b_2} \right)_{a_1^0, b_1^0, 0, 0} \quad (3.18)$$

$$\gamma_1 = \left(\frac{\partial C_1}{\partial a_1} \right)_{a_1^0, b_1^0, 0, 0}$$

$$\gamma_2 = \left(\frac{\partial C_1}{\partial a_2} \right)_{a_1^0, b_1^0, 0, 0}$$

$$\zeta_1 = \left(\frac{\partial C_1}{\partial b_1} \right)_{a_1^0, b_1^0, 0, 0}$$

$$\zeta_2 = \left(\frac{\partial C_1}{\partial b_2} \right)_{a_1^0, b_1^0, 0, 0}$$

deoarece $S_1 (a_1^0, b_1^0, 0, 0) = 0$; $C_1 (a_1^0, b_1^0, 0, 0) = 0$ din ecuația (3.17).

$$\Delta a_1 = \frac{\begin{vmatrix} (a_2 \alpha_2 + b_2 \beta_2) \beta_1 & (a_2 \alpha_2 + b_2 \beta_2) \alpha_1 \\ (a_2 \gamma_2 + b_2 \zeta_2) \gamma_1 & (a_2 \gamma_2 + b_2 \zeta_2) \gamma_1 \end{vmatrix}}{\begin{vmatrix} \alpha_1 & \beta_1 \\ \gamma_1 & \zeta_1 \end{vmatrix}}, \quad \Delta b_1 = \frac{\begin{vmatrix} (a_2 \alpha_2 + b_2 \beta_2) \alpha_1 & (a_2 \alpha_2 + b_2 \beta_2) \gamma_1 \\ (a_2 \gamma_2 + b_2 \zeta_2) \gamma_1 & (a_2 \gamma_2 + b_2 \zeta_2) \gamma_1 \end{vmatrix}}{\begin{vmatrix} \alpha_1 & \beta_1 \\ \gamma_1 & \zeta_1 \end{vmatrix}} \quad (3.19)$$

In regimul rezonanței caracteristica de magnetizare în general se aproximează prin relația:

$$i = a \psi^m ; m = 3, 5, 7, 9 \dots \quad (3.20)$$

In acest caz nu putem neglija armonicele superioare deoarece în cîteva cazuri armonica a treia poate fi aproape sau mai mare decât armonica fundamentală.

Folosirea metodei balanței armonice pentru studiul regimului de rezonanță prezintă următoarele dificultăți:

1) Descompunerea armonică a expresiei $[X_m \sin(m\omega t + \varphi_m) + X_k \sin(k\omega t + \varphi_k)]^n$ pentru n mare, este dificilă.

2) Rezolvarea sistemului de ecuații algebrice sau transcendente de grad mare necesită un volum de calcul laborios.

In [14], [15], [16] Ilin a prezentat algoritmul pentru descompunerea armonică a sumei funcțiilor trigonometrice de forma:

$$\left[\sum_0^k X_k \cos(k\bar{\theta} + \varphi_k) \right]^n ; k = 0, 1, 2, 3 \quad (3.21)$$

La început se descompune suma a două armonice ridicate la puterea n.

$$\left[X_k \cos(k\bar{\theta} + \varphi_k) \pm X_m \cos(m\bar{\theta} + \varphi_m) \right]^n \quad (3.22)$$

Coefficienții care rezultă în urma descompunerii au următoarele proprietăți:

1) n impar: de exemplu k = 3, m = 1 și n = 5. Amplitudinile armonicilor funcției (3.22) sunt trecute în tabelul 3.2.

Funcția conține $N = \frac{1}{2} (n+1)^2 = 18$ termeni care se repartizează în $\frac{1}{2} (n+1) = 3$ grupe de cîte $n+1 = 6$ termeni în fiecare grup

Primul grup conține armonicele începînd cu $k=1$, al doilea cu armonica $kn-(k+m)$ iar al treilea cu $kn-2(k+m)$. Fazele armonicilor din primul grup sunt egale cu $\varphi_k(p-1) + \varphi_m(\lambda-1)$ în care p reprezintă numărul termenilor din primul grup iar $\lambda=1, 2, \dots, p$. Cel din al doilea grup se va exprima în formă $X_k^{p-(\lambda+1)} e^{j\varphi_k(\lambda-2)}$

iar al treilea grup are fazele $\varphi_k [p - (\lambda + 2)] + \varphi_m (\lambda - 3)$

Amplitudinile armonicilor respective se obțin prin înmulțirea factorilor din rubrica 2 cu coeficienții menționați în dreptul armonicilor și însămână rezultatul obținut.

De exemplu armonica de ordinul 5 are amplitudinile

$$x_1^5 + 20 x_1^4 x_3 + 30 x_1^3 x_3^2 + 30 x_1^2 x_3^3 + 20 x_1 x_3^4.$$

Elementele din prima și ultima coloană ale sirurilor sunt factorii din rubrica a doua $1 x_3^5 \pm 5 x_3^4 x_1 \dots$. De asemenea suma elementelor pe coloana sirurilor dintr-un grup este egală cu elementul din prima coloană. De exemplu pentru grupul al doilea avem succesiv: $1+4 = 5$, $2+3 = 5$, $3+2 = 5$, $4+1 = 5$ și 5. Suma tuturor elementelor sirurilor din orice coloană a sirurilor din rubrica a doua este egală cu 2^{n-1} , în cazul nostru 16. Suma elementelor unui sir corespunzător unui grup are valoare constantă dar diferită de la grup la grup.

Dacă se notează cu β_i primul element de pe coloană corespunzător grupului i (în cazul nostru $\beta_1 = 1$, $\beta_2 = 5$, $\beta_3 = 10$) atunci se observă că ultima sumă de mai sus se poate scrie $\frac{\beta_i}{i} (n+1)$

Coefficienții sirurilor diagonale au următoarele proprietăți:

Grupul întâi are un singur sir (1,1...1), al doilea grup are două siruri (1,2,3,4,5 ; 5,4,3,2,1), al treilea are trei siruri, etc. Numărul elementelor din sirul unui grup este același. De exemplu pentru siruri din grupa 3-a numărul elementelor unui sir este 4. Numărul elementelor din sirul unui grup sunt: n+1, n, n-1, n-2...

Constatăm că elementele sirurilor din cadrul 3.2 sunt

coeficienții triunghiului Pascan,

2) n par:

De exemplu dacă $k = 3$, $m = 1$, $n = 4$ amplitudinile armonicilor funcției (3.22) sunt prezentate în tabelul 3.1. Funcția conține $N = \frac{n}{2}(n+2)+1 = 13$ termeni care se repartizează în $\frac{n+2}{3} = 3$ grupe.

3

Primele două grupe conțin cîte $n+1$ termeni, iar ultima grupă este necompletă, ea se termină cu un termen constant. Ordinul armonicilor se reduce la 2. În afară de aceste diferențe, armonicile au proprietăți descrise mai sus. Există și alte metode prin care se calculează armonicile determinante de suma unor funcții sinusoidale ridicate la puterea n . De exemplu în [14] se determină algoritmul de descompunere al expresiei de forma:

$$[c \pm x_1 \cos(\theta + \varphi_1) \pm x_2 \cos(2\theta + \varphi_2) \pm x_3 \cos(3\theta + \varphi_3) + \dots]^n \quad (3.23)$$

Folosind algoritmul descompunerii armonice al lui Ilin în [15] se dezvoltă o metodă de calcul a armonicilor în circuite cu ferorezonanță.

Procesul în circuit este descris de ecuația :

$$\frac{d\psi}{dt} + ri + \frac{1}{c} \int idt = U_m \sin(l\omega t + \varphi_1) \quad (3.24)$$

unde caracteristica de magnetizare se aproximează prin relația $i = a\psi^n$.

Ecuatia diferențială normală din (3.24) are forma:

$$\frac{d^2x}{d\theta^2} + \zeta \frac{dx^n}{d\theta} + x^n = V \cos(l\theta + \varphi_1) \quad (3.25)$$

Soluția periodică a lui (3.25) se încercă sub forma:

$$x = X_m \cos \theta + X_k \cos(k\theta + \varphi) \quad (3.26)$$

În cazul $n = 5$, $m = l = 1$, $k = 3$ trebuie să calculăm expresia:

$$[X_1 \cos \theta + X_3 \cos(3\theta + \varphi)]^5 = X_1^5 [\cos \theta + Y \cos(3\theta + \varphi)]^5 \quad (3.27)$$

$$\text{unde } Y = \frac{X_3}{X_1}.$$

Tabelul 3.1

Descompunerea armonică a sumei funcțiilor trigonometrice.

Cazul n par.

N	Membrii comuni ai armonicilor					Armonici	Grupe
	$1x_1^4$	$\pm 4x_3^3x_1$	$6x_3^2x_1^2$	$\pm 4x_3x_1^3$	$1x_1^4$		
1	1					$\cos(12\theta + 4\varphi_3 + \varphi_1)$	
2		1				$\cos(10\theta + 3\varphi_3 + 1\varphi_1)$	întii
3.			1			$\cos(8\theta + 2\varphi_3 + 2\varphi_1)$	
4	.	.		1		$\cos(6\theta + 1\varphi_3 + 3\varphi_1)$	
5					1	$\cos(4\theta + 0\varphi_3 + 4\varphi_1)$	
6		1				$\cos(8\theta + 3\varphi_3 - 1\varphi_1)$	
7	4	.	2	.		$\cos(6\theta + 2\varphi_3 + 0\varphi_1)$	al doilea
8		3		3		$\cos(4\theta + 1\varphi_3 + 1\varphi_1)$	
9			2		4	$\cos(2\theta + 0\varphi_3 + 2\varphi_1)$	
10				1		$\cos(0\theta - 1\varphi_3 + 1\varphi_1)$	
11			1			$\cos(4\theta + 2\varphi_3 - 2\varphi_1)$	
12		3		3		$\cos(2\theta + 1\varphi_3 - 1\varphi_1)$	al treilea
13	3		2		3	$\cos(0\theta + 0\varphi_3 - 0\varphi_1)$	

Prin algoritmul lui Ilin se obține descompunerea armonică a expresiei (3.27).

$$\frac{1}{16} x_1^5 [(10+60\gamma^2+30\gamma^4) \cos \theta + (20\gamma+30\gamma^3) \cos(\theta+\varphi) + 5\gamma \cos(\theta-\varphi)] =$$

$$\frac{1}{16} x_1^5 [A_1 \cos \theta + A_2 \cos(\theta+\varphi) + A_3 \cos(\theta-\varphi)] \quad (3.28)$$

$$\frac{1}{16} x_1^5 [(30\gamma+60\gamma^3+10\gamma^5) \cos(3\theta+\varphi) + (5+20\gamma^2) \cos 5\theta + 10\gamma^2 \cos(3\theta+2\varphi)] =$$

$$\frac{1}{16} x_1^5 [A_4 \cos(3\theta+\varphi) + A_5 \cos 3\theta + A_6 \cos(3\theta+2\varphi)] \quad (3.29)$$

Ecuatia balantei armonice pentru ecuatie (3.25) are forma:

$$\frac{1}{16}x_1^5 \left\{ A_1 [\cos \theta - \xi \sin \theta] + A_2 [\cos(\theta + \varphi) - \xi \sin(\theta + \varphi)] + A_3 [\cos(\theta - \varphi) - \xi \sin(\theta - \varphi)] - \dot{x}_1 \cos \theta \right\} = V \cos(\theta + \varphi) \quad (3.30)$$

$$\begin{aligned} \frac{1}{16}x_1^4 \left\{ A_4 [\cos(3\theta + \varphi) - 3\xi \sin(3\theta + \varphi)] + A_5 [\cos 3\theta - 3\xi \sin 3\theta] + \right. \\ \left. + A_6 [\cos(3\theta + 2\varphi) - 3\xi \sin(3\theta + 2\varphi)] \right\} - 9V \cos(3\theta + \varphi) = 0 \end{aligned} \quad (3.31)$$

Din ecuatie (3.31) se obtine ecuatie pe care o satisface necunoscuta:

$$\left. \begin{aligned} x_1^4 [A_4 + (A_5 + A_6) \cos \varphi + 3\xi (A_5 - A_6) \sin \varphi] &= 114V \\ 3\xi A_4 + 3\xi (A_5 + A_6) \cos \varphi - (A_5 - A_6) \sin \varphi &= 0 \end{aligned} \right\} \quad (3.32)$$

Ultima ecuatie nu contine x_1 , de aceea putem determina amplitudinea si faza necunoscutei in mod simplu. Din (3.32) se obtine

$$\begin{aligned} x_1 &= \sqrt[4]{\frac{114V}{A_4 + (A_5 + A_6) \cos \varphi + 3\xi (A_5 - A_6) \sin \varphi}} \\ \cos \varphi &= -\frac{b + \sqrt{b^2 - ac}}{a} \quad \sin \varphi = \frac{b_1 + \sqrt{b_1^2 - a c_1}}{a} \end{aligned} \quad (3.33)$$

$$\text{unde } a = 9\xi^2 (A_5 + A_6)^2 + (A_5 - A_6)^2$$

$$b = 9\xi^2 A_4 (A_5 + A_6)$$

$$c = 9\xi^2 A_4^2 - (A_5 - A_6)^2$$

$$b_1 = -3\xi A_4 (A_5 - A_6)$$

$$c_1 = 9\xi^2 [A_4^2 - (A_5 + A_6)^2]$$

In mod analog pentru ecuatie (3.30) se obtine relatia pentru determinarea termenului sinusoidal si cosinusoidal al lui V si al lui φ_1 :

$$\begin{cases} V_{\cos} = \frac{1}{16} x_1^5 [A_1 + (A_2 + A_3) \cos \varphi - \xi (A_2 - A_3) \sin \varphi] - \dot{x}_1 \\ V_{\sin} = -\frac{1}{16} x_1^5 [\xi A_1 + \xi (A_2 + A_3) \cos \varphi + (A_2 - A_3) \sin \varphi] \end{cases} \quad (3.34)$$

$$\varphi_1 = \arctg \frac{V_{\cos}}{V_{\sin}}$$

Tabelul 3.2.

Descompunerea armonică a sumei funcțiilor trigonometrice.

Cazul n impar.

N	Membrii comuni ai armonicilor						Armonici	Grupe
	$1X_3^5$	$\pm 5X_3^4$	$10X_5^2$	$\pm 10X_5^2X_1^1$	$5X_3^4$	$\pm 1X_1^5$		
1	1						$\cos(15\theta + 5\varphi_3 + 0\varphi_1)$	
2		1					$\cos(13\theta + 4\varphi_3 + 1\varphi_1)$	întîi
3			1				$\cos(11\theta + 3\varphi_3 + 2\varphi_1)$	
4				1			$\cos(9\theta + 2\varphi_3 + 3\varphi_1)$	
5					1		$\cos(7\theta + 1\varphi_3 + 4\varphi_1)$	
6						1	$\cos(5\theta + 0\varphi_3 + 5\varphi_1)$	
7		1					$\cos(11\theta + 4\varphi_3 - 1\varphi_1)$	
8	5		2				$\cos(9\theta + 3\varphi_3 + 0\varphi_1)$	
9		4		3			$\cos(7\theta + 2\varphi_3 + 1\varphi_1)$	al doilea
10			3		4		$\cos(5\theta + 1\varphi_3 + 2\varphi_1)$	
11				2		5	$\cos(3\theta + 0\varphi_3 + 3\varphi_1)$	
12					1		$\cos(1\theta - 1\varphi_3 + 4\varphi_1)$	
13			1				$\cos(7\theta + 3\varphi_3 - 2\varphi_1)$	
14		4		3			$\cos(5\theta + 2\varphi_3 - 1\varphi_1)$	
15	10		6		6		$\cos(3\theta + 1\varphi_3 - 0\varphi_1)$	al treilea
16		6		6		10	$\cos(1\theta + 0\varphi_3 + 1\varphi_1)$	
17			3		4		$\cos(-1\theta - 1\varphi_3 + 2\varphi_1)$	
18				1			$\cos(-3\theta - 2\varphi_3 + 3\varphi_1)$	

Coeficientii de calcul $A_1 \div A_6$ depind numai de γ , unde $\gamma = 0 \div 1$ care sunt prezentate într-un tabel în [1].

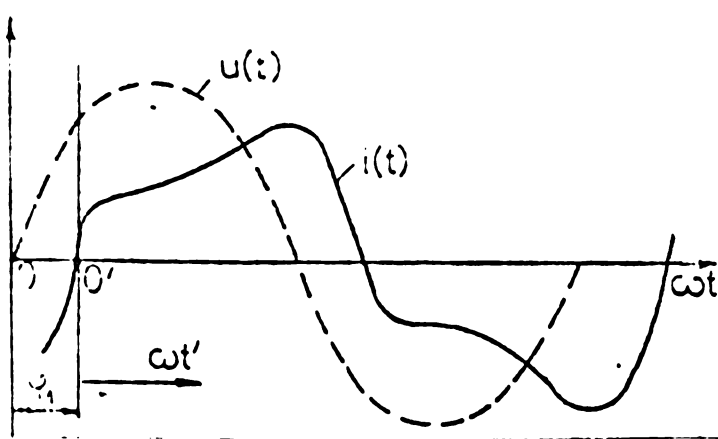
Prin folosirea metodei de calcul prezentate mai sus putem evita rezolvarea unei ecuații algebrice de grad superior.

sau a unor ecuații transcendentă, motiv pentru care volumul de calcul se reduce semnificativ.

3.2. Metoda balanței armonice modificate.

După cum se știe rezolvarea sistemului de 2n ecuații algebrice nelineare sau transcendentă (3-6) obținut din metoda balanței armonice este laborioasă. În cele ce urmează vom prezenta o metodă mai simplă pentru determinarea amplitudinilor și fazelor armonicilor în cazul cînd elementele nelineare au caracteristici simetrice impare, iar răspunsul este impar sau cu valori egale și de semne opuse pe semiperioade.

În general într-un anumit circuit tensiunea considerată funcție periodică este defazată de curba curentului cu faza $\varphi_1 = \omega t_1$ (fig.3.1)



Dacă se schimbă originea de la 0 la $0'$ după faza $\varphi_1 = \omega t_1$, adică se face schimbare de variabilă $t = t_1 + t'$, în raport cu coordonata de referință t' răspunsul, considerat impar, sătisface condiția: $i(t') = -i(-t')$

Fig.3.1.

Dezvoltind $i(t')$ în serie Fourier, obținem termeni în formă de sinusuri

$$i(t') = A_1 \sin \omega t' + A_2 \sin 2\omega t' + \dots + A_k \sin k\omega t' \quad (3.35)$$

În electrotehnica este răspîndită undă periodică nesinusoidală cu valori egale și de semne opuse pe semiperiodice care se dezvoltă în serie Fourier.

$$i(t) = \sum_{k=0}^{\infty} A_{2k+1} \sin(2k+1)\omega t + \sum_{k=0}^{\infty} B_{2k+1} \cos(2k+1)\omega t \quad (3.36)$$

În raport cu t' descompunerea lui $i(t)$ este:

$$i(t') = \sum_{k=0}^{\infty} A'_{2k+1} \sin(2k+1)\omega t' + \sum_{k=0}^{\infty} B'_{2k+1} \cos(2k+1)\omega t' \quad (3.37)$$

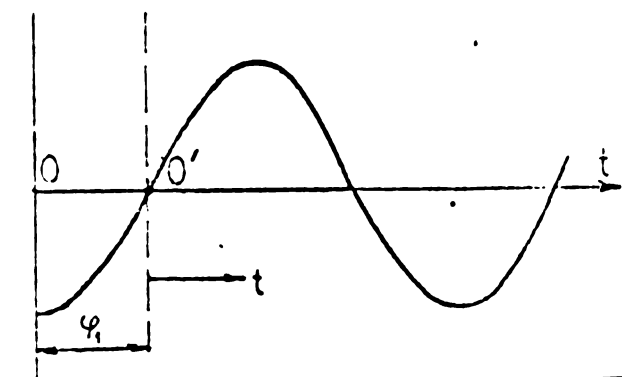
în care B'_{2k+1} este mai mic decât B_{2k+1} în raport cu t, pentru că în raport cu t' funcția este mai aproape de funcția impară decât în coordonata t.

De exemplu fie funcția sinusoidală de forma din (fig.3.2)

$$y = A_m \sin(\omega t - \varphi) = A_m \cos \varphi \sin \omega t - A_m \sin \varphi \cos \omega t \\ = A_1 \sin \omega t - B_1 \cos \omega t$$

în raport cu coordonata t' funcția este:

$$y = A_1 \sin \omega t'$$



adică funcția căutată în raport cu t' conține numai o armonică.

Dacă se găsește t_1 atunci numărul de ecuații algebrice sau transcendentale prin metoda balan-

ței armonice se reduce la jumătate. Se vede ușor că t_1 este

funcție de rezistență dinamică, de inductivitate dinamică, de capacitate dinamică și de semnalul de excitație...

Studiem metoda determinării lui t_1 în cazuri concrete.

A. Cazul răspunsului impar:

3.2.1. Circuitul R, L serie cu bobină neliniară

Să dă circuitul R, L serie (fig.3.3) unde bobina neliniară are o caracteristică simetrică impară (fig.3.4).

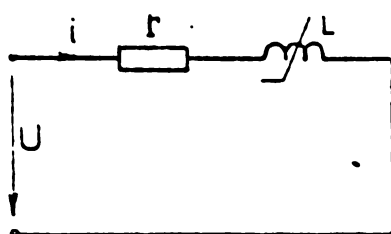


Fig.3.3.

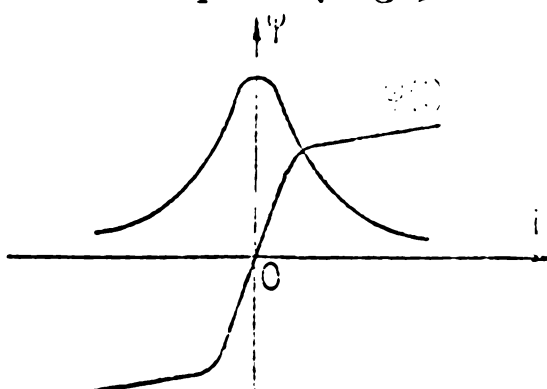


Fig.3.4.

Teorema a doua a lui Kirchhoff pentru circuitul din fig.3.3 are forma:

$$u = ri + L_d(i) \cdot \frac{di}{dt} \quad (3.38)$$

In coordonata de referinta t' ecuatie (3.38) devine:

$$u(t') = ri(t') + L_d(i) \cdot \frac{di}{dt'} \quad (3.39)$$

In originea $t' = 0$ deoarece $i = 0$ rezulta:

$$u(0) = L_d(0) \cdot \left(\frac{di}{dt'}\right)_{t'=0} \quad (3.40)$$

adică

$$\left(\frac{di}{dt'}\right)_{t'=0} = \frac{u(0)}{L_d(0)} \quad (3.41)$$

Derivind ecuatie (3.39) in raport cu t' avem:

$$\frac{du}{dt'} = \frac{dL_d(i)}{dt'} \cdot \left(\frac{di}{dt'}\right)^2 + L_d(i) \cdot \frac{d^2i}{dt'^2} + r \cdot \frac{di}{dt'} \quad (3.42)$$

Din ecuatie (3.42) a lui $i(t')$ avem:

$$\left(\frac{d^2i}{dt'^2}\right)_{t'=0} = 0, \quad \frac{dL_d(0)}{di} = 0 \text{ fiind } L_d(i) \text{ prezintă un maxim la } i = 0$$

Substituind ecuatie (3.41) in ecuatie (3.42) rezulta:

$$\left(\frac{du}{dt'}\right)_{t'=0} = \frac{r}{L_d(0)} u(0) \quad (3.43)$$

In coordonata de referinta t' ecuatie (3.43) devine:

$$\left(\frac{du}{dt}\right)_{t=t_1} = \frac{r}{L_d(0)} u(t_1) \quad (3.44)$$

Ecuatie (3.44) determină necunoscutul t_1 .

In cazul particular in care semnalul de intrare este sinusoidal:

$$u = U_m \sin \omega t; \quad \frac{du}{dt} = \omega U_m \cos \omega t \text{ din ecuatie (3.44) se ob-}$$

ține :

$$U_m \cos \omega t_1 = \frac{r}{L_d(0)} \cdot U_m \sin \omega t_1$$

sau

$$\operatorname{tg} \omega t_1 = \frac{\omega L_d(0)}{r}, \text{ adică } \varphi_1 = \omega t_1 = \arctg \frac{\omega L_d(0)}{r} \quad (3.45)$$

3.2.2. Circuitul R.C. serie cu condensator nelinier.

Se dă circuitul R,C serie (fig.3.5) unde condensatorul nelinier are o caracteristică simetrică impară (fig.3.6).

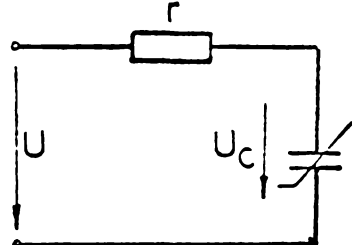


Fig.3.5.

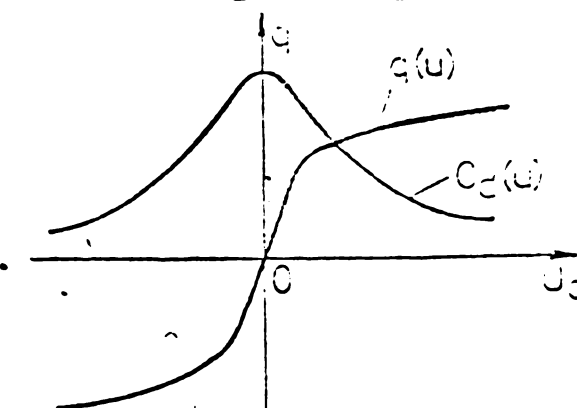


Fig.3.6.

Teorema a doua a lui Kirchhoff pentru acest circuit conduce la:

$$u = ri + U_C \quad (3.46)$$

$$\text{unde } i = \frac{dq}{dt} = \frac{dq}{du_C} \cdot \frac{du}{dt} = C_d(u) \cdot \frac{du}{dt} \quad (3.47)$$

Substituind (3.47) în ecuația (3.46) se obține:

$$u = r \cdot C_d(u) \cdot \frac{du}{dt} + U_C \quad (3.48)$$

In coordonată de referință t' ecuația (3.48) devine:

$$u(t') = r \cdot C_d(u) \cdot \frac{du}{dt'} + U_C(t') \quad (3.49)$$

In originea $t' = 0$, $U_C = 0$ se obține:

$$u(0) = r \cdot C_d(0) \cdot \left(\frac{du}{dt'}\right)_{t'=0} \text{ adică } \left(\frac{du}{dt'}\right)_{t'=0} =$$

$$= \frac{1}{r \cdot C_d(0)} u(0) \quad (3.50)$$

Derivând (3.49) în raport cu t' avem :

$$\frac{du}{dt'} = r \cdot \frac{dC_d}{du_0} \cdot \left(\frac{du_c}{dt'} \right)^2 + rC_d(u) \cdot \frac{d^2 u_c}{dt'^2} + \frac{du_c}{dt'} \quad (3.51)$$

Din ecuația (3.51) $\frac{d^2 u_c}{dt'^2} = 0$, iar $\frac{dC_d(0)}{du_c} = 0$ fiind

$C_d = C_d(u)$ prezintă un maxim la $u_c = 0$.

Substituind ecuația (3.50) în ecuația (3.51) rezultă:

$$\left(\frac{du}{dt'} \right)_{t'=0} = \frac{1}{rC_d(0)} u(0) \quad (3.52)$$

În coordonata de referință t ecuația (3.52) devine :

$$\left(\frac{du}{dt'} \right)_{t'=t_1} = \frac{1}{r \cdot C_d(0)} u(t_1) \quad (3.53)$$

Ecuația (3.53) determină necunoscutul t_1

În cazul particular în care semnalul de intrare este sinusoidal $u = U_m \sin \omega t$, din ecuația (3.53) se obține:

$$\tan \omega t_1 = \frac{1}{r \cdot \omega \cdot C_d(0)}, \text{ adică } \varphi_1 = \omega t_1 = \arctan \frac{1}{r \cdot \omega \cdot C_d(0)} \quad (3.54)$$

3.2.3. Circuitul R,L serie cu rezistență neliniară

Să dă circuitul R,L serie (fig.3.7) unde rezistorul neliniar este o caracteristică simetrică impară (fig.3.8).

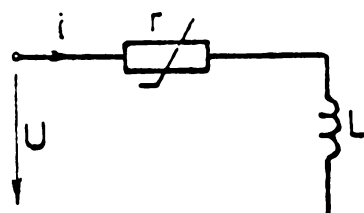


Fig.3.7.

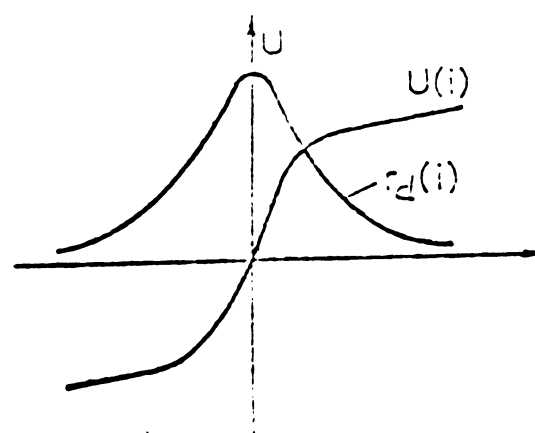


Fig.3.8.

Teorema a doua a lui Kirchhoff pentru acest circuit conduce la :

$$u = U_R(i) + L \frac{di}{dt} = R(i).i + L \frac{di}{dt} \quad (3.55)$$

In coordonata de referință t' ecuația (3.55) devine:

$$u(t') = R(i).i(t') + L \frac{di}{dt}, \quad (3.56)$$

In originea $t' = 0$ deoarece $i = 0$ rezultă:

$$\left(\frac{di}{dt} \right)_{t'=0} = \frac{u(0)}{L} \quad (3.57)$$

Derivând ecuația (3.56) în raport cu t' se obține:

$$\frac{du}{dt'} = \frac{dR}{di} \cdot \frac{di}{dt'} + R(i) \frac{di}{dt'} + L \frac{d^2 i}{dt'^2} \quad (3.58)$$

Din ecuația (3.58) avem $\frac{d^2 i}{dt'^2} = 0$, iar $\frac{dR(i)}{di} = 0$ deoarece

se presupune că

$R = R(i)$ prezintă un maxim (sau minim) la $i(t') = 0$

Substituind (3.57) în ecuația (3.58) se obține:

$$\left(\frac{du}{dt'} \right)_{t'=0} = \frac{R(0)}{L} u(0) \quad (3.59)$$

In coordonata de referință t ecuația (3.59) devine:

$$\left(\frac{du}{dt} \right)_{t=t_1} = \frac{R(0)}{L} u(t_1) \quad (3.60)$$

Ecuația (3.60) determină necunoscuta t_1 .

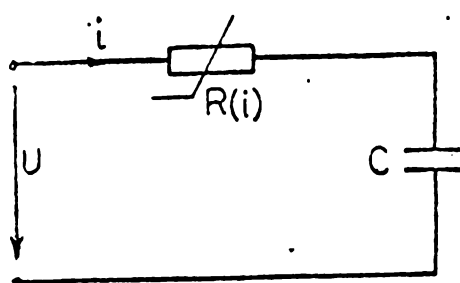
In cazul particular în care semnalul de intrare este sinusoidal $u = U_m \sin \omega t$, din ecuația (3.60) se obține:

$$\operatorname{tg} \omega t_1 = \frac{\omega L}{R(0)}, \text{ sau } \varphi_1 = \omega t_1 = \arctg \frac{\omega L}{R(0)} \quad (3.61)$$

3.2.4. Circuitul R.C. serie cu rezistență nelinieră.

Se dă circuitul R.C serie (fig.3.9) unde rezistorul neliniar are o caracteristică simetrică imparitară (3.8).

Ecuația a doua a lui Kirchhoff pentru acest circuit este:



$$u = u_R(i) + u_C = R(i) \cdot i + \frac{1}{C} \int idt \quad (3.62)$$

Derivând ecuația (3.62) în raport cu t se obține:

$$\frac{du}{dt} = \frac{dR(i)}{di} \cdot \frac{di}{dt} \cdot i + R(i) \cdot \frac{di}{dt} + \frac{1}{C} i \quad (3.63)$$

Fig.3.9.

In coordonata de referință t' ecuația (3.63) devine:

$$\frac{du}{dt'} = \frac{dR(i)}{di} \cdot \frac{di}{dt'} \cdot i + R(i) \cdot \frac{di}{dt'} + \frac{1}{C} i(t') \quad (3.64)$$

In originea $t' = 0$ avem $i(t') = 0$

Derivând ecuația (3.64) în raport cu t' se obține:

$$\frac{d^2u}{dt'^2} = \frac{d^2R(\frac{di}{dt'})^2}{di^2 dt'} i + \frac{dR(\frac{di}{dt'})^2}{di dt'^2} i + \frac{dR(\frac{di}{dt'})^2}{di dt'} + R \frac{d^2i}{dt'^2} + \frac{1}{C} \frac{di}{dt'} \quad (3.65)$$

din ecuația (3.65) avem:

$$\left(\frac{d^2u}{dt'^2} \right)_{t'=0} = 2 \left(\frac{dR}{di} \right)_{i=0} \left(\frac{di}{dt'} \right)^2_{t'=0} + \frac{1}{C} \left(\frac{di}{dt'} \right)_{t'=0} \quad (3.66)$$

Pe de altă parte $\left(\frac{dR}{di} \right)_{i=0} = 0$, rezultă ecuația determinării t_1 .

$$\left(\frac{d^2u}{dt'^2} \right)_{t'=0} = \frac{1}{CR(0)} \cdot \left(\frac{du}{dt'} \right)_{t'=0} \quad (3.67)$$

In cazul particular în care semnalul de intrare este sinusoidal

$u = U_m \sin \omega t$ din ecuația (3.67) avem:

$$\operatorname{tg} \varphi_1 = \frac{1}{\omega C \cdot R(0)} \text{ adică } \varphi_1 = \omega t_1 = \arctg \frac{1}{\omega C \cdot R(0)} \quad (3.68)$$

B. Cazul răspunsului oarecare:

3.2.5. Circuitul R.L serie cu bobina neliniară.

Să dă circuitul R-L în serie (fig.3.3) unde bobina neliniară se aproximează printr-un polinom de forma $\Psi(i) = ai - bi^3$

$$(3.69)$$

Inductivitatea dinamică a bobinei neliniare este:

$$L_d = \frac{d\psi}{di} = a - 3bi^2 \quad (3.70)$$

Tensiunea de intrare este periodică $u(t) = u(t+T)$

Teorema a doua a lui Kirchhoff în acest caz este:

$$L_d \frac{di}{dt} + Ri = u(t) \quad (3.71)$$

Răspunsul satisface condiția $i(t) = -i(t + \frac{T}{2})$

În raport cu coordonata de referință t' avem:

$$i(t') = -i(t' + \frac{T}{2})$$

Dacă se schimbă originea 0 la $0'$, răspunsul este mai puțin diferit de funcția impară. Dezvoltînd răspunsul $i(t')$ în serie Fourier se obține:

$$i(t') = \sum_{k=0}^{\infty} A_{2k+1} \sin(2k+1)\omega t' + \sum_{k=0}^{\infty} B_{2k+1} \cos(2k+1)\omega t' \quad (3.72)$$

În originea $t' = 0$ deoarece $i(0) = 0$ rezultă:

$$\sum_{k=0}^{\infty} B_{2k+1} = 0 \quad (3.73)$$

Derivînd ecuația (3.72) în raport cu t' se obține

$$\left(\frac{di}{dt'}\right)_{t'=0} = \sum_{k=0}^{\infty} (2k+1)\omega A_{2k+1} \quad (3.74)$$

$$\left(\frac{d^2i}{dt'^2}\right)_{t'=0} = -\sum_{k=0}^{\infty} (2k+1)^2 \omega^2 B_{2k+1} \quad (3.75)$$

Din ecuația (3.71) se obține:

$$u(0) = L_d(0) \cdot \left(\frac{di}{dt'}\right)_{t'=0} \text{ sau } \left(\frac{di}{dt'}\right)_{t'=0} = \frac{u(0)}{L_d(0)} \quad (3.76)$$

Derivînd ecuația (3.71) în raport cu t' se obține:

$$\frac{dL_d}{di} \cdot \left(\frac{di}{dt'}\right)^2 + L_d \frac{d^2i}{dt'^2} + R \frac{di}{dt'} = \frac{du}{dt'} \quad (3.77)$$

$$\left(\frac{dL_d}{di}\right)_{t'=0} = 0 \text{ fiind } L_d(i) \text{ prezintă un maxim la } 0.$$

Substituind (3.75) și (3.76) în ecuația (3.77) se obține:

$$L_d(0) \sum_{k=0}^{\infty} (2k+1)^2 \omega^2 B_{2k+1} + R \frac{u(0)}{L_d(0)} = \left(\frac{du}{dt}\right)_{t'=0} \quad (3.78)$$

Ecuația (3.78) determină necunoscuta t_1 .

Dacă răspunsul se ia cu armonica fundamentală și a treia, adică:

$$i(t') = A_1 \sin \omega t' + A_3 \sin 3\omega t' + B_1 \cos \omega t' + B_3 \cos 3\omega t' \quad (3.79)$$

Din ecuația (3.73) avem:

$$B_1 + B_3 = 0 \quad (3.80)$$

Substituind (3.80) în ecuația (3.78) se obține:

$$\begin{aligned} \left(\frac{du}{dt}\right)_{t'=0} &= \frac{R}{L_d(0)} \cdot u(0) - L_d(0) \cdot \omega^2 (B_1 + 9B_3) \\ &= \frac{R}{L_d(0)} \cdot u(0) + 8\omega^2 L_d(0) \cdot B_1 \end{aligned} \quad (3.81)$$

În prima aproximare $B_1^0 = 0$ din (3.80) rezultă $B_3^0 = 0$.

În aceasta ipoteză funcția $i(t')$ este aproximată cu una impară.

Ecuația (3.81) devine:

$$\frac{R}{L_d(0)} \cdot u(0) = u'(0) \quad (3.82)$$

În coordonata de referință t_1 avem ecuația determinării t_1^0 :

$$\frac{R}{L_d(0)} \cdot u(t_1^0) = u'(t_1^0) \quad (3.83)$$

Cu metoda balanței armonice se calculează A_1^0 , A_3^0 în prima aproximare. Apoi se încearcă soluția de forma:

$$i(t') = A_1^0 \sin \omega t' + A_3^0 \sin 3\omega t' + B_1^0 \cos \omega t' - B_1^0 \cos 3\omega t' \quad (3.84)$$

cu B_1^0 ca mărime necunoscută. Metoda balanței armonice permite să se calculeze B_1^0 .

Ecuatia (3.81) devine:

$$-8\omega^2 L_d(0) B_3 + \frac{R}{L_d(0)} \cdot \dot{u}(t_1^1) = u'(t_1^1) \quad (3.85)$$

se determină timpul t_1^1 .

Se recalculează A_1^1 , A_3^1 . Procesul de calcul iterativ continuă pînă cînd $t_1^{(n)} \approx t_1^{(n-1)}$

Să vede ușor că metoda balanței armonice modificate are volum de calcul mai puțin decît metoda balanței armonice.

3.2.6. Circuitul R,L serie cu rezistență nelinieră.

Să dă circuitul R,L serie (fig.3.7), unde caracteristica rezistenței nelineare se aproximează printr-un polinom $u_R(i) = ai - bi^3$. (3.86)

$$\text{Rezistența dinamică este : } R_d = \frac{du_R}{di} = a - 3bi^2 \quad (3.87)$$

Teorema a doua a lui Kirchhoff pentru acest caz este:

$$u(t) = u_R(i) + L \cdot \frac{di}{dt} = R_d(i) \cdot i + L \cdot \frac{di}{dt} \quad (3.89)$$

In coordonata de referință t' ecuația (3.89) devine:

$$u(t') = R_d(i) \cdot i(t') + L \cdot \frac{di(t')}{dt'} \quad (3.90)$$

In originea $t' = 0$ avem :

$$u(0) = L \left(\frac{di}{dt'} \right)_{t'=0} \quad (3.91)$$

Răspunsul $i(t')$ se dezvoltă în serie Fourier:

$$i(t') = \sum_{k=0}^{\infty} A_{(2k+1)} \sin(2k+1)\omega t' + \sum_{k=0}^{\infty} B_{(2k+1)} \cos(2k+1)\omega t'$$

In originea $t' = 0$, deoarece $i(0) = 0$ rezultă

$$\sum_{k=0}^{\infty} B_{(2k+1)} = 0$$

Derivînd ecuația (3.90) în raport cu t' avem :

$$\frac{du}{dt'} = \left(\frac{di}{dt'} \right) \left[\frac{dR_d}{di} i(t') + R_d \right] + L \frac{d^2 i}{dt'^2} \quad (3.92)$$

Tinând seama de ecuația (3.74) și (3.75) din ecuația

(3.92) avem :

$$u'(0) = \frac{R_d}{L} u(0) - \omega^2 L \sum_{k=0}^{\infty} (2k+1)^2 B_{2k+1} \quad (3.93)$$

Ecuația (3.93) determină necunoscuta t_1 .

Raționamentul continuă ca în cazul precedent.

3.2.7. Circuitul R.L.C serie cu bobina neliniară.

Se dă circuitul R.L.C. serie unde bobina neliniară are

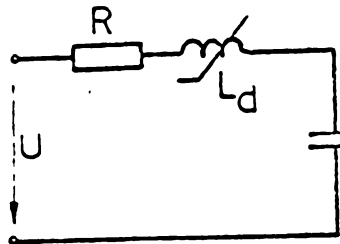


Fig.3.10.

caracteristică impară care se aproximează printr-un polinom (3.69). Teorema a doua a lui Kirchhoff pentru acest caz este:

$$u = R_i + L_d \frac{di}{dt} + \frac{1}{c} \int i dt \quad (3.94)$$

Derivând ecuația (3.94) în raport cu t se obține:

$$\frac{du}{dt} = R \frac{di}{dt} + \frac{dL_d}{di} \left(\frac{di}{dt} \right)^2 + L_d \frac{d^2 i}{dt^2} + \frac{i}{c} \quad (3.95)$$

In coordonata de referință t' ecuația (3.15) devine

$$\frac{du}{dt'} = R \frac{di}{dt'} + \frac{dL_d}{di} \left(\frac{di}{dt'} \right)^2 + L_d \frac{d^2 i}{dt'^2} + \frac{i(t')}{c} \quad (3.96)$$

In originea $t' = 0$ din ecuația (3.16) avem :

$$\left(\frac{du}{dt'} \right)_{t'=0} = R \left(\frac{di}{dt'} \right)_{t'=0} + L_d(0) \cdot \left(\frac{d^2 i}{dt'^2} \right)_{t'=0} \quad (3.97)$$

Ecuația (3.94) conduce la:

$$u(0) = \frac{L_d(0)}{R} \left[u'(0) - L_d \left(\frac{d^2 i}{dt'^2} \right)_{t'=0} \right] + \frac{1}{c} \left(\int i dt' \right)_{t'=0} \quad (3.98)$$

Răspunsul $i(t')$ se caută în serie Fourier:

$$i(t') = \sum_{k=0}^{\infty} A_{2k+1} \sin(2k+1)\omega t' + \sum_{k=0}^{\infty} B_{2k+1} \cos(2k+1)\omega t' \quad (3.99)$$

$$\frac{d^2 i}{dt'^2} = -\sum_{k=0}^{\infty} \omega^2 (2k+1)^2 A_{2k+1} \sin(2k+1)\omega t' - \sum_{k=0}^{\infty} \omega^2 (2k+1)^2 B_{2k+1} \cos(2k+1)\omega t' \quad (3.100)$$

$$\left(\frac{d^2 i}{dt'^2} \right)_{t'=0} = -\sum_{k=0}^{\infty} \omega^2 (2k+1)^2 B_{2k+1}$$

$$\int idt' = - \sum_{k=0}^{\infty} \frac{A_{2k+1}}{(2k+1)\omega} \cos(2k+1)\omega t' + \sum_{k=0}^{\infty} \frac{B_{2k+1}}{(2k+1)\omega} \sin(2k+1)\omega t'$$

(3.101)

$$[idt']_{t'=0} = - \sum_{k=0}^{\infty} \frac{A_{2k+1}}{(2k+1)\omega}$$

(3.102)

Inlocuind (3.100), (3.102) în ecuația (3.98)

avem:

$$u(0) = \frac{L_d(0)}{R} \left[u'(0) + L_d(0) \sum_{k=0}^{\infty} \omega^2 (2k+1)^2 B_{2k+1} \right] - \frac{1}{\omega C} \sum_{k=0}^{\infty} \frac{A_{2k+1}}{2k+1}$$

(3.103)

Ecuația (3.103) în coordonata de referință t devine:

$$u(t_1) = \frac{L_d(0)}{R} \left[u'(t_1) + L_d(0) \sum_{k=0}^{\infty} \omega^2 (2k+1)^2 B_{2k+1} \right] - \frac{1}{\omega C} \sum_{k=0}^{\infty} \frac{A_{2k+1}}{2k+1}$$

(3.104)

Ecuația (3.104) determină necunoscuta t_1 .

Se trece la proces de iterare ca și în § 3.2.5.

Deoarece $\sum_{k=0}^{\infty} B_{2k+1} = 0$ se presupune o singură armonică

A_1^0 : Ecuația (3.104) devine:

$$u(t_1^0) = \frac{L_d(0)}{R} [u'(t_1^0)] - \frac{1}{\omega C} A_1^0$$

(3.105)

Ecuația (3.105) împreună cu balanța armonică determină necunoscutele A_1^0 și t_1^0 . Cu A_1^0 determinat se trece la A_3^0 în care ultimul termen al ecuației (3.104) se înlocuiește cu A_1^0 și A_3^0 :

$$u(t_1^1) = \frac{L_d(0)}{R} [u'(t_1^1)] - \frac{1}{\omega C} (A_1^0 + \frac{A_3^0}{3})$$

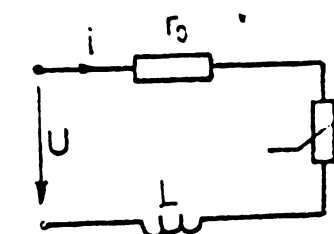
(3.106)

împreună cu balanța armonică se determină t_1^1 și A_3^0 . Procesul de calcul iterativ continuă pînă cînd $t_1^l \approx t_1^{l-1}$.

3.3. Exemplu de calcul:

Fie de rezolvat circuitul R.L serie (fig.3.11), unde rezistența neliniară are caracteristica: $u(i) = ai - bi^3$, $a = 45\Omega$, $b = 30 \frac{\Omega}{A^2}$, $r_0 = 12 \Omega$, $L_0 = 0,05 H$. Tensiunea sinusoidală $U = 25V$, $f = 50 Hz$.

Rezolvare:



Problema se rezolvă cu metoda balanței armo-nice modificate. Ecuația diferențială a circuitului este:

$$u = (r_0 + a) i + L \frac{di}{dt} - bi^3 \quad (3.107)$$

Fig.3.11

Din egalitatea (3.93) se obține ecuația pentru determinarea lui t_1 :

$$\frac{du(t_1)}{dt} = \frac{(r_0 + a)}{L} u(t_1) + 8\omega^2 L B_1 \quad (3.108)$$

$u = U_m \sin \omega t$, $\frac{du}{dt} = \omega U_m \cos \omega t$, rezultă :

$$\operatorname{tg} \varphi_1 = \frac{\omega L}{r_0 + a} - \frac{8\omega^2 L^2 B_1}{U_m (r_0 + a) \cos \varphi_1} \quad (3.109)$$

In prima aproximare se consideră că $B_1^0 = 0$ soluția se cauță sub forma:

$$i(t') = A_1 \sin \omega t' + A_3 \sin 3\omega t'$$

din (3.109) se obține: $\varphi_1^0 = \operatorname{arctg} \frac{\omega L}{r_0 + a} = \operatorname{arctg} \frac{15,7}{57} = 15^{\circ} 23'$

$$\frac{di}{dt'} = \omega A_1 \cos \omega t' + 3\omega A_3 \cos 3\omega t'$$

$$\begin{aligned} i^3 &= (A_1 \sin \omega t' + A_3 \sin 3\omega t')^3 = \frac{A_1^3}{4} (3 \sin \omega t' - \sin 3\omega t') + \\ &+ \frac{3}{2} A_1^2 A_3 \sin 3\omega t' - \frac{3}{4} A_1^2 A_3 (\sin \omega t' + \sin 5\omega t') + \\ &+ \frac{3}{2} A_1 A_3^2 \sin 5\omega t' - \frac{3}{4} A_1 A_3^2 (\sin 7\omega t' - \sin 3\omega t') + \frac{A_3^3}{4} (3 \sin \omega t' - 3 \sin 9\omega t') \end{aligned}$$

Identificînd armonici de același ordin din ecuația (3.107) se obține ecuația balanței armonice.

$$(r_0+a) A_1^0 - \frac{3}{4} b A_1^{03} + \frac{3b}{4} A_1^{02} A_3^0 - \frac{3}{2} b A_1^0 A_3^{02} = U_m \cos \varphi_1^0 \quad (3.110a)$$

$$(r_0+a) A_3^0 + \frac{b}{4} A_1^{03} - \frac{3b}{2} A_1^{02} A_3^0 - \frac{3b}{4} A_3^{03} = 0 \quad (3.110b)$$

Dacă $A_3 \ll A_1$ se neglijeză A_3^0 , în ecuația (3.110a) rezultă:

$$A_1^0 = \frac{U_m \cos \varphi_1^0}{r_0 + a - \frac{3}{4} b A_1^{02}} = \frac{34,08}{57-22,5 A_1^{02}} = 0,785$$

$$\text{din ecuația (3.110b) rezultă } A_3^0 = \frac{-\frac{b}{4} A_1^{03}}{r_0 + a - \frac{3b}{2} A_1^{02} - \frac{3}{4} b A_3^{02}} = \\ = \frac{-3,628}{28,63-22,5 A_3^{02}} = -0,125$$

În a doua aproximare se caută soluția sub formă:

$$i(t') = A_1 \sin \omega t' + A_3 \sin 3\omega t' + B_1 (\cos \omega t' - \cos 3\omega t') \quad (3.111)$$

$$\frac{di}{dt'} = \omega A_1 \cos \omega t' + 3\omega A_3 \cos 3\omega t' - \omega B_1 \sin \omega t' + 3\omega B_1 \sin 3\omega t' \quad (3.112)$$

Să înlocuiesc (3.111) și (3.112) în ecuația (3.107) se obțin ecuațiile balanței armonice:

$$(r_0+a) A_1 - \omega L B_1 - \frac{3}{4} b A_1^3 + \frac{3}{4} b A_1^2 A_3 - \frac{3}{2} b A_1 A_3^2 - 3b A_1 E_1^2 - \frac{3}{4} b A_3 B_1^2 = \\ = U_m \cos \varphi_1 \quad (3.113a)$$

$$(r_0+a) B_1 + \omega L A_1 - \frac{3}{4} b A_1^2 B_1 - \frac{3}{2} b A_1 A_3 B_1 - \frac{3}{2} b A_3^2 B_1 - \frac{3}{4} b B_1^3 = U_m \sin \varphi_1 \quad (3.113b)$$

$$(r_0+a) A_3 + 3\omega L B_1 + \frac{b}{4} A_1^3 - \frac{3}{2} b A_1^2 A_3 - \frac{3}{4} b A_3^2 - \frac{3}{2} b A_1 B_1^2 - \frac{3}{4} b A_3 B_1^2 = 0 \quad (3.113c)$$

$$-(r_0+a) B_1 + 3\omega L A_3 + \frac{3}{4} b A_1^2 B_1 - 2b B_1^3 - \frac{3}{4} b A_3^2 B_1 = 0 \quad (3.113d)$$

Inlocuind $A_1^0 = 0,785$, $A_3^0 = -0,125$ în ecuația (3.11b) se obține:

$$-47,92 B_1^0 - 22,5 B_1^{03} = -3,084$$

$$B_1^0 = \frac{-3,084}{47,92 - 22,5 B_1^{02}} = -0,063$$

$$\operatorname{tg} \varphi_1^0 = \operatorname{tg} \varphi_1^0 - \frac{8 \omega^2 L^2 B_1^0}{U_m(r_0 + a) \cos \varphi_1^0} = 0,330 \text{ rezultă } \varphi_1^1 = 18^\circ 15'$$

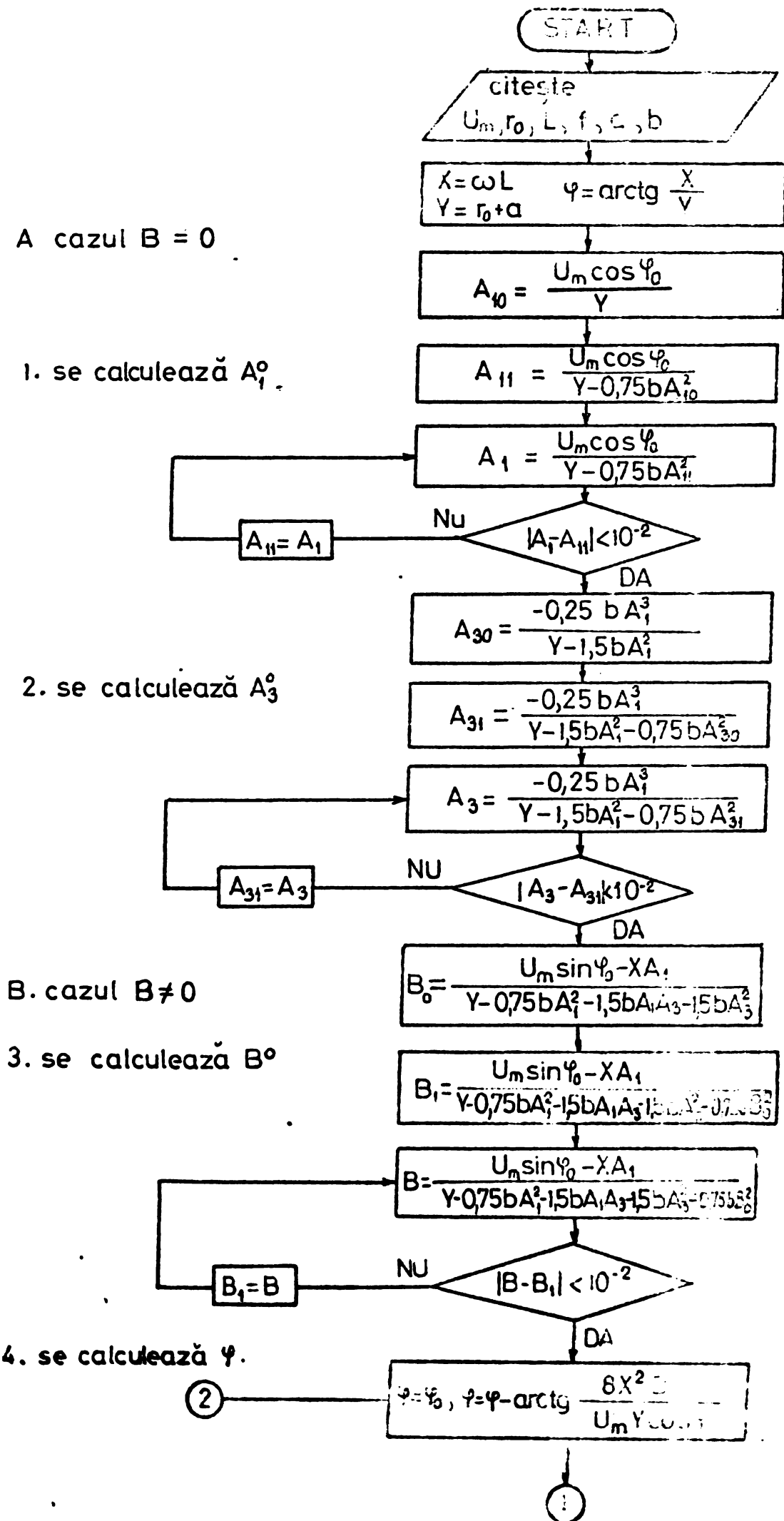
Să recalculează A_1^1 și A_3^1 după ecuația (3.113a) și (3.113c) și să obțină: $A_1^1 = 0,765$ și $A_3^1 = -0,102$. Procesul de calcul se repetă.

In fig.3.12 se prezintă schema logică după metoda balanței armonice. Se scrie programarea BALMOD în limbaj FORTRAN. Dacă se ia $B < 0,0$ timpul de calcul este 1 minut. Amplitudinile armonicilor sunt:

$$A_1 = 0,7217 \text{ A}, A_3 = -0,0642 \text{ A}, \varphi_1 = 18^\circ 47'.$$

Rezultatul este verificat pe calculator analogic MELA 42-TL (cap.VI) și coincide cu cel obținut cu alte metode (cap.IV).

SCHEMA LOGICA DUPA METODA BALANTEI ARMONICE
MODIFICATE



5. se calculează A_1

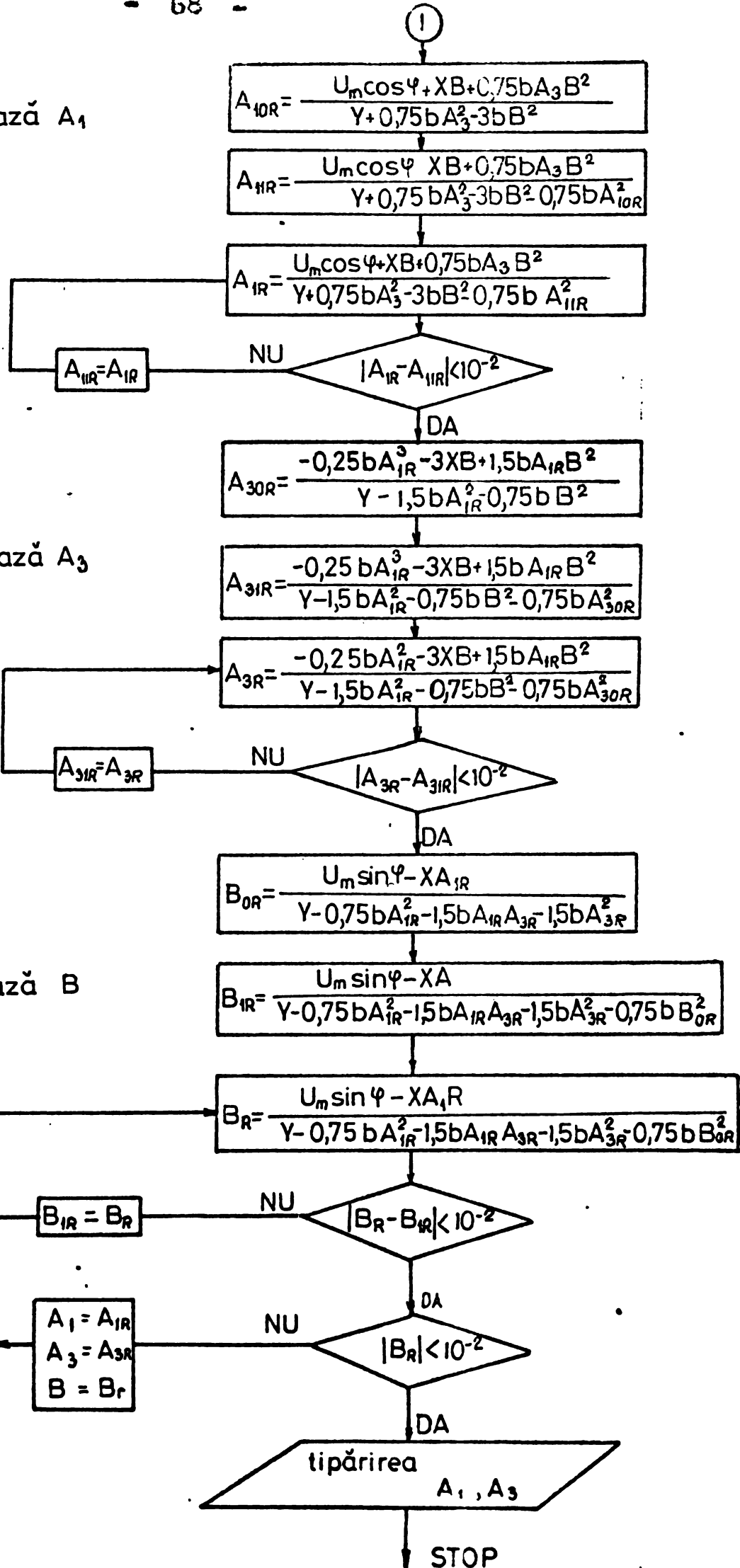


FIG. 3-12

CAPITOLUL IV.

ASUPRA TRANSFORMAȚEI ÎN PUNCTE SI ÎN COMPLEX

4.1. Considerații generale despre transformata în puncte [29]

Elaborarea metodelor de calcul simple și eficiente pentru rezolvarea ecuațiilor diferențiale neliniare întâlnite în teoria circuitelor joacă un rol foarte important. Transformata în puncte este ansamblul regulilor, formulelor bazate pe aplicarea funcțiilor în puncte pentru rezolvarea ecuațiilor diferențiale.

Transformata directă în puncte a unei funcții reprezintă ansamblul valorilor funcției pentru valori determinate ale argumentului. Fie, de exemplu funcția periodică :

$$F(\theta) = F(\theta + T) \text{ unde } \theta = \omega t \quad 0 \leq \theta \leq 2\pi \quad (4.1)$$

Transformata directă în puncte a lui $F(\theta)$ este vectorul \tilde{F} ale cărui componente sunt valorile lui $F(\theta)$ pentru argumentele $\theta_0, \theta_1 \dots \theta_{n-1}$, unde n este numărul punctelor. Se obisnuiește a se utiliza notația .

$$\tilde{F} := F(\theta) \quad (4.2)$$

$$\text{și } T_n \{F(\theta)\} = \tilde{F} = \begin{cases} F_0 = F(\theta_0) \\ F_1 = F(\theta_1) \\ \dots \\ F_{n-1} = F(\theta_{n-1}) \end{cases} \quad (4.3)$$

Se numește transformata inversă în puncte funcția $f(\theta)$ care aproximează funcția $F(\theta)$ trecind prin punctele $F_0, F_1 \dots F_{n-1}$.

După cum se știe funcțiile periodice în general se pot approxima printr-un polinom trigonometric de forma:

$$f(\theta) = \frac{a_0}{2} + \sum_{j=1}^m (a_j \cos j\theta + b_j \sin j\theta) \quad (4.4)$$

unde m este ordinul celei mai mari armonici

Dacă se dă $F_0, F_1 \dots F_{n-1}$ prin valorile egale

argumentului adică:

$$F_K = F(\theta_K) \quad \text{unde } \theta_K = \frac{2\pi}{2m+1} k \quad (4.5)$$

atunci coeficienții a_ν și b_ν sănt dați de următoarele expresii:

$$a_\nu = \frac{2}{2m+1} \sum_{k=0}^{2m} F_k \cos(\nu \theta_K)$$

$$b_\nu = \frac{2}{2m+1} \sum_{k=0}^{2m} F_k \sin(\nu \theta_K) \quad (4.6)$$

Substituind expresia (4.6) în (4.4) se găsește funcția de aproximare cu ajutorul componentelor vectorului \tilde{F}

$$f(\theta) = \frac{1}{2m+1} \sum_{k=0}^{2m} \left[1 + 2 \sum_{\nu=1}^m \cos \nu (\theta_K - \theta) \right] F_k \quad (4.7)$$

Pentru funcții cu valori egale și de semne opuse pe semiperioada care conțin numai armonici impare, transformata inversă în puncte devine mai simplă:

$$f(\theta) = \sum_{\nu} (a_\nu \cos \nu \theta + b_\nu \sin \nu \theta) ; \nu = 1, 3, 5, \dots (4.8)$$

Tinând seama că $F(\theta) = -F(\theta + \pi)$ transformata se poate scrie sub forma:

$$a_\nu = \frac{2}{m+1} \sum_{k=0}^m F_k \cos \nu \theta_K \quad (4.9)$$

$$b_\nu = \frac{2}{m+1} \sum_{k=0}^m F_k \sin \nu \theta_K$$

unde $\theta_K = \frac{\pi}{m+1} k$, $k = 0, 1, 2, \dots, m$

In sfîrșit, se obține transformata inversă în puncte în funcție de componente F_k sub forma

$$f(\theta) = \frac{2}{m+1} \sum_{k=0}^m \sum_{\nu=1}^m \left[\cos \nu (\theta_K - \theta) \right] F_k \quad (4.10)$$

4.2. Proprietățile principale ale transformatei în puncte [29]

- 1) Liniaritatea: Dacă λ este constant pozitiv sau negativ, atunci:

$$\lambda f(\theta) = \begin{vmatrix} \lambda F_0 \\ \lambda F_1 \\ \vdots \\ \vdots \\ \lambda F_{n-1} \end{vmatrix} = \lambda \tilde{F} \quad (4.11)$$

Dacă $f(\theta)$ și $\varphi(\theta)$ sunt funcții periodice cu aceeași perioadă, atunci :

$$f(\theta) + \varphi(\theta) = \begin{vmatrix} F_0 + \Phi_0 \\ F_1 + \Phi_1 \\ \dots \\ F_{n-1} + \Phi_{n-1} \end{vmatrix} = \tilde{F} + \tilde{\Phi} \quad (4.12)$$

2) Transformata în puncte a derivatei

Se face derivata expresiei (4.7) în raport cu t , unde $\frac{d\theta}{dt} = \omega$ și se obține:

$$f'(\theta) = \frac{df(\theta)}{dt} = \frac{2\omega}{2m+1} \sum_{k=0}^{2m} \left[\sum_{v=1}^m \sin v(\theta_s - \theta_k) \right] F_k \quad (4.13)$$

Componenta s a transformatei derivatei este:

$$f'_s = \frac{2\omega}{2m+1} \sum_{k=0}^{2m} \left[\sum_{v=1}^m \sin v(\theta_s - \theta_k) \right] F_k \quad (4.14)$$

$$\text{unde } \theta_k = \frac{2\pi}{2m+1} k \quad ; \quad \theta_s = \frac{2\pi}{2m+1} s.$$

Introducem matricea

J_{00}	J_{01}	•	$J_{0,2m}$
J_{10}	J_{11}	•	$J_{1,2m}$
$J_{2m,0}$	$J_{2m,1}$	•	$J_{2m,2m}$

cu componente

$$J_{sk} = -\frac{2}{2m+1} \sum_{v=1}^m \sin \left(\frac{2\pi v (s-k)}{2m+1} \right) = \begin{cases} 0 & \text{cind } s=k \\ \cos \frac{2m\pi(s-k)}{2m+1} & \\ -\frac{2m+1}{2m+1} \sin \frac{\pi(s-k)}{2m+1} & \text{cind } s \neq k \end{cases} \quad (4.15)$$

Formula (4.14) se poate scrie sub forma:

$$f_s' = \sum_{k=0}^{2m-1} J_{sk} \omega F_k \quad (4.16)$$

asa dar

$$\tilde{F}' = J\omega \tilde{F} \quad (4.17)$$

Matricea $J\omega$ in transformata in puncte joaca un rol asemănător lui $j\omega$ in reprezentarea in complex sau a lui p in transformata Laplace.

Transformata in puncte a derivatei de gradul n are forma:

$$\tilde{F}^{(n)} = (J\omega)^n \tilde{F} \quad (4.18)$$

3) Transformata in puncte a integralei:

Daca functia periodică contine și termen constant, integrala acestei functii nu este periodică, de aceea se obtine numai transformata in puncte a integralei functiilor periodice care nu contin termeni constanti.

Notam $\Gamma = J^{-1}$ atunci in [29] se demonstreaza ca:

$$\int f(t) dt = \frac{1}{\omega} \Gamma \tilde{F} \quad (4.19)$$

Pentru transformata in puncte a integralei, matricea $\frac{1}{\omega} \Gamma$ joaca un rol asemănător rolului lui $\frac{1}{j\omega}$ sau a lui $\frac{1}{p}$ in transformata in complex, respectiv operatinală.

Legatura dintre coeficienții polinomului trigonometric de aproximare și componente vectorului \tilde{F} este determinată prin matricea W .

$$S = W \tilde{F} \quad (4.20)$$

unde S este vectorul ce are componentele a_y , b_y .

Matricile J , W pentru cîteva forme ale polinoamelor trigonometrice simple se dau in tabelul 4.1., iar matricea Γ se dă in tabelul 4.2.

Cind numărul punctelor este mare ($n > 6$) obtinerea transformatei in puncte este dificilă, de aceea in [38], [39] se găsește

transformata în puncte a derivatei și a integralei în formă mai simplă, mai precisă

Transformata în puncte a derivatei se obține pe baza diferențelor divizate centrate:

$$\text{Cind } n = 2 \quad x'_1 = \frac{1}{2h} (-x_0 - x_2) \quad (4.21)$$

$$n = 4 \quad x'_2 = \frac{1}{12h} (x_0 - 8x_1 + 8x_3 - x_4) \quad (4.22)$$

$$n = 6 \quad x'_3 = \frac{1}{60h} (-x_0 - 9x_1 - 45x_2 + 45x_4 - 9x_5 + x_6) \quad (4.23)$$

unde h este pasul de împărțire $h = \frac{T}{n}$, $\frac{T}{2n}$ pentru funcția periodică, respectiv pentru funcția periodică simetrică pe semiperioade.

In cazul general expresiile derivatelor se pot rescrie sub forma:

$$x'_k = \frac{1}{2h} (-x_{k-1} + x_{k+1}) \quad (4.24)$$

$$x'_k = \frac{1}{12h} (x_{k-2} - 8x_{k-1} + 8x_{k+1} - x_{k+2}) \quad (4.25)$$

$$x'_k = \frac{1}{60h} (-x_{k-3} + 9x_{k-2} - 45x_{k-1} + 45x_{k+1} - 9x_{k+2} + x_{k+3}) \quad (4.26)$$

$$k = 0, 1, 2, \dots$$

Pe baza formulelor (4.24), (4.25), (4.26) se găsește transformata în puncte a derivatei de ordinul întâi.

$$\check{x}' = \frac{1}{h} D_{ln} \check{x} \quad (4.27)$$

unde $\check{x}' = (x'_0, x'_1, x'_2 \dots x'_{n-1})_{tr}$.

$\check{x} = (x_0, x_1, x_2 \dots x_{n-1})_{tr}$.

D_{ln} este o matrice pătrată de forma:

$$D_{ln} = \frac{1}{2} \begin{bmatrix} 0 & 1 & 0 & 0 & \dots & -1 \\ -1 & 0 & 1 & 0 & \dots & 0 \\ 0 & -1 & 0 & 1 & \dots & 0 \\ \dots & \dots & \dots & \dots & \dots & \dots \\ -1 & 0 & 0 & 0 & \dots & 0 \end{bmatrix} \quad (4.28)$$

In [38] se demonstrează că transformata în puncte a derivatei de ordinul m este

$$\tilde{x}^{(m)} = \frac{1}{h^m} D_{mn} \tilde{x} \quad (4.29)$$

în care D_{mn} reprezintă matricea derivatei de ordinul m care se poate determina prin ridicarea matricei D_{ln} la puterea m :

$$D_{mn} = D_{ln}^m \quad (4.30)$$

Matricile derivatei obținute sunt antisimetrice pentru m impar și sunt simetrice cind m este par. Pentru obținerea matricilor derivatei trebuie să se cunoască numai elementele liniei întii fiindcă pentru linia a doua elementele se deplasează la dreapta iar primul element al liniei a doua este rezervat ultimului element din prima linie dacă funcția este oarecare dar periodică și pentru ultimul element din prima linie cu semn schimbat cind funcția este impară.

Transformata în puncte a integralei se construiește în modul următor:

Se dă funcția periodică simetrică $x(\theta) = -x(\theta + \pi)$, semi-perioada se împarte în n părți egale $\theta_0 = 0, \theta_0 + kh, (k=1,2..n-1)$ unde pasul $h = \frac{\pi}{n}$.

Notăm $X^*(\theta)$ este integrala lui $x(\theta)$

$$X^*(\theta) = \int_0^\theta x(\theta)d\theta \quad (4.31)$$

Transformata în puncte a integralei \tilde{x}^* este legată de transformata în puncte a funcției \tilde{X} prin formula:

Tabelul 4.1.

Polinom trigonometric	Matricea J	Matricea W
$a_1 \cos\theta + b_1 \sin\theta$ $\theta_0 = 0, \theta_1 = \frac{\pi}{2}$	0 1 -1 0	1 0 0 1
$\frac{a_0}{2} + a_1 \cos\theta + b_1 \sin\theta$ $\theta_0 = 0, \theta_1 = \frac{2\pi}{3}, \theta_2 = \frac{4\pi}{3}$	0 $\frac{1}{\sqrt{3}}$ $-\frac{1}{\sqrt{3}}$ $-\frac{1}{\sqrt{3}}$ 0 $\frac{1}{\sqrt{3}}$ $\frac{1}{\sqrt{3}}$ $\frac{1}{\sqrt{3}}$ 0	$\frac{1}{3}$ $\frac{1}{3}$ $\frac{1}{3}$ $\frac{2}{3}$ $-\frac{1}{3}$ $-\frac{1}{3}$ 0 $\frac{1}{\sqrt{3}}$ $-\frac{1}{\sqrt{3}}$
$a_1 \cos\theta + b_1 \sin\theta +$ $a_3 \cos 3\theta + b_3 \sin 3\theta$ $\theta_0 = 0, \theta_1 = \frac{\pi}{4}$ $\theta_2 = \frac{\pi}{2}, \theta_3 = \frac{3\pi}{4}$	0 $\sqrt{2}$ -1 $\sqrt{2}$ $-\sqrt{2}$ 0 $\sqrt{2}$ -1 1 $-\sqrt{2}$ 0 $\sqrt{2}$ $-\sqrt{2}$ 1 $-\sqrt{2}$ 0	$\frac{1}{2}$ $\frac{\sqrt{2}}{4}$ 0 $-\frac{\sqrt{2}}{4}$ 0 $\frac{\sqrt{2}}{4}$ $\frac{1}{2}$ $\frac{\sqrt{2}}{4}$ $\frac{1}{2}$ $-\frac{\sqrt{2}}{4}$ 0 $\frac{\sqrt{2}}{4}$ 0 $\frac{\sqrt{2}}{4}$ $-\frac{1}{2}$ $\frac{\sqrt{2}}{4}$

Tabelul 4.2.

Polinom trigonometric	Matricea Γ
$a_1 \cos\theta + b_1 \sin\theta$ $\theta_0 = 0, \theta_1 = \frac{\pi}{2}$	0 -1 1 0
$a_1 \cos\theta + b_1 \sin\theta +$ $a_3 \cos 3\theta + b_3 \sin 3\theta$ $\theta_0 = 0, \theta_1 = \frac{\pi}{4}$ $\theta_2 = \frac{\pi}{2}, \theta_3 = \frac{3\pi}{4}$	0 $-\frac{\sqrt{2}}{3}$ $-\frac{1}{3}$ $-\frac{\sqrt{3}}{2}$ $\frac{\sqrt{3}}{2}$ 0 $-\frac{\sqrt{3}}{2}$ $-\frac{1}{3}$ $\frac{1}{3}$ $\frac{\sqrt{2}}{3}$ 0 $-\frac{\sqrt{2}}{3}$ $\frac{\sqrt{2}}{3}$ $\frac{1}{3}$ $\frac{\sqrt{2}}{3}$ 0

$$\check{X}^* = h I_{ln} \check{X} \quad (4.32)$$

unde I_{ln} este matricea integrală

$$I_m = \frac{1}{2} \begin{bmatrix} -1 & -1 & -1 & \dots & -1 \\ 1 & -1 & -1 & \dots & -1 \\ 1 & 1 & -1 & \ddots & -1 \\ \vdots & \vdots & \vdots & \ddots & \vdots \\ 1 & 1 & 1 & \dots & -1 \end{bmatrix} \quad (4.33)$$

- Matricea integrală de ordinul m se obține în forma:

$$I_{mn} = I_{ln}^m \quad (4.34)$$

4.3. Găsirea soluțiilor periodice ale circuitelor neliniare prin transformata în puncte:

Pentru găsirea soluțiilor periodice ale ecuațiilor diferențiale pentru circuite se trăg ^{cu} formulele de mai sus ecuațiile diferențiale la reprezentarea în puncte. Se obține un sistem de ecuații liniare dacă ecuațiile diferențiale au coeficienți constanți și un sistem de ecuații algebrice neliniare sau parametrice dacă ecuațiile diferențiale sunt neliniare sau parametrice. Rezolvând sistemul de ecuații se obține răspunsul în forma unei funcții în puncte. De exemplu dacă se dă ecuația diferențială neliniară:

$$\frac{dy}{dt} + x = f(t) \quad (4.35)$$

unde $f(t)$ este funcția periodică, $y(x)$ este funcția neliniară, atunci transformata în puncte a lui (4.35) are forma:

$$J\omega \check{y} + \check{x} = \check{f} \quad (4.36)$$

unde $\check{y} = [y(x_0), y(x_1) \dots y(x_{n-1})]^T$

Sistemul de ecuații (4.36) este neliniar și se poate rezolva în raport cu $x_0, x_1 \dots x_{n-1}$ prin metode iterative. După ce s-au determinat $x_0, x_1 \dots x_n$, coeficienții a_y, b_y ai polinomului trigonometric care aproximează funcția se determină cu formula

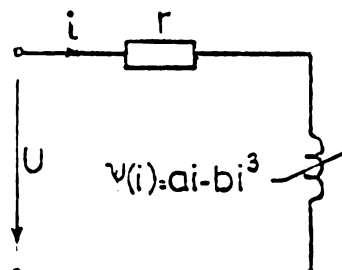
(4.20) . Se aplică transformata în puncte pentru rezolvarea circuitului R,L nelinier din fig.4.1. Caracteristica magnetică a bobinei se aproximează printr-un polinom :

$$\Psi(i) = ai - bi^3.$$

Ecuația diferențială a circuitului este:

$$u = ri + \frac{adi}{dt} - 3bi^2 \cdot \frac{di}{dt} \quad (4.37)$$

Ecuația (4.37) o transformăm într-o ecuație în puncte:



$$\check{U} = r\check{i} + J\omega a\check{i} - 3bJ\omega \check{I}^3 \quad (4.38)$$

Dacă semiperioada tensiunii sinusoidale se împarte în 4 părți, curentul se caută sub forma :

Fig.4.1. $i(t) = a_1 \cos \omega t + b_1 \sin \omega t + a_3 \cos 3\omega t + b_3 \sin 3\omega t \quad (4.39)$

In acest caz vectorii lui i și a lui u sint:

$$\check{i} = (i_0, i_1, i_2, i_3)_{tr}, \quad \check{U} = (u_0, u_1, u_2, u_3)_{tr}$$

Ecuația matricială a circuitului are forma

$$\begin{bmatrix} r & 0 & 0 & 0 \\ 0 & r & 0 & 0 \\ 0 & 0 & r & 0 \\ 0 & 0 & 0 & r \end{bmatrix} \begin{bmatrix} i_0 \\ i_1 \\ i_2 \\ i_3 \end{bmatrix} + \omega \begin{bmatrix} 0 & \sqrt{2}(a-3bi_1^2) & -(\alpha-3bi_2^2) & \sqrt{2}(a-3bi_3^2) \\ -\sqrt{2}(a-3bi_0^2) & 0 & \sqrt{2}(a-3bi_2^2) & (\alpha-3bi_3^2) \\ (\alpha-3bi_0^2) & -\sqrt{2}(a-3bi_1^2) & 0 & \sqrt{2}(a-3bi_3^2) \\ -\sqrt{2}(a-3bi_0^2) & (\alpha-3bi_1^2) & -\sqrt{2}(a-3bi_2^2) & 0 \end{bmatrix} \begin{bmatrix} i_0 \\ i_1 \\ i_2 \\ i_3 \end{bmatrix} = \begin{bmatrix} u_0 \\ u_1 \\ u_2 \\ u_3 \end{bmatrix}$$

Cu valorile numerice $U_m = 300$ V, $f = 50$ Hz, $r = 100 \Omega$, $a = 0,5$, $b = 0,02$ se obține ecuația matricială

$$\begin{bmatrix} 100 & (222 - 26,64i_1^2) & -(157 - 18,84i_2^2) & (222 - 26,64i_3^2) \\ -(222 - 26,64i_0^2) & 100 & (222 - 26,64i_2^2) & -(157 - 18,84i_3^2) \\ (157 - 18,84i_0^2) & -(222 - 26,64i_1^2) & 100 & (222 - 26,64i_3^2) \\ -(222 - 26,64i_0^2) & (157 - 18,84i_1^2) & -(222 - 26,64i_2^2) & 100 \end{bmatrix} \cdot \begin{bmatrix} i_0 \\ i_1 \\ i_2 \\ i_3 \end{bmatrix} = \begin{bmatrix} 0 \\ 212 \\ 300 \\ 212 \end{bmatrix}$$

Ecuatia (4.41) o rezolvam prin metoda iterativa

In prima aproximatie se negligeaza termenul nliniar
si se obtine sistemul

$$\begin{cases} 100 i_0 + 222 i_1 - 157 i_2 + 222 i_3 = 0 \\ -222 i_0 + 100 i_1 + 222 i_2 - 157 i_3 = 212 \\ 157 i_0 - 222 i_1 + 100 i_2 + 222 i_3 = 300 \\ -222 i_0 + 157 i_1 - 222 i_2 + 100 i_3 = 212 \end{cases} \quad (4.42)$$

Rezolvind (4.42) se obtine: $\tilde{i}^0 = (-1,387, -0,353, 0,860, 1,587)$ A.

Coefficienii seriei Fourier se determina prin formula
(4.20)

$$\begin{bmatrix} a_1 \\ b_1 \\ a_3 \\ b_3 \end{bmatrix} = \begin{bmatrix} \frac{1}{2} & \frac{\sqrt{2}}{4} & 0 & -\frac{\sqrt{2}}{4} \\ 0 & \frac{\sqrt{2}}{4} & \frac{1}{2} & \frac{\sqrt{2}}{4} \\ \frac{1}{2} & -\frac{\sqrt{2}}{4} & 0 & \frac{\sqrt{2}}{4} \\ 0 & \frac{\sqrt{2}}{4} & -\frac{1}{2} & \frac{\sqrt{2}}{4} \end{bmatrix} \cdot \begin{bmatrix} i_0 \\ i_1 \\ i_2 \\ i_3 \end{bmatrix} = \begin{bmatrix} -1,377 \\ 0,866 \\ 0 \\ 0 \end{bmatrix} \quad (4.43)$$

In pasul urmator se realizeaza calculul iterativ. Pentru ecuatia (4.42) locul lui i_0, i_1, i_2, i_3 il ia \tilde{i}^0 si se obtine sistemul de ecuatii pentru determinarea \tilde{i}^1 . Procesul de calcul se repetă pînă cînd se obtine precizia dorită. Rezultatul obinut prin calculul iterativ se dă în tabelul 4.3. In coloana 2 este redat

rezultatul obținut prin metoda transformatei în complex. El a fost comparat cu rezultatul obținut pe calculatorul analogic MEDA 42-TL. De remarcat că la transformata în complex procesul iterativ a fost oprit la pasul doi.

In continuare se prezintă aplicarea matricilor derivatei folosind deriveate centrate, $n = 2$. In cazul nostru pasul de împărțire este l_0 . Rezultă că matricea derivatei este:

$$D_{1,l_0} = \frac{1}{2} \begin{bmatrix} 0 & 1 & 0 & 0 & 0 & 0 & 0 & 0 & 0 & 1 \\ -1 & 0 & 1 & 0 & 0 & 0 & 0 & 0 & 0 & 0 \\ 0 & -1 & 0 & 1 & 0 & 0 & 0 & 0 & 0 & 0 \\ 0 & 0 & -1 & 0 & 1 & 0 & 0 & 0 & 0 & 0 \\ 0 & 0 & 0 & -1 & 0 & 1 & 0 & 0 & 0 & 0 \\ 0 & 0 & 0 & 0 & -1 & 0 & 1 & 0 & 0 & 0 \\ 0 & 0 & 0 & 0 & 0 & -1 & 0 & 1 & 0 & 0 \\ 0 & 0 & 0 & 0 & 0 & 0 & -1 & 0 & 1 & 0 \\ 0 & 0 & 0 & 0 & 0 & 0 & 0 & -1 & 0 & 1 \\ -1 & 0 & 0 & 0 & 0 & 0 & 0 & 0 & -1 & 0 \end{bmatrix}$$

Ecuatia diferențială (4.3f) în transformata în puncte este:

$$\ddot{u} = r\ddot{I} + \frac{1}{h} D\ddot{I} \cdot (a - 3b\dot{I}^2) \quad (4.44)$$

unde pasul $h = \frac{T}{2n} = \frac{1}{2n \cdot f}$, $U_m = 300V$, $f = 50$ Hz, $r = 100\Omega$, $a = 0,5$, $b = 0,01$

Problema se rezolvă prin metoda iterativă cu ajutorul calculatorului numeric. Ecuatia (4.44) devine:

$$\begin{bmatrix} a_{11} + (a_{12} - 3\delta i_2^2) + \dots + (a_{1,l_0} - 3\delta i_{l_0}^2) \\ (a_{21} - 3\delta i_1^2) + a_{22} + \dots + (a_{2,l_0} - 3\delta i_{l_0}^2) \\ \dots \dots \dots \\ (a_{l_0,1} - 3\delta i_1^2) + (a_{l_0,2} - 3\delta i_2^2) + \dots + a_{l_0,l_0} \end{bmatrix} \cdot \begin{bmatrix} i_1 \\ i_2 \\ \vdots \\ i_{l_0} \end{bmatrix} = \begin{bmatrix} b_1 \\ b_2 \\ \vdots \\ b_{l_0} \end{bmatrix} \quad (4.45)$$

Tabelul 4.2.

Rezultate prin metoda transformatiei in puncte si transformatiei in complex

N	Transformata in puncte						Transformata in complex		
	i_0	i_1	i_2	i_3	a_1	b_1	a_3	b_3	i (A)
1	-1,387	-0,353	0,860	1,587	-1,337	0,866	0	0	4,627sin($\omega t - 57^{\circ}50'$)
2	-1,366	-0,256	0,889	1,828	-1,419	1,000	-0,05	0,111	1,736sin($\omega t - 54^{\circ}49'$) + 0,121sin(3 $\omega t - 24^{\circ}25'$)
3	-1,283	-0,277	0,910	2,002	-1,448	1,063	0,167	0,152	1,796sin($\omega t - 53^{\circ}43'$) + 0,226sin(3 $\omega t + 47^{\circ}10'$)
4	-1,240	-0,270	0,896	2,056	-1,449	1,074	0,206	0,178	1,804sin($\omega t - 53^{\circ}27'$) + 0,272sin(3 $\omega t + 49^{\circ}10'$)

SCHEMA LOGICĂ DUPĂ METODA DERIVATEI ÎN CENTRU

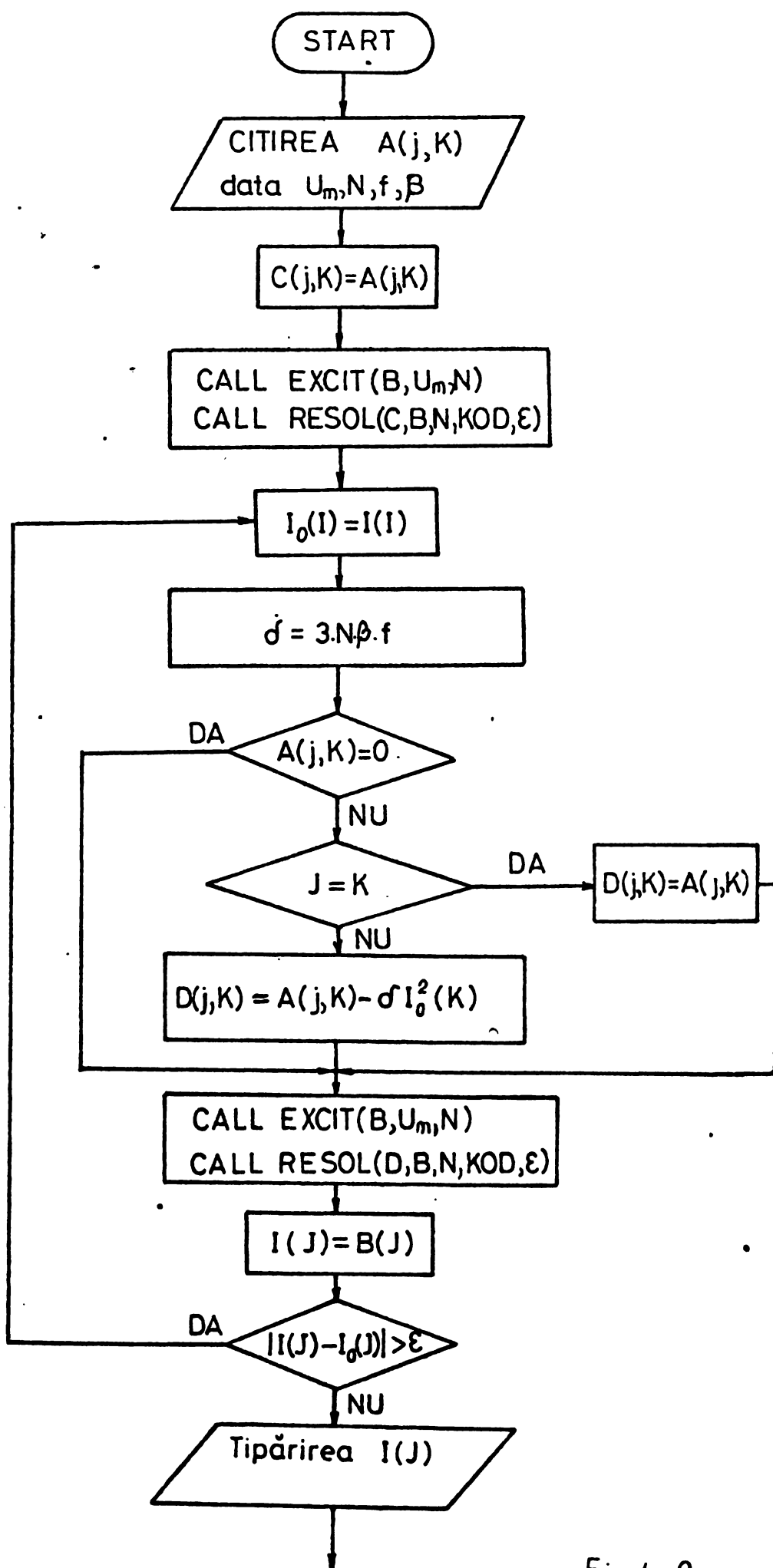


Fig.4-2

Pentru rezolvarea ecuației (4.45) se folosește schema logică în fig.4.2 unde programul principal se folosește instrucțiunea CALL RESOL (C, B, KOD, ε) pentru rezolvarea sistemului de ecuații liniare. În prima aproximatie se consideră că termenul neliniar este zero, se obține răspunsul I_0 , apoi se schimbă coeficienții a_{jk} și se folosește instrucțiunea CALL RESOL(D, B, KOD, ε) pentru rezolvarea sistemului de ecuații liniare și se obține răspunsul I în pasul doi. Procesul de calcul se oprește cînd $|I - I_0| \leq 10^{-2}$. Subprogramul EXCIT(B, N, U_m) se folosește pentru obținerea părții drepte a ecuației (4.45).

Răspunsul circuitului neliniar este:

$$I(1) = -1,342 \text{ A}$$

$$I(2) = -0,920 \text{ A}$$

$$I(3) = -0,463 \text{ A}$$

$$I(4) = 0,017 \text{ A}$$

$$I(5) = 0,515 \text{ A}$$

$$I(6) = 1,015 \text{ A}$$

$$I(7) = 1,504 \text{ A}$$

$$I(8) = 1,901 \text{ A}$$

$$I(9) = 1,969 \text{ A}$$

$$I(10) = 1,714 \text{ A}$$

4.4. Considerații generale despre transformata în complex.

Folosirea transformatei Laplace la găsirea soluțiilor ecuațiilor diferențiale neliniare prin metoda convoluției în complex [37] este laborioasă datorită integralelor ce intervin la determinarea soluțiilor. Trebuie să subliniem că pentru ecuații diferențiale liniare, metoda transformatei Laplace prezintă avantaj numai în cazuri cînd rădăcinile ecuațiilor caractristice sunt ușor de rezolvat.

Transformata în complex prezintă avantaje la rezolvarea problemelor circuitelor nelineare și parametrice. Prin definiție transformata directă în complex a funcției de variabile reale $f(t)$ periodică având perioada T este o funcție de variabilă complexă care se definește prin relația:

$$\dot{F}_v = \frac{j2}{T} \int_0^T e^{-j\nu\omega t} f(t) dt \quad (4.50)$$

unde \dot{F}_v este amplitudinea complexă a armonicii de ordinul v în intervalul $(0, T)$ și se numește imaginea complexă a lui $f(t)$.

Transformata complexă inversă a lui \dot{F}_v este originalul $f(t)$ care se determină prin seria Fourier care o aproximează.

$$f(t) = \frac{1}{2j} \sum_{v=-\infty}^{\infty} e^{j\nu\omega t} \quad \dot{F}_v = \frac{\dot{F}_0}{j2} + \sum_{v=1}^{\infty} F_v \sin(\nu\omega t + \angle_v) \quad (4.51)$$

Ca și în transformata Laplace notăm simbolul K , ca operator care realizează trecerea de la originalul $f(t)$ de variabilă reală la imaginea \dot{F}_v de variabilă pur imaginară $s = j\nu\omega$.

$$\dot{F}_v \doteq f(t) \quad \text{sau} \quad \dot{F}_v = K_v [f(t)]$$

Prin transformata complexă operațiunile diferențiale și integrale devin operații algebrice în domeniu de variabilă complexă. Rezolvarea ecuațiilor diferențiale cu coeficienți constanți prin transformata complexă se poate realiza fără determinarea rădăcinilor ecuațiilor caracteristice. Dacă coeficienții acestor ecuații sunt variabili, transformata în complex duce la rezolvarea ecuațiilor algebrice cu coeficienți variabili, iar pentru ecuații diferențiale nelineare transformata în complex duce la rezolvarea unor ecuații algebrice nelineare.

4.5. Proprietățile principale ale transformatei complexe [29] :

4.5.1. Liniaritatea: Transformata complexă a sumei dintre două funcții $f_1(t)$ și $f_2(t)$ este suma transformatoarelor funcțiilor.

$$\text{Fie } K_y [f_1(t)] = \dot{F}_{1y}$$

$$K_y [f_2(t)] = \dot{F}_{2y}$$

$$\text{atunci } K_y [f_1(t) \pm f_2(t)] = \dot{F}_{1y} \pm \dot{F}_{2y} \quad (4.52)$$

4.5.2. Transformata complexă a produsului funcțiilor originale.

$$\text{Fie } K_y [f(t)] = \dot{F}_y, \quad K_y [\varphi(t)] = \dot{\Phi}_y$$

$$\text{Atunci } K_y [f(t) \cdot \varphi(t)] = \frac{1}{2j} \sum_{n=-\infty}^{\infty} \dot{F}_{y-n} \dot{\Phi}_n = \frac{1}{2j} \sum_{n=-\infty}^{\infty} \dot{F}_n \dot{\Phi}_{y-n} \quad (4.52)$$

Proprietatea aceasta se folosește la găsirea imaginilor ecuațiilor neliniare sau parametrice. În cazul particular imaginea complexă a puterii are forma:

$$K_y [f^2(t)] = \frac{1}{j2} \sum_{n=-\infty}^{\infty} \dot{F}_{y-n} \dot{F}_n \quad (4.53)$$

$$K_y [f^3(t)] = \left(\frac{1}{j2}\right)^2 \sum_{r=-\infty}^{\infty} \sum_{n=-\infty}^{\infty} \dot{F}_{y-r} \dot{F}_{r-n} \dot{F}_n \quad (4.54)$$

$$\text{În general } K_y [f^m(t)] = \left(\frac{1}{j2}\right)^{m-1} \sum_{r=-\infty}^{\infty} \sum_{n=-\infty}^{\infty} \dot{F}_{y-r} \dots \dot{F}_n \quad (4.55)$$

4.5.3. Imaginea unei derivate:

Dacă funcția $f(t)$ are imaginea complexă \dot{F}_y și $f'(t) = \frac{df(t)}{dt}$ atunci:

$$K_y \left[\frac{df(t)}{dt} \right] = j\gamma\omega \dot{F}_y + j2 \frac{f_T e^{-j\gamma\omega t} - f_0}{T} \quad (4.56)$$

pentru funcția periodică de perioadă T , valoarea inițială f_0 și valoarea finală f_T sint identice $f_0 = f_T$ și rezultă

$$K_y \left[\frac{df(t)}{dt} \right] = j\gamma\omega \dot{F}_y ; \quad f_0 = f_T \quad (4.57)$$

In cazul general:

$$K_y \left[\frac{d^n f(t)}{dt^n} \right] = (j\gamma\omega) \dot{F}_y + (j\gamma\omega)^{n-1} \frac{j2}{T} \left[f_T - f_0 + \frac{f_T^{(1)} - f_0^{(1)}}{j\gamma\omega} + \dots \right. \\ \left. + \frac{f_T^{(n-1)} - f_0^{(n-1)}}{(j\gamma\omega)^{n-1}} \right] \quad (4.58)$$

pentru funcții periodice:

$$K_y \left[\frac{d^n f(t)}{dt^n} \right] = (j\gamma\omega)^n \dot{F}, \quad (4.59)$$

4. Imaginea unei integrale :

Dacă funcția $\varphi(t) = \int_{-\infty}^t f(t).dt$, imaginea lui $\varphi(t)$ are forma:

$$\dot{\varphi}(t) = \int_{-\infty}^t f(t).dt = \frac{\dot{F}}{j\gamma\omega} + \frac{\varphi_0 - \varphi_T}{j\gamma\omega T} \quad (4.60)$$

Metoda generală de rezolvare a regimurilor forțate periodice ale circuitelor neliniare prin transformata în complex.

general procesele în circuite neliniare sunt foarte complicate. În cazul cînd regimul forțat este practic sinusoidal, pentru determinarea soluțiilor periodice termenul neliniar $\varphi(x)$ înlocuiește cu coeficientul legăturii complexe care se definește în modul următor:

$$\dot{R}_y = \frac{K_y[\varphi(x)]}{\dot{x}_y} = \frac{\int_0^T e^{-j\gamma\omega t} \varphi(x) dt}{\int_0^T e^{-j\gamma\omega t} x(t).dt} \quad (4.61)$$

Cu ajutorul coeficientului în complex \dot{R}_y , ecuațiile diferențiale ale circuitelor neliniare devin ecuații algebrice cu rîme complexe, care se pot rezolva prin metode iterative. Pentru circuite neliniare, folosind teorema generatorului echivalent poate scrie

$$\dot{I} = \frac{\dot{E}}{Z + \bar{Z}} \quad (4.62)$$

$$\dot{U} = \frac{\dot{J}}{Y + \bar{Y}} \quad (4.63)$$

unde \dot{I} , \dot{U} sunt curentul, respectiv tensiunea în complex \bar{Z} , \bar{Y} sint impedanța, respectiv admitanța în complex a elementului neliniar.

Rezolvarea circuitelor nelineare în regim forțat se face parcurgînd următoarele etape:

- 1) Se scriu ecuațiile integro-diferențiale ale circuitelor nelineare prin teoremele lui Kirchhoff.
- 2) Se folosește transformata în complex pentru ecuațiile scrise mai sus ținînd seamă că în regim periodic $f_0 = f_T$.
- 3) Se calculează coeficienții legăturii în complex pentru fiecare armonică. De exemplu dacă termenul nelinier este de forma $u = bi^3$ coeficientul legăturii în complex se scrie:

$$\dot{R}_v = \frac{-b\left(\frac{1}{j2}\right)^2 \sum_{r=0}^{\infty} \sum_{n=-\infty}^{\infty} i_{-r} i_{r-n} i_n}{i_v} \quad (4.65)$$

În prima aproximatie se consideră numai armonica fundamentală a curentului, coeficientul legăturii în complex are forma:

$$\dot{R}_1^0 = \frac{b\left(\frac{1}{j2}\right)^2 \sum_{r=0}^{\infty} \sum_{n=-\infty}^{\infty} i_{-1-r} i_{r-n} i_n}{i_1} = \frac{3}{4} b I_1^2 \quad (4.66)$$

unde $i_{-1} = -\hat{i}_1$. Notăm \hat{i}_1 - conjugata lui i_1 , iar coeficientul legăturii complexe pentru armonica a treia este:

$$\dot{R}_3^0 = \frac{b\left(\frac{1}{j2}\right)^2 \sum_{r=0}^{\infty} \sum_{n=-\infty}^{\infty} i_{-3-r} i_{r-n} i_n}{i_3} = \frac{3}{4} b I_1^2 + \frac{3}{4} b I_3^2 - \frac{1}{4} b \frac{i_1^3}{i_3} \quad (4.67)$$

Cu ajutorul lui \dot{R}_1^0 , \dot{R}_3^0 se calculează armonicele curentului \dot{i}_1^0 , \dot{i}_3^0 corespunzător primei aproximării.

În pasul următor se consideră că

$$\dot{R}_1^1 = f_1(i_1^0, i_3^0)$$

$$\dot{R}_3^1 = f_2(i_1^0, i_3^0)$$

Folosînd \dot{R}_1^1 , \dot{R}_3^1 se calculează armonicele curentului \dot{i}_1^1, \dot{i}_3^1 .

Procesul de calcul iterativ se repetă pînă cînd se obține precizia dorită.

Exemplu de calcul:

Exemplul 1. Se studiază circuitul prezentat din fig. 3.11 (cap. 3) prin metoda transformatei în complex.

Rezolvare:

Ecuația diferențială a circuitului este:

$$u = r_0 i + L \frac{di}{dt} + u(i) = (r_0 + a)i + L \frac{di}{dt} - bi^3$$

Cu transformata în complex ecuația devine:

$$\dot{U}_v = [(r_0 + a) + j\sqrt{\omega}L] \dot{i}_v - b \left(\frac{1}{j2}\right)^2 \sum_{n=1}^{\infty} \sum_{m=1}^{\infty} \dot{i}_v - r_i \dot{i}_{r-n} \dot{i}_n$$

$$\text{unde } \dot{U}_v = \begin{cases} \dot{U}_m = 35,35 \angle 0^\circ & \text{cînd } \vartheta = 1 \\ 0 & \text{cînd } \vartheta \neq 1 \end{cases}$$

In prima aproximatie cu (4.66) se obține armonica fundamentală.

$$\dot{i}_1^0 = \frac{\dot{U}}{r_0 + a + j\omega L + R_{01}} = \frac{\dot{U}_1}{r_0 + a + j\omega L - \frac{3bI_1^2}{4}} = \frac{35,35 \angle 0^\circ}{57 + j15,7 - 22,5I_1^0}$$

Prinț-o metodă iterativă se găsește: $\dot{i}_1^0 = 0,243 \angle -19^\circ 15'$ A

Ecuația armonicii de ordinul trei are forma

$$0 = (r_0 + a + j3\omega L)\dot{i}_3^0 + R_3^0 \dot{i}_3^0, \text{ cu formula (4.67) rezultă:}$$

$$\dot{i}_3^0 = \frac{-\frac{b}{4} \dot{i}_1^3}{r_0 + a + j3\omega L - \frac{3}{4} b\dot{i}_1^0 - \frac{3}{4} b\dot{i}_3^0} = \frac{-3,076 \angle -57^\circ 45}{44,67 + j47,1 - 22,5 I_3^2} A$$

Prinț-o metodă iterativă se găsește $\dot{i}_3^0 = 0,050 \angle -44^\circ 16'$ A

In a doua aproximatie avem

$$\dot{i}_1^1 = \frac{\dot{U}_1}{r_0 + a + j\omega L - \frac{3}{4} b\dot{i}_1^0 - \frac{b}{4} \dot{i}_1^2 \dot{i}_3^0 - \frac{3}{4} \frac{b}{3} \dot{i}_1^2} = \frac{35,35 \angle 0^\circ}{57 + j15,7 - 22,87 I_1^2 - 0,375 I_1^2} A$$

Prinț-o metodă iterativă se găsește: $\dot{I}_1^1 = 0,746 \angle -19^\circ 42' A$

$$\dot{I}_3^1 = \frac{-\frac{b}{4} \dot{I}_1^3}{r_0 + a + j3\omega L - \frac{3b}{4} I_1^2 - \frac{3b}{4} I_3^2} = \frac{-3,113 \angle -59^\circ 06'}{44,48 + j471,1 - 22,5 I_3^2}$$

Prinț-o metodă iterativă se găsește $\dot{I}_3^1 = 0,051 \angle -45^\circ 44' A$

Rezultă $i(t) = 0,746 \sin(\omega t - 19^\circ 42') + 0,051 \sin(3\omega t - 45^\circ 44') A$

Exemplul 2. Se rezolvă problema în fig.4.1 prin transformata în complex.

Rezolvare:

Ecuatia diferențială a circuitului este:

$$u = ri + a \frac{di}{dt} - 3bi^2 \frac{di}{dt}$$

Cu transformata complexă se obține:

$$\dot{U}_v = (r + j\omega a) \dot{I}_v - b \left(\frac{1}{j2} \right)^2 j\omega \sum_{r=1}^{\infty} \sum_{n=r}^{\infty} \dot{I}_{v-r} \dot{I}_{r-n} \dot{I}_n$$

Coeficientul legăturii în complex devine:

$$\dot{R}_v = \frac{-j \frac{b}{4} \omega \sum_{r=1}^{\infty} \sum_{n=r}^{\infty} \dot{I}_{v-r} \dot{I}_{r-n} \dot{I}_n}{\dot{I}_v}$$

In prima aproximatie

$$\dot{R}_1^0 = j \frac{3}{4} \omega b I^2$$

$$\dot{I}_1^0 = \frac{\dot{U}_1}{r + j\omega \left(a - \frac{3b}{4} I_1^2 \right)} = \frac{300 \angle 0^\circ}{100 + j(157 - 4,71 I_1^0)^2}$$

Folosind metoda iterativă se obține: $\dot{I}_1^0 = 1,72 \angle -55^\circ 04' A$

$$\dot{I}_3^0 = \frac{-j \frac{9}{4} b \omega \dot{I}_1^3}{r + j3\omega a - j \frac{9}{4} b \omega I_1^2 - j \frac{9}{4} b \omega I_3^2} = \frac{-j 71,79 \angle -165^\circ 12'}{100 + j(387 - 41,8 I_3^2)}$$

Prinț-o metodă iterativă se obține $\dot{I}_3^0 = 0,184 \angle 41^\circ 28' A$

În a doua aproximare avem:

$$\dot{I}_1^1 = \frac{\dot{U}_1}{r + j\omega(a - \frac{3}{4}bI_1^2 - \frac{b}{4}I_1 I_3 - \frac{3}{4}bI_3^2)} = \frac{300 \angle 0^\circ}{100 + j(152,5 - 4,71I_1^2)} =$$

Prinț-o metodă iterativă se obține $\dot{I}_1^1 = 1,78 \angle -54^\circ 40'$ A

$$\dot{I}_3^1 = \frac{-j\frac{9}{4}\omega b\dot{I}_1^3}{r + j3\omega(a - \frac{3}{4}bI_1^2 - \frac{3}{4}bI_3^2)} = \frac{-j79,68 \angle -166^\circ}{100 + j(385 - 41,8I_3^2)}$$

Prinț-o metodă iterativă se obține $\dot{I}_3^1 = 0,201 \angle 42^\circ 35'$ A

Rezultă $i(t) = 1,78\sin(\omega t - 54^\circ 40') + 0,201\sin(3\omega t + 42^\circ 35')A$

In [5] se prezintă metoda transformatei complexe folosind ideile transformatei în puncte. Metoda transformatei în puncte permite să se calculeze curentul nesinusoidal în circuitele nelineare dar ea are dezavantajul determinat de necesitatea de a rezolva sisteme de ecuații algebrice de grad superior. In metoda transformatei în puncte nu trebuie să folosim expresia analitică a caracteristicilor elementelor nelineare. Este suficient să se cunoască din tabel sau grafic 6 - 8 puncte ale ei. Transformata complexă se scrie într-o formă adecvată prin exprimarea parametrilor cu ajutorul transformatei în puncte.

De exemplu în circuitul cu rezistență nelinieră (fig. 3.11)

[5] rezistența complexă se scrie sub forma:

$$\dot{R}_v = \frac{j^2}{\dot{I}_v T} \int_0^T e^{-j\gamma\theta} U \left(\frac{1}{j^2} \sum_{n=-\infty}^{\infty} e^{jn\theta} \dot{I}_n \right) dt \quad (4.68)$$

Circuitul din fig. 3.13 conduce la ecuația :

$$\dot{E}_v = (Z_0 + \dot{R}_v) \dot{I}_v; \quad v = 1, 2, 3 \dots \quad (4.69)$$

Soluția se caută sub forma :

$$i(t) = a_1 \cos \theta + b_1 \sin \theta + a_3 \cos 3\theta + b_3 \sin 3\theta \quad (4.70)$$

In prima aproximatie se ia:

$$i_0(t) = 1 \cos \theta + 0,1 \cos 3\theta$$

si deci vectorul amplitudinilor este:

$$\vec{I}_0 = \begin{bmatrix} 0 \\ 1,0 \\ 0 \\ 0,1 \end{bmatrix} \quad \vec{i} = \begin{bmatrix} 0 \\ 0,778 \\ 0,9 \\ 0,778 \end{bmatrix} \quad \vec{U}_0 = \begin{bmatrix} 0 \\ 22,8 \\ 24,0 \\ 22,8 \end{bmatrix} \quad \vec{U}_0 = \begin{bmatrix} 0 \\ 28,1 \\ 0 \\ 4,1 \end{bmatrix}$$

$$\text{unde } \vec{i} = W^{-1} \cdot \vec{I}_0$$

$$\vec{U}_0 = W^{-1} \cdot \vec{U}_0$$

matricea W se da in tabelul 4

Rezistența neliniară pentru fiecare armonică se calculează

cu :

$$R_1 = \frac{\dot{U}_1}{\dot{i}_1} = 28,1 \Omega$$

$$Z_1 = Z_0 + R_1 = 12 + j15,7 + 28,1 = 43,1 \angle 21^{\circ}26'$$

$$\dot{i}_{11} = \frac{\dot{E}_1}{Z_1} = \frac{-35,35}{43,1 \angle 21^{\circ}26'} = (0,765 - j0,301) A$$

$$\dot{i}_{31} = -\frac{\dot{U}_{30}}{Z_3} = \frac{-4,1}{48,65 \angle 75^{\circ}43'} = (-0,021 + j0,082) A$$

In noua aproximatie vectorul amplitudinilor va fi

$$\vec{I}_1 = \begin{bmatrix} -0,301 \\ 0,765 \\ 0,082 \\ 0,021 \end{bmatrix}$$

Dupa 5 iteratii se obtine $i_1 = 0,735 \angle -19^{\circ}3' A$,

$i_3 = 0,062 \angle 60^{\circ}57' A$.

CAPITOLUL V.

METODA OPERATIONALA PENTRU STUDIUL REGIMURILOR FORTEATE .

5.1. Consideratii generale.

Metodele operaționale se folosesc pe larg pentru studiul circuitelor electrice liniare și prezintă avantaje mari față de metodele clasice. Pentru studiul circuitelor neliniare în cazul cînd neliniaritățile sunt sub formă de produs sau polinomiale, în [37] se prezintă metoda convoluției în planul complex. Metoda convoluției în planul complex este o metodă ^{iterativă} pentru imaginile operaționale și oferă o soluție analitică și pentru aceasta posibilitatea de a studia circuite neliniare, sisteme dinamice neliniare. Trebuie să remarcăm că calculul integralelor de convoluție are nevoie de un volum de calcul laborios. În [50] se prezintă metoda operațională la găsirea soluțiilor periodice cînd caracteristicile neliniare se aproximează prin segmente de dreaptă. Pentru studiul regimurilor periodice în circuite liniare metoda operațională este binecunoscută [18].

În capitolul acesta vom prezenta teoremele principale ale transformatei Laplace pe o perioadă, de asemenea se prezintă o metodă iterativă pentru găsirea soluțiilor forțate folosind transformata Laplace pe o perioadă.

5.2. Integrala Fourier generală [18]

O funcție poate fi dezvoltată în integrală Fourier dacă îndeplinește condițiile lui Dirichlet și este absolut integrabilă. Rezultă de aici că funcțiile periodice, datorită ultimei condiții, nu admit o dezvoltare în integrală Fourier și deci nici transformata Fourier.

In matematică se apreciază cu integrala Fourier generalizată, definită după cum urmează:

Dacă $\varphi(t)$ nu satisface condiția de integrabilitate absolută dar le satisface pe cele ale lui Dirichelet, se alege $\sigma_1 > 0$ astfel că funcția $e^{-\sigma_1 t} \varphi(t)$ să fie absolut integrabilă în intervalul $0 < t < \infty$ și deci admite transformata Fourier.

$$\Phi_+(\omega) = \int_0^\infty \varphi(t) e^{-\sigma_1 t} e^{-j\omega t} dt \quad (5.1)$$

Dacă se calculează transformata inversă și se înmulțește cu $e^{\sigma_1 t}$ avem:

$$e^{\sigma_1 t} \cdot \frac{1}{2\pi} \int_{-\infty}^\infty \Phi_+(\omega) e^{j\omega t} d\omega = \begin{cases} \varphi(t) & (t > 0) \\ 0 & (t < 0) \end{cases} \quad (5.2)$$

Analog se alege $\sigma_2 < 0$ astfel încât $e^{-\sigma_2 t} \varphi(t)$ este absolut integrabilă în intervalul $(-\infty, 0)$. Ca urmare ea admite transformata Fourier de forma:

$$\Phi_-(\omega) = \int_{-\infty}^0 \varphi(t) e^{-\sigma_2 t} e^{-j\omega t} dt \quad (5.3)$$

iar originalul va fi :

$$e^{\sigma_2 t} \cdot \frac{1}{2\pi} \int_{-\infty}^0 \Phi_-(\omega) e^{j\omega t} d\omega = \begin{cases} 0 & (t > 0) \\ \varphi(t) & (t < 0) \end{cases} \quad (5.4)$$

Ca urmare:

$$\varphi(t) = \frac{1}{2\pi} \left[\int_{-\infty}^0 \Phi_-(\omega) e^{(\sigma_2 + j\omega)t} d\omega + \int_{-\infty}^\infty \Phi_+(\omega) e^{(\sigma_1 + j\omega)t} d\omega \right] \quad (5.5)$$

Așa dar dacă $\Phi_+(\omega)$ și $\Phi_-(\omega)$ sunt definite cu relațiile (5.1) și (5.3) atunci $\varphi(t)$ este dat de relația (5.5).

Relațiile menționate constituie generalizarea transformatei Fourier. Dacă în continuare se fac notățiile:

$$p_1 = \sigma_1 + j\omega \text{ și } p_2 = \sigma_2 + j\omega \text{ unde } \sigma_1 > 0, \sigma_2 < 0$$

$$\bar{\varphi}_+(p) = \int_0^\infty \varphi(t) e^{-pt} dt, \quad \bar{\varphi}_-(p) = \int_{-\infty}^0 \varphi(t) e^{-pt} dt \quad (5.6)$$

atunci:

$$\varphi(t) = \frac{1}{2\pi j} \left[\int_{\sigma_1-j\infty}^{\sigma_1+j\infty} \bar{\Psi}_+(p) e^{pt} dp + \int_{\sigma_2-j\infty}^{\sigma_2+j\infty} \bar{\Psi}_-(p) e^{pt} dp \right] \quad (5.7)$$

Relațiile (5.6) sunt generalizări ale transformatei Laplace iar relația (5.7) este teorema lui Mellin-Fourier generalizată.

Mărimele σ_1 și σ_2 sunt arbitrară, singura condiție impusă este aceea de a asigura integrabilitatea funcțiilor menționate în intervalele respective. Dacă σ_{10} și σ_{20} sunt valori minime care satisfac condiția, atunci σ_1 și σ_2 pot lua orice valori dacă $\sigma_1 > \sigma_{10}$ și $\sigma_2 < \sigma_{20}$. Rezultă astăzi că funcțiile definite de (5.6) există ca variabile de p, prima în tot planul pentru care $\text{Re}p > \sigma_{10}$, iar a doua pentru toate variabilele lui p pentru care $\text{Re}p < \sigma_{20}$.

Un caz special, care interesează în mod deosebit este următorul: Fie $F(p)$ o funcție analitică de variabilă complexă $p = \sigma + j\omega$. Dacă $\bar{\Psi}_+(p)$ și $\bar{\Psi}_-(p)$ satisfac condițiile:

$$\bar{\Psi}_+(p) = F(p) \text{ pentru } \text{Re}p > \sigma_{10} \text{ și}$$

$$\bar{\Psi}_-(p) = -F(p) \text{ pentru } \text{Re}p < \sigma_{20}$$

atunci funcțiile $\bar{\Psi}_+(p)$ și $\bar{\Psi}_-(p)$ se numesc una prelungirea analitică a celeilalte.

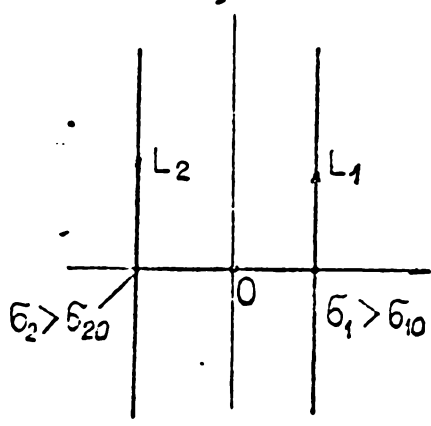
Dacă condiția este îndeplinită, atunci:

$$\varphi(t) = \frac{1}{2\pi j} \left[\int_{\sigma_1-j\infty}^{\sigma_1+j\infty} F(p) e^{pt} dp - \int_{\sigma_2-j\infty}^{\sigma_2+j\infty} F(p) e^{pt} dp \right] = \frac{1}{2\pi j} \int_L \varphi(t) e^{pt} dp \quad (5.8)$$

Conturul de integrare fiind cel din figura 5.1, unde $L = L_1 \cup L_2$

In continuare vom demonstra că funcțiile periodice satisfac condiția de prelungire analitică $F(p)$ fiind tocmai transformata Laplace a funcției originale $f(t), \varphi(t)$, unde $\varphi(t)$ este o funcție periodică.

In adăvăr: $\bar{\varphi}_+(p) = \mathcal{L}[f(t) \cdot \varphi(t)] = F(p)$ (5.9)



$$F(p) = \sum_{k=0}^{\infty} \int_{kT}^{(k+1)T} \varphi(t) \cdot e^{-pt} dt \text{ cu } \tau = t - kT \quad (5.10)$$

$$\begin{aligned} F(p) &= \sum_{k=0}^{\infty} e^{-pkT} \int_0^T \varphi(\tau) e^{-p\tau} d\tau = \sum_{k=0}^{\infty} e^{-kT} \varphi_T(p) \\ &= \varphi_T(p) \sum_{k=0}^{\infty} e^{-pkT} = \frac{\varphi_T(p)}{1 - e^{-pT}} \end{aligned} \quad (5.11)$$

Fig.5.1.

$$\varphi_-(p) = \sum_{k=0}^{\infty} \int_{-(k+1)T}^{-kT} \varphi(t) e^{-pt} dt = - \frac{\varphi_T(p)}{1 - e^{-pT}} = -F(p) \quad (5.12)$$

Că urmăre

$$\varphi(t) = \frac{1}{2\pi j} \int_L^{\infty} F(p) e^{pt} dp = \frac{1}{2\pi j} \int_L^{\infty} \frac{\varphi_T(p) e^{pt}}{1 - e^{-pT}} dp \quad (5.13)$$

Interesează deci teoremele pe care le satisface transformata pe o perioadă.

5.3. Teoremele principale ale transformatei Laplace pe o perioadă:

5.3.1. Teorema derivatei. [19]

$$\begin{aligned} \int_0^T \frac{df}{dt} e^{-pt} dt &= f(T) e^{-pT} \Big|_0^T + p \int_0^T f(t) e^{-pt} dt \\ &= f(T) e^{-pT} - f(0) + p \cdot F_T(p) \end{aligned} \quad (5.14)$$

Pentru funcția periodică $f(T) = f(0)$ rezultă

$$\mathcal{L}_T\left(\frac{df}{dt}\right) = p \mathcal{L}_T(f) - f(0) \left[1 - e^{-pT} \right] \quad (5.15)$$

Mai departe acum:

$$\begin{aligned} \mathcal{L}_T\left(\frac{d^2f}{dt^2}\right) &= \mathcal{L}_T\left(\frac{d}{dt}f'\right) = p \mathcal{L}_T\left(\frac{df}{dt}\right) - f'(0) \left[1 - e^{-pT} \right] \\ &= p \left[p \mathcal{L}_T(f) - f(0)(1 - e^{-pT}) \right] - f'(0) \left[1 - e^{-pT} \right] \end{aligned}$$

rezultă :

$$\mathcal{L}_T\left(\frac{d^2f}{dt^2}\right) = p^2 \mathcal{L}_T(f) - (1 - e^{-pT}) \left[pf(0) + f'(0) \right] \quad (5.16)$$

In cazul general:

$$\mathcal{L}_T \left(\frac{d^n f}{dt^n} \right) = p^n \mathcal{L}_T(f) - (1 \cdot e^{-pT}) [p^{n-1} f(0) + p^{n-2} \cdot f'(0) \dots \\ \dots + p^{(n-2)} f^{(n-2)}(0) + f^{(n-1)}(0)] \quad (5.17)$$

5.3.2. Teorema integralei:

$$f(t) = \int q(t) \cdot dt \text{ rezultă } \frac{df}{dt} = q(t)$$

Din teorema derivatei se obține:

$$\mathcal{L}_T \left[\frac{df}{dt} \right] = p \mathcal{L}_T(f) - f(0) [1 \cdot e^{-pT}] \\ \mathcal{L}_T(f) = \frac{1}{p} \mathcal{L}_T[q(t)] + \frac{f(0)}{p} [1 \cdot e^{-pT}] \quad (5.17)$$

5.3.3. Teorema deplasării:

Se referă la originalul funcției $F_T(p-q)$

$$F_T(p-q) = \int_0^T f(t) e^{-(p-q)t} dt = \int_0^T [f(t) e^{qt}] e^{-pt} dt \quad (5.18)$$

Funcția $e^{qt} f(t)$ definită în intervalul $(0, T)$ deci:

$$F_T(p-q) = \mathcal{L}_T [f(t) \cdot e^{qt}] \quad (5.19)$$

5.3.4. Teorema puterii unei funcții originale

O funcție periodică ridicată la o putere reprezintă tot o funcție periodică.

Să calculăm imaginea Laplace periodică a puterii $\mathcal{L}_T[f^2(t)]$

$$f(t) = \frac{1}{2\pi j} \int_{-1-e^{-qT}}^{F_T(q) e^{qt}} dq \quad (5.20)$$

care se înmulțește cu $f(t)$

$$f^2(t) = \frac{1}{2\pi j} \int_{-1-e^{-qT}}^{F_T(q) e^{qt}} e^{qt} \cdot f(t) \cdot dq \quad (5.21)$$

Se ține seama de teorema deplasării

$$e^{qt} \cdot f(t) = \mathcal{L}_T^{-1} F_T(p-q) \quad (5.22)$$

și deci avem :

$$f^2(t) = \frac{1}{2\pi j} \int_{l-e^{-qT}}^{\infty} F_T(q) dq \cdot \frac{1}{2\pi j} \int_{l-e^{-(p-q)T}}^{\infty} e^{pt} dp \quad (5.23)$$

$$= \frac{1}{2\pi j} \left[\frac{1}{2\pi j} \int_{(l-e^{-qT})(l-e^{-(p-q)T})}^{\infty} F_T(q) \cdot F_T(p-q) dq \cdot (l-e^{-pT}) \right] \frac{e^{pt} dp}{l-e^{-pT}} \quad (5.24)$$

Comparînd cu (5.11) rezultă:

$$\mathcal{L}_T[f^2(t)] = (l-e^{-pT}) \frac{1}{2\pi j} \int_{(l-e^{-qT})(l-e^{-(p-q)T})}^{\infty} \frac{F_T(q) \cdot F_T(p-q)}{(l-e^{-qT})(l-e^{-(p-q)T})} dq \quad (5.25)$$

In mod analog calculăm $\mathcal{L}_T[f^3(t)]$:

$$\mathcal{L}_T[f^3(t)] = \mathcal{L}_T[f^2(t) \cdot f(t)] = (l-e^{-pT}) \cdot \frac{1}{2\pi j} \int_{(l-e^{-q_1 T})(l-e^{-(p-q_1)T})}^{\infty} \frac{F_T(q_1) \cdot \psi(p-q_1) \cdot dq_1}{(l-e^{-q_1 T})(l-e^{-(p-q_1)T})} \quad (5.26)$$

unde

$$\psi_T(p) = (l-e^{-pT}) \cdot \frac{1}{2\pi j} \int_{(l-e^{-q_2 T})(l-e^{-(p-q_2)T})}^{\infty} \frac{F_T(q_2) - F_T(p-q_2)}{(l-e^{-q_2 T})(l-e^{-(p-q_2)T})} dq_2 \quad (5.27)$$

$$\psi_T(p-q_1) = (l-e^{-(p-q_1)T}) \frac{1}{2\pi j} \int_{(l-e^{-q_2 T})(l-e^{-(p-q_1-q_2)T})}^{\infty} \frac{F_T(q_2) F_T(p-q_1-q_2) dq_2}{(l-e^{-q_2 T})(l-e^{-(p-q_1-q_2)T})} \quad (5.28)$$

Inlocuind (5.28) în (5.26) se obține:

$$\begin{aligned} \mathcal{L}_T[f^3(t)] &= (l-e^{-pT}) \frac{1}{2\pi j} \int_{(l-e^{-q_1 T})(l-e^{-(p-q_1)T})}^{\infty} \frac{F_T(q_1)}{(l-e^{-q_1 T})(l-e^{-(p-q_1)T})} \cdot \\ &\cdot \frac{(l-e^{-(p-q_2)T})}{2\pi j} \int_{(l-e^{-q_2 T})(l-e^{-(p-q_1-q_2)T})}^{\infty} \frac{F_T(q_2) \cdot F_T(p-q_1-q_2) dq_2 \cdot dq_1}{(l-e^{-q_2 T})(l-e^{-(p-q_1-q_2)T})} = \\ &= (l-e^{-pT}) \frac{1}{(2\pi j)^2} \int_{(l-e^{-q_2 T})}^{\infty} \frac{F_T(q_2) dq_2}{(l-e^{-q_2 T})} \int_{(l-e^{-q_1 T})(l-e^{-(p-q_1)T})}^{\infty} \frac{(l-e^{-(p-q_1)T}) \cdot F_T(q_1) \cdot F_T(p-q_1-q_2) dq_1}{(l-e^{-q_1 T})(l-e^{-(p-q_1)T})(l-e^{-(p-q_1-q_2)T})} \end{aligned} \quad (5.29)$$

5.4. Calculul soluțiilor permanente periodice prin metoda transformatei Laplace pentru circuite liniare [1].

Pentru a stabili metoda ne vom referi la ecuația de gradul doi.

$$\frac{d^2y}{dt^2} + \frac{ad}{dt}y + by = f(t) \quad (5.30)$$

unde $f(t)$ este o funcție periodică avînd perioada T_0 .

Să calculează transformata pe o perioadă a ecuației (5.30) toate funcțiile fiind periodice:

$$p^2 Y_T(p) - (1 - e^{-pT}) [py(0) + y'(0)] + apY_T(p) - ay(0) [1 - e^{-pT}] +$$

$$+ bY_T(p) = F_T(p) \quad (5.31)$$

$$Y_T(p) [p^2 + ap + b] = F_T(p) + (1 - e^{-pT}) [py(0) + y'(0) + ay(0)] \quad (5.32)$$

Rezultă:

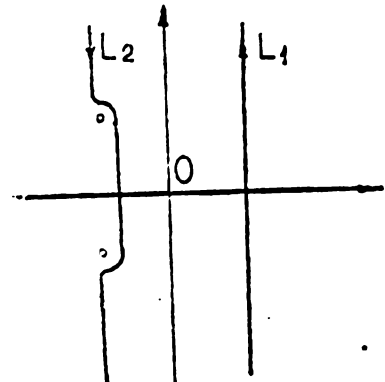
$$Y_T(p) = \frac{F_T(p)}{p^2 + ap + b} + \frac{(1 - e^{-pT}) [py(0) + y'(0) + ay(0)]}{p^2 + ap + b} \quad (5.34)$$

Pentru găsirea originalului periodic observăm că soluția permanentă nu poate depinde de valorile $y(0)$ și $y'(0)$, motiv pentru care al doilea termen deci $y_T(p)$ nu va duce o contribuție la valoarea integralei. Acest lucru se obține dacă conturul L nu cuprindă polii determinați de ecuația $p^2 + ap + b = 0$ ceea ce se realizează deformînd corespunzător conturul de integrare (vezi fig.5.2). Cu aceste observații :

$$y(t) = \frac{1}{2\pi j} \int_{\Gamma} \frac{F_T(p)e^{pt}}{(1 - e^{-pT})(p^2 + ap + b)} dp \quad (5.35)$$

In aplicații calculele se automatizează în sensul că în expresiile derivatei și integralei nu se mai ține seamă de termeni care conțin pe $y(0)$ și $y'(0)$ adică derivata se înlocuiește cu $p^n y_T(p)$ iar integrala cu $\int_p y_T(p)$. Din sistemul obținut se calculează $y_{\lambda T}(p)$ în funcție de $F_{\lambda T}(p)$. Etapa următoare constă în calculul integralei care intervine în (5.35) cu alegerea corespunzătoare a conturului de integrare.

5.5. Calculul soluțiilor forțate



ale circuitelor neliniare

prin metoda transformatei

Laplace pe o perioadă.

Pentru calculul soluțiilor forțate

ale circuitelor neliniare mai întii se scriu ecuațiile diferențiale ale circuitelor prin

Gig.5.2. teoremele lui Kirchhoff. Se trăc ecuațiile diferențiale în ecuații operaționale cu ajutorul transformatei Laplace pe o perioadă ținând seamă că condițiile inițiale sunt nule. Dacă termenul neliniar este sub formă unui polinom ecuațiile operaționale se pot rezolva prin metoda iterativă.

Se dă ecuația diferențială de gradul doi cu un termen neliniar mic cy^2 .

$$\frac{d^2y}{dt^2} + \frac{ady}{dt} + by + cy^2 = f(t) \quad (5.36)$$

Aplicînd transformata operațională pe o perioadă se obține:

$$Y_T(p)Z(p) = F_T(p) - C\mathcal{L}_T(y^2)$$

$$\text{unde } Z(p) = p^2 + ap + b$$

$$Y_T(p) = \mathcal{L}_T[y(t)]$$

$$F_T(p) = \mathcal{L}_T[f(t)]$$

Pentru găsirea originalului $y(t)$ folosind formula (5.13)

se obține:

$$y(t) = \frac{1}{2\pi j} \int_{-j\infty}^{+j\infty} \frac{F_T(p)e^{pt}}{(1-e^{-pT})Z(p)} dp - \frac{C}{2\pi j} \int_{-j\infty}^{+j\infty} \frac{\mathcal{L}_T(y^2)e^{pt}}{Z(p)(1-e^{-pT})} dp \quad (5.37)$$

Să vede ușor că termenul întii al ecuației (5.37) este soluția generatoare a ecuației (5.36) care poate fi determinat prin ecuația (5.35), iar termenul al doilea al ecuației (5.37) este un termen corectiv care poate fi determinat prin metoda iterativă.

In care conturul de integrare L nu închide zerourile funcției $Z(p)$.

Algoritmul de calcul iterativ este următorul:

In cazul cind $c = 0$ se determină soluția liniarizată:

$$y_0(t) = \frac{1}{2\pi j} \int_L \frac{F_T(p)e^{pt}}{Z(p)(1-e^{-pT})} dp$$

Procedînd din aproape în aproape rezultă sirul:

$$\begin{cases} y_1(t) = y_0(t) - \frac{c}{2\pi j} \int_L \frac{\mathcal{L}_T(y_0^2)e^{pt}}{Z(p)(1-e^{-pT})} dp \\ \dots \\ y_n(t) = y_{n-1}(t) - \frac{c}{2\pi j} \int_L \frac{\mathcal{L}_T(y_{n-1}^2)e^{pt}}{Z(p)(1-e^{-pT})} dp \end{cases} \quad (5.38)$$

In cazul general se dă ecuația diferențială de gradul n cu un termen neliniar mic $\Psi(y)$.

$$\frac{d^n y}{dt^n} + a_1 \frac{d^{n-1}y}{dt^{n-1}} + a_2 \frac{d^{n-2}y}{dt^{n-2}} + \dots + a_{n-1} \frac{dy}{dt} + a_n y + \Psi(y) = f(t) \quad (5.39)$$

Se calculează transformata pe o perioadă

$$Y_T(p) \cdot Z(p) - G[y(0), y'(0) \dots y^{(n-1)}(0), p] = F_T(p) - \Psi_T(p) \quad (5.40)$$

unde $Z(p) = p^n + a_1 p^{n-1} + \dots + a_n$

$$\Psi_T(p) = \mathcal{L}_T[\Psi(y)]$$

$G[y(0), y'(0) \dots y^{(n-1)}(0), p]$ corespund condițiilor inițiale.

Rezultă

$$Y_T(p) = \frac{F_T(p) - \Psi_T(p)}{Z(p)} + \frac{G(p)}{Z(p)} \quad (5.41)$$

Procedeul de calcul iterativ este următorul:

$$\begin{cases} y_0(t) = \frac{1}{2\pi j} \int_L \frac{F_T(p)e^{pt}}{Z(p)(1-e^{-pT})} dp \\ y_1(t) = y_0(t) - \frac{1}{2\pi j} \int_L \frac{\mathcal{L}_T[\Psi(y_0)] e^{pt}}{Z(p)(1-e^{-pT})} dp \\ \dots \\ y_n(t) = y_{n-1}(t) - \frac{1}{2\pi j} \int_L \frac{\mathcal{L}_T[\Psi(y_{n-1})] e^{pt}}{Z(p)(1-e^{-pT})} dp \end{cases} \quad (5.42)$$

Se alege conturul de integrare L astfel încât zecările funcției $Z(p)$ să fie în exteriorul lui.

Procesul de calcul se oprește cind se obține precizia dorită.

Organograma metodei iterative se reprezintă în fig.5.3. Trebuie precizat că această organogramă nu reprezintă organograma pentru calculator numeric, și sintetizează etapele principale de calcul.

5.6. Exemplu de calcul.

5.6.1. Fie de rezolvat problema prezentată în cap.III pag.64 prin metoda operațională.

Rezolvare:

Ecuatia circuitului obținută cu teorema lui Kirchhoff este:

$$u = ri + L \frac{di}{dt} + ai - bi^3$$

Ecuatia operațională pe o perioadă este

$$U_T(p) = (pL+a+r_0)I(p) - b \mathcal{S}_T[i^3]$$

$$I(p) = \frac{U_T(p)}{pL+r} + \frac{b \mathcal{S}_T[i^3]}{pL+r}$$

Tensiunea este sinusoidală, rezultă că termenul liniarizat $i_0(t)$ se găsește ușor cu metoda clasică

$$i_0(t) = \frac{U_m}{\sqrt{r^2 + (\omega L)^2}} \sin(\omega t - \varphi_0) = I_0 \sin(\omega t - \varphi_0)$$

unde

$$I_0 = \frac{U_m}{\sqrt{r^2 + (\omega L)^2}}, \quad \varphi_0 = \arctg \frac{\omega L}{r}, \quad r = r_0 + a$$

$$i_0^3(t) = \frac{3}{4} I_0^3 \sin(3\omega t - 3\varphi_0) - \frac{I_0^3}{4} \sin(3\omega t - 3\varphi_0)$$

Imaginea Laplace a lui $i_0^3(t)$ este:

$$\mathcal{S}_T[i_0^3(t)] = \frac{3}{4} I_0^3 \frac{(\omega \cos \varphi_0 - p \sin \varphi_0)}{p^2 + \omega^2} - \frac{I_0^3}{4} \frac{(3\omega \cos \varphi_0 - p \sin \varphi_0)}{p^2 + 9\omega^2}$$

Imaginea Laplace a lui $\frac{b \mathcal{S}_T[i^3]}{pL+r}$ este:

ORGANIGRAMA GĂSIRII SOLUȚIILOR PERIODICE PRIN METODA TRANSFORMATEI L'APLACE PE O PERIOADĂ

Ecuăția diferențială neliniară.

$$\frac{d^n y}{dt^n} + a_1 \frac{d^{n-1} y}{dt^{n-1}} + a_2 \frac{d^{n-2} y}{dt^{n-2}} + \dots + a_{n-1} \frac{dy}{dt} + a_n y + \Psi(y) = f(t)$$

Ecuăția operațională pe o perioadă.

$$Y_T(p) = \frac{F_T(p)}{Z(p)} - \frac{\Psi_T(p)}{Z(p)}$$

unde $Z(p) = p^n + a_1 p^{n-1} + \dots + a_n$

Găsirea originalului periodic al ecuației liniarizate

$$y_{0T}(t) = \frac{1}{2\pi j} \int_L \frac{F_T(p) e^{pt} dp}{Z(p)(1 - e^{-pt})}$$

Se calculează originalul periodic al ecuației neliniare

$$y_n(t) = y_{n-1}(t) - \frac{1}{2\pi j} \int_L \frac{L_T[\Psi(y_{n-1})] e^{pt} dp}{Z(p)(1 - e^{-pt})}$$

K=N+1

Conturul de integrare L nu conține zerourile lui Z(p)

$|y_n(t) - y_{n-1}(t)| < \epsilon$

DA

Se reține $y_n(t)$

STOP

FIG. 5.3

$$\frac{b \hat{i}_T(i^3)}{pL+r} = \frac{3}{4} b I_0^3 \frac{(\omega \cos \varphi_0 - p \sin \varphi_0)}{(pL+r)(p^2 + \omega^2)} - \frac{b I_0^3}{4(3pL+r)(p^2 + 9\omega^2)} (3\omega \cos \varphi_0 - p \sin \varphi_0)$$

Originalul $i(t)$ în pasul doi de iterare este:

$$i_2(t) = i_0(t) + \frac{3}{4} b \frac{I_0^3}{\sqrt{r^2 + (\omega L)^2}} \sin(\omega t - 2\varphi_0) - \frac{b I_0^3}{4\sqrt{r^2 + (3\omega L)^2}} \sin(3\omega t - 3\varphi_0 - \varphi')$$

$$\text{unde } \varphi' = \arctg \frac{3\omega L}{r}, \quad \varphi_0 = \arctg \frac{\omega L}{r}$$

In valorile numerice $U_m = 35,35 \text{ V}$, $a = 45$, $b = 30$, $L = 0,05 \text{ H}$, $r_0 = 12 \Omega$ avem:

$$r = r_0 + a = 12 + 45 = 57 \Omega, \quad z = r + j\omega L = 57 + j15,7 = 59,12 \angle 15^039' \Omega$$

$$I_0 = \frac{U_m}{Z} = \frac{35,35 \angle 0^0}{59,12 \angle 15^039'} = 0,598 \angle -15^039' \text{ A}$$

Dacă nu se ține seama de influența termenului i_3 la termenul principal $i(t)$, procesul de calcul iterativ este următorul:

După ce s-a obținut $i_0(t)$ termenul $\frac{3bI_0^3}{4\sqrt{r^2 + (\omega L)^2}}$.

$\sin(\omega t - 2\varphi_0)$ este un termen corectiv Δi adică

$$i_1(t) = i_0(t) + \Delta i_0(t), \quad \text{în pasul următor se ia:}$$

$i_2(t) = i_1(t) + \Delta i_1(t)$. Pasul de calcul continuă pînă cînd $|i_n(t) - i_{n-1}(t)| < \varepsilon$. Armonica a treia se obține după formula:

$$i_3(t) = \frac{-b I_0^3}{4\sqrt{r^2 + (3\omega L)^2}} \sin(3\omega t - 3\varphi_0 - \varphi')$$

Rezultatul obținut după calcul se dă în tabelul 5.1.

Tabelul 5.1.

Nr.	$i(A)$	$i(A)$
1	$0,598 \angle 15^{\circ}23' = 0,576 - j0,159$	$0,081 \angle 30^{\circ}46' = 0,069 - j0,041$
2	$0,675 \angle 17^{\circ}13' = 0,645 - j0,200$	$0,12 \angle -34^{\circ}26' = 0,099 - j0,068$
3	$0,712 \angle 18^{\circ}34' = 0,675 - j0,227$	$0,13 \angle 37^{\circ}08' = 0,103 - j0,078$
4	$0,720 \angle 19^{\circ}14' = 0,679 - j0,234$	$0,14 \angle -38^{\circ}28' = 0,106 - j0,088$
5	$0,727 \angle -19^{\circ}40' = 0,685 - j0,245$	

$$i_3 = 0,040 \sin(3\omega t - 38^{\circ}36') A.$$

Răzultă în sfîrșit:

$$i(t) = 0,727 \sin(\omega t - 19^{\circ}40') + 0,040 \sin(3\omega t - 38^{\circ}36') A.$$

CAPITOLUL VI

FOLOSIREA CALCULATOARELOR ANALOGICE IN STUDIUL CIRCUITELOR NELINIARE

6.1. Noțiuni de bază:

Modelarea electronică constă în folosirea amplificatoarelor operaționale și a circuitelor de reacție prin care se pot rezolva probleme diverse ale științei și tehnicii.

Intr-un calculator analogic soluționarea unei probleme constă în modelizarea ecuațiilor ce interesează cu ajutorul elementelor de circuit sau a elementelor operaționale electronice. Soluțiile căutate sunt reprezentate prin valorile unor tensiuni sau curenți.

Calculatoarele analogice aflate în uz se împart după domeniile de utilizare în universale și specializate. Ele se pot utiliza pentru a rezolva ecuații diferențiale liniare, neliiniare, sau probleme de optimizare...

In prezent în afară de analizoare diferențiale electronice, circuitele modelizate care se construiesc pe baza analogiei și cvasianalogiei se dezvoltă foarte repede [29] , [48] ... In analiza circuitelor neliiniare se realizează simularea circuitelor, metoda prezentând o perspectivă a dezvoltării studiilor circuitelor neliiniare moderne.

In acest capitol vom prezenta o sinteză a folosirii calculatoarelor analogice în analiza circuitelor, de asemenea vom prezenta următoarele studii pe calculatorul analogic MEDA 42-TL: rezolvarea unui circuit liniar, studiul regimului forțat în circuitul RL serie neliiniar, modelarea curbei de magnetizare și studiul seigne-toferorezonanței.

6.2. Elementele calculatorului analogic.

Elementul principal al oricărui calculator analogic îl constituie amplificatoarele operaționale, care se realizează dintr-un amplificator de curent continuu cu coeficientul amplificării mare ($> 10^6$) avînd circuite de reacție.

Cu ajutorul acestora se formează: sumatoare, înmulțitoare, integratoare, generatoare de funcții.

Schema bloc și funcțiile matematice ale acestor elemente se dau în tabelul 6.1.

6.3. Programarea calculatoarelor analogice:

Programarea atât a problemelor liniare cît și a celor neliniare trebuie să parcurgă următoarele etape:

- Se determină numărul și natura elementelor de calcul necesare.
- Se determină ordinea legăturii elementelor.
- Se determină parametrii elementelor (forma funcțiilor neliniare concrete, scările variabilelor, condițiile inițiale pe integratoare) etc.

Factorii de scară trebuie astfel aleși încît tensiunile pe care le determină să nu depășească domeniile admise de $\pm 100V$ sau $\pm 10V$ ale calculatorului folosit. Pentru a micșora erorile relative și erorile datorită deplasării nulului, zgromotului, etc este de dorit ca factorii de scară să fie cît mai mari.

In general necunoscînd soluția $y(t)$ nu se cunouăte nici valoarea maximă a ei y_{max} și astfel factorul de scară se apreciază cu valoarea corespunzătoare estimată y_{max} . Această estimare se bazează pe aprecierea soluției sub diverse aspecte fizice, energetice. La punerea la punct a programului factorii de scară se pot ajusta pe baza indicatoarelor de supradepășire

Tabelul 6.1. Elemente de calcul.

Denumirea elementului de calcul	Operatia de calcul	Simbol	Functia matematica
Amplificator operational	Simbol general		Elemente de bază pentru realizarea operațiilor
invertor	Schimbarea semnului		$x_e = -x_i$
Sumator	Adunarea mai multor funcțiuni		$x_e = \sum_{j=1}^n C_j x_{ij}$
integrator	Integrarea funcțiilor de o variabilă reală		$x_e = x_0 + \int_{t_0}^t \left(\sum_{j=1}^n C_j x_{1j} \right) dt$
Potențiometru	Multiplicarea cu o constantă		$x_e = k x_i; 0 < k < 1$
Multiplicator	Inmulțirea a două mărimi variabile		$x_e = x_{i1} \cdot x_{i2}$
Divizor	Divizarea a două mărimi variabile		$x_e = \frac{x_{i1}}{x_{i2}}$
Generator de funcții	Generarea funcțiilor		$x_e = f(x_i)$
Comparitor	Decizia logică		$x_e = \begin{cases} x_{i1} & \text{dacă } x_{i1} > x_{i2} \\ x_{i2} & \text{dacă } x_{i1} < x_{i2} \end{cases}$
Transformator de coordonate	Transformarea coordonatelor carteziene în coordonate polare		$\begin{aligned} r &= \sqrt{x_i^2 + y_i^2} \\ &= \arctg \frac{x_i}{y_i} \end{aligned}$
	Transformarea coordonatelor polare în coordonate carteziene		$\begin{aligned} x &= r \cos \varphi \\ y &= r \sin \varphi \end{aligned}$

sau subdepasire.

In ecuațiile neliniare frecvent întâlnite în electro-tehnica neliniaritățile se prezintă sub forma de produse sau de puteri. Dacă notăm a_1 , a_2 valorile normate ale variabilelor reale x_1 , x_2 atunci

$$a_1 = \frac{x_1}{x_{1 \text{ max}}}, \quad a_2 = \frac{x_2}{x_{2 \text{ max}}} \quad (6.1)$$

rezultă condiția necesară $-1 \leq a_1 \cdot a_2 \leq 1$ (6.2)

Dacă neliniaritatea se prezintă sub forma unei funcții oarecare, funcția neliniară care trebuie normată se poate prezenta sub forma generală:

$$f(x_i) = f(x_1, x_2, \dots, x_n), \text{ dacă notăm } a_i = \frac{x_i}{x_{i \text{ max}}} \text{ valorile}$$

normate lui x_i atunci valoarea normată a lui $f(x_i)$ este:

$$a(x_i) = \frac{f(x_i)}{f_{\max}(x_i)} \quad (6.3)$$

și satisface condiția:

$$-1 \leq a(x_i) \leq 1 \quad (6.4)$$

Operațiunea de normare joacă un rol important în simularea analogică a sistemelor descrise de ecuații diferențiale neliniare, deoarece sistemul de ecuații obținut după normare este direct programabil pe calculator.

6.4. Micsorarea erorilor calculatorului analogic:

Programarea pe calculatoare analogice trebuie să se facă astfel încât erorile să fie cât mai mici. Erorile se datorează următoarelor cauze:

1. Tensiunea pe elementele de calcul este prea mare sau prea mică în gama de variație a soluțiilor.
2. Elementele de calcul nu corespund cu problemele căutate.

Dacă variabila reală x variază în intervalul

$x_{\min} < x < x_{\max}$, variabila mașinii variază în intervalul $U_{\min} <$

$$U < U_{\max} \text{ unde } u = kx, k < \frac{U_{\max}}{U_{\min}} \quad (6.5)$$

k se consideră ca un factor de calitate al oricărui calculator

analogic. În general calculatoarele moderne au $U_{\max} = 100 \text{ V}$, $U_{\min} = 0,1 \text{ V}$ adică $k = \frac{U_{\max}}{U_{\min}} = 10^3$.

Pentru a mări precizia programării factorul de scară k trebuie să fie cât mai mare. Dacă condiția (6.5) nu se realizează, factorul k nu poate fi constant. În acest caz factorul de scară trebuie să se schimbe în procesul de rezolvare.

De cele mai multe ori un program realizat nu va funcționa optim de la început. Factorii de scară se pot schimba într-un domeniu al variabilelor sau se schimbă în mod continuu după relația $k = f(t)$.

Pentru obținerea unor factori de scară eficienți, acuștia trebuie să se aleagă astfel încât

$$y = g(t) \cdot \int_0^t x \, dt \quad (6.6)$$

în general $g(t) \neq k$; $g(t)$ nefiind constant, ea se poate obține numai în cazul în care $x(t)$ este cunoscut. Dacă dorim ca valoarea de ieșire a integratorului să fie ky , atunci:

$$\frac{dy}{dt} (ky) = y \frac{dk}{dt} + k \frac{dy}{dt} \quad (6.7)$$

În schema din fig.(6.1) se poate rezolva ecuația (6.7) factorii de scară schimbându-se în mod continuu.

În [20] se prezintă metoda variației pentru micșorarea erorilor. Fiecare variabilă este descompusă în valoarea nominală y_0 și abaterea Δy

$$y = y_0 + \Delta y \quad (6.8)$$

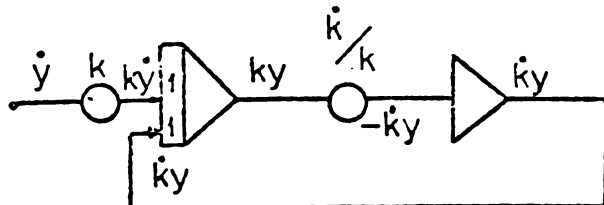


Fig.6.1.

Factorii de scară sînt aleși prin Δy și nu prin y , de asemenea în [20] se studiază posibilitățile de a simplifica schema bloc în vederea mîșorării erorilor.

După [52] transformînd corespondator sistemul de ecuații studiat în scheme echivalente se poate mări precizia soluțiilor. Experiențele efectuate pe calculatoare analogice și studiile teoretice din [52] au arătat că există pentru factorul erorii variabilei $w(x_i)$ care caracterizează precizia variabilelor reale și variabilelor mașinii relațiile :

$$w(x_i) = \frac{\partial x_i}{\partial X_i} \quad (6.9)$$

unde ∂x_i , ∂X_i sînt erorile relative ale variabilelor reale și ale variabilelor mașinii. Pentru diverse transformări ale sistemului de ecuații se obține factorul erorii sub formele:

1. Transformata liniară

$$x_i = M_i X_i + N_i \quad (6.10)$$

unde M_i , N_i sînt coeficienții de transformare.

$$M_i = \frac{u_i}{\theta_i}, \quad N_i = x_{imax} - \frac{u_i}{\theta_i} x_{imax}$$

$$u_i = x_{imax} - x_{imin} \quad \theta_i = x_{imax} - x_{imin}$$

u_i , θ_i sînt diapazoanele variației variabilei reale și respectiv variabilei mașinii, factorul erorii este: $w(x_i) = \frac{\psi_i}{\Psi_i}$

$$\text{unde } \psi_i = \frac{u_i}{|x_i|_{max}}, \quad \Psi_i = \frac{\theta_i}{|X_i|_{max}}$$

ψ_i , Ψ_i sînt diapazoanele variației relative a variabilei reale și respectiv variabilei mașinii ψ_i , și $\Psi_i \in [0,2]$

2. Transformata logaritmică:

Transformata logaritmică are forma:

$$x_i = B_i \cdot \log^{X_i/A_i} \quad (6.11)$$

unde $A_i = \frac{\psi_i}{\lg(\frac{1}{1-\psi_i})}$, $B_i = x_{i\max}(1-\psi_i)^{1/\psi_i}$ sunt coeficocenții transformatei.

Factorul erorii

$$\omega(x_i) = \frac{\lg(\frac{1}{1-\psi_i})}{\psi_i \lg e}$$

3. Transformata unei puteri:

$$x_i = C_i x_i^{m_i} \quad (6.12)$$

unde m_i se alege după condiția simplificării schemei

$$C_i = \frac{x_i \max}{[|x_i| \max]^{m_i}}$$

este coeficientul transformatei

Factorul erorii

$$\omega(x_i) = m_i + \frac{m_i(m_i-1)}{1.2} \delta x_i + \frac{m_i(m_i-1)(m_i-2)}{1.2.3} (\delta x_i)^2 + \dots \approx m_i$$

Factorul erorii pentru diverse transformări se prezintă în

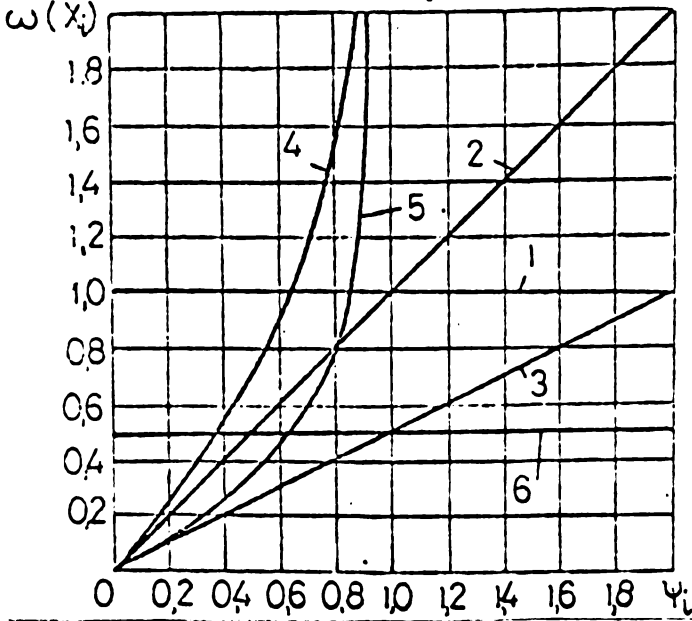


Fig.6.2.

Relația $\omega(x_i)$ pentru diverse transformări:

1. Transf.de puteri $m_i = 1$

3. Transf.liniară $\psi_i = 2$

5. Transf.logaritmică $\psi_i = 2$

2. Transf.liniară $\psi_i = 1$

4. Transf.logaritmică $\psi_i = 1$

6. Transf.de putere $m_i = 0,5$

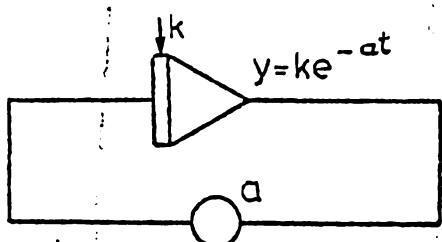
Din graficul 6.2 constatăm că factorul erorii $\omega(x_i)$ depinde numai de forma transformărilor și de factorii de scură.

6.5. Elementele neliniare ale calculatoarelor analogice:

Elementele neliniare joacă un rol foarte important pentru probleme liniare și neliniare.

și influențează precizia soluțiilor. Voi prezenta principalele elemente nelineare care se folosesc pe larg în calculatoare analogice.

1. Generatoare de funcții: Programarea problemelor nelineare și liniare are nevoie de funcții de timp $y=f(t)$ și funcții de variabilă reală $y = f(x)$. Funcțiile de timp se realizează pe calculatoare relativ simplu rezolvînd ecuațiile diferențiale ajutătoare. De exemplu fie de realizat funcția $y = e^{-at}$. Se știe că ea



este soluția ecuației diferențiale de ordinul 1 care se poate obține prin schema prezentată în fig.6.3. Funcțiile sinusoidale și cosinusoidale sunt soluțiile ecuației diferențiale de ordinul 2.

$$\frac{d^2y}{dt^2} + \omega^2 y = 0 \quad (6.13)$$

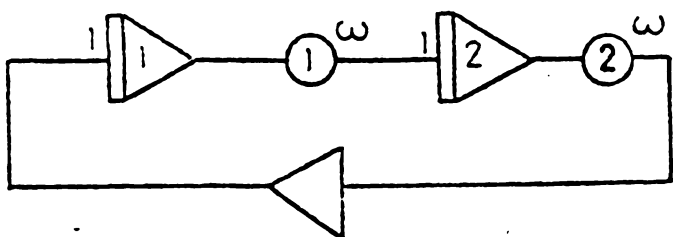


Fig.6.4.

In schema prezentată în fig.(6.4) funcția y poate fi sinusoidală sau cosinusoidală, depinde de condiții inițiale. Funcția exponențială de

variabilă de timp t $y = kt^n$ se

poate realiza folosind integratoare în serie.

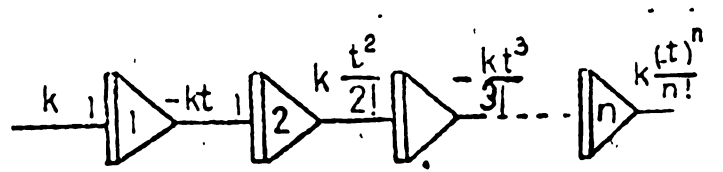


Fig.6.5.

In acest caz condițiile inițiale ale tuturor integralelor sunt nule (fig.6.5). Pentru obținerea coeficienților variabili de

temp se poate folosi potențiometrul cu cursor variabil (fig.6.6), Pentru schema (6.6) funcția variabilă se obține:

$$f(t) = \frac{r(t)}{R} \quad (6.14)$$

unde $r(t)$ este rezistența dintre cursor și masă, R este

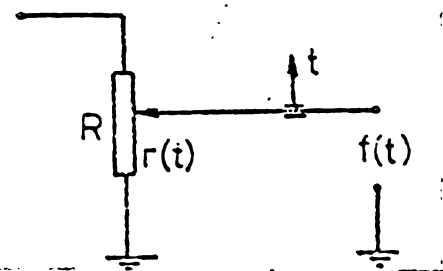


Fig.6.6.

rezistența totală a potențiometrului.

Funcțiile de variabilă reală $y = f(x)$ se pot realiza prin elemente neliniare.

Datorită greutăților de reproducere cu precizie a acestor caracteristici și

influențelor perturbatoare care pot modifica mult dependența realizată, se folosesc în general circuite cu diode și rezistoare cu ajutorul cărora neliniaritatea dorită se aproximează prin segmente de dreaptă.

Circuitele neliniare elementare se pot combina și astfel se poate realiza o clasă largă de funcții neliniare. În fig.6.7 se prezintă circuitele neliniare serie și cele de tip paralel în reacție.

Parametrii caracteristicilor ce rezultă sunt date în ipoteza că diodele sunt ideale. Funcțiile analitice simple de variabilă de mașină x de forma unor polinoame $aX + b$; $aX^2 + bX + c \dots$ se realizează folosind sumatoare, dispozitive de înmulțire și potențiometri pentru coeficienți. Combinând caracteristicile neliniare ale elementelor de tipul celor realizate de limitoare se obține o clasă mare de funcții approximate pe porțiuni cu segmente de dreaptă. Prințipiu obținerii de relații funcționale este prezentat în fig.6.8. Cele două blocuri în ipoteza că punctul este la potențial nul realizează niște caracteristici neliniare de curent de forma:

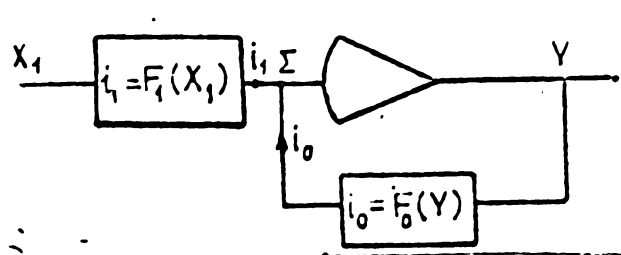
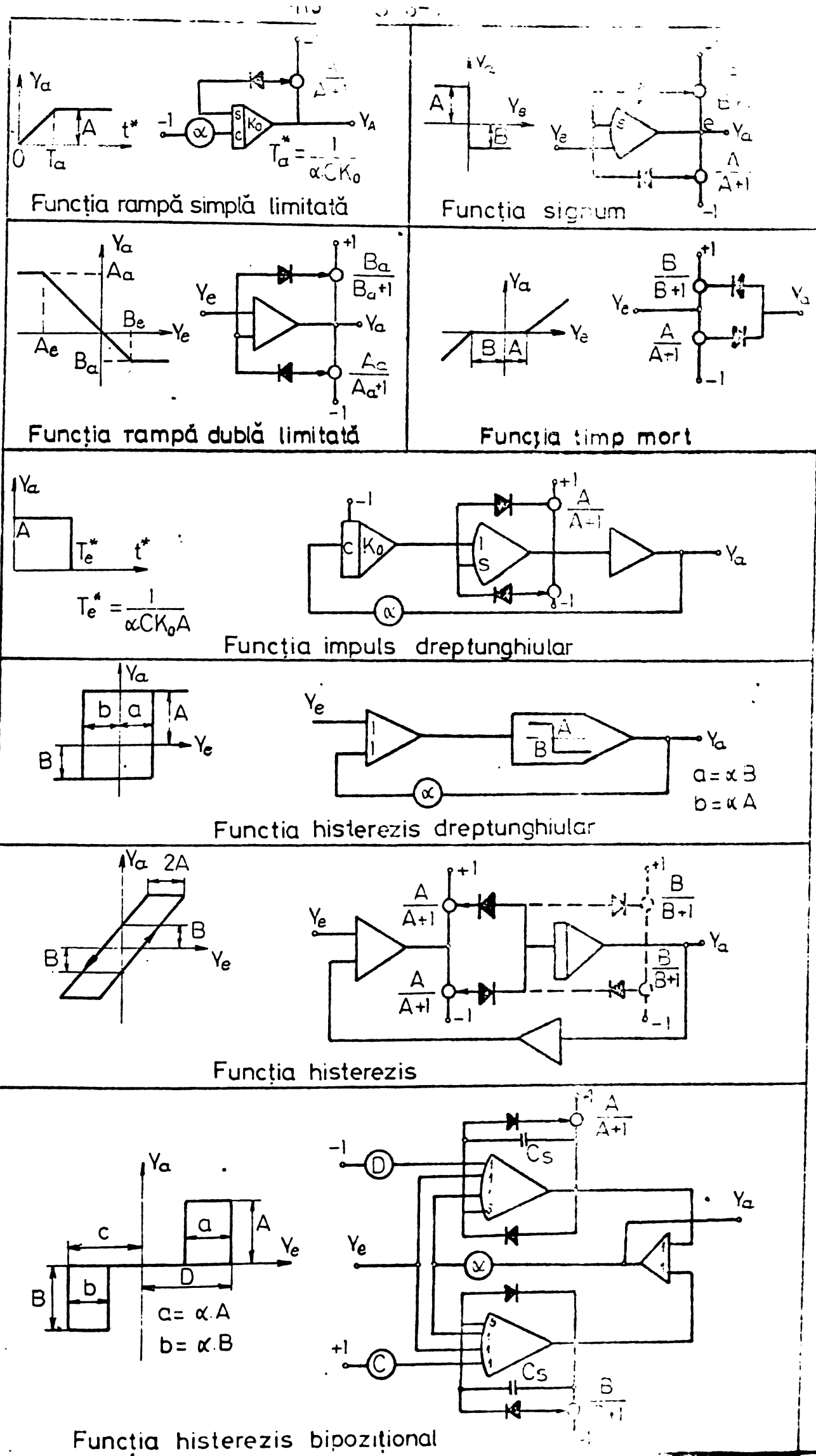


Fig.6.8.

$$i_1 = F_1(X_1) ; i_0 = F_0(Y)$$

Din condiția $i_1 + i_0 \approx 0$ îndeplinită datorită amplificării mari a amplificatorului de curent continuu, rezultă:



$$F_1(X_1) = F_0(Y) \text{ sau } Y = f(X_1)$$

Generatoarele de funcții universale sunt destinate realizării unor dependanțe oarecare. Principiul lor este asemănător cu cel al generatoarelor specializate, cu diferența că ele permit să se aleagă numărul segmentelor de aproximare și punctele acestora. Cu alte cuvinte ele sunt universale și se acordează înainte de folosire. În general se dispune de un număr oarecare de elemente nelineare cu diode care stabilesc și numărul segmentelor ce se pot utiliza în aproximarea respectivă. Acestea se pot conecta fie la tensiunea de intrare X_1 , fie la $-X_1$ pentru a obține pante pozitive și la fel tensiunea de polarizare poate fi aleasă pozitivă sau negativă. Diodele se pot și inversa rezultând în final posibilitatea de a avea segmente doarăptă cu punctă pozitivă sau negativă în total cale patru cadre. În fig.6.9 se prezintă schema principală a unui generator universal simplu care conține pînă la 19 elemente nelineare cu diode și rezistoare.

O caracteristică mai complicată poate fi realizată utilizînd două generatoare. Ajustarea manuală a unui generator de funcții începe prin a stabili fie analitic, fie grafic punctele de frîngere și punctele aproximării pe porțiuni prin segmente. Se stabilește apoi numărul segmentelor cu puncte de frîngere pozitive sau negative. Se deplasează punctele de frîngere spre valori mari ale lui X, respectiv $-X$. Elementele pentru segmentul orizontal cel care trece prin origine se ajustează întîi. Se fixează apoi X_1 la valoarea primului punct de frîngere și se ajustează punctul de frîngere al elementului destinat să intervină pînă cînd se reglează întîi panta elementului

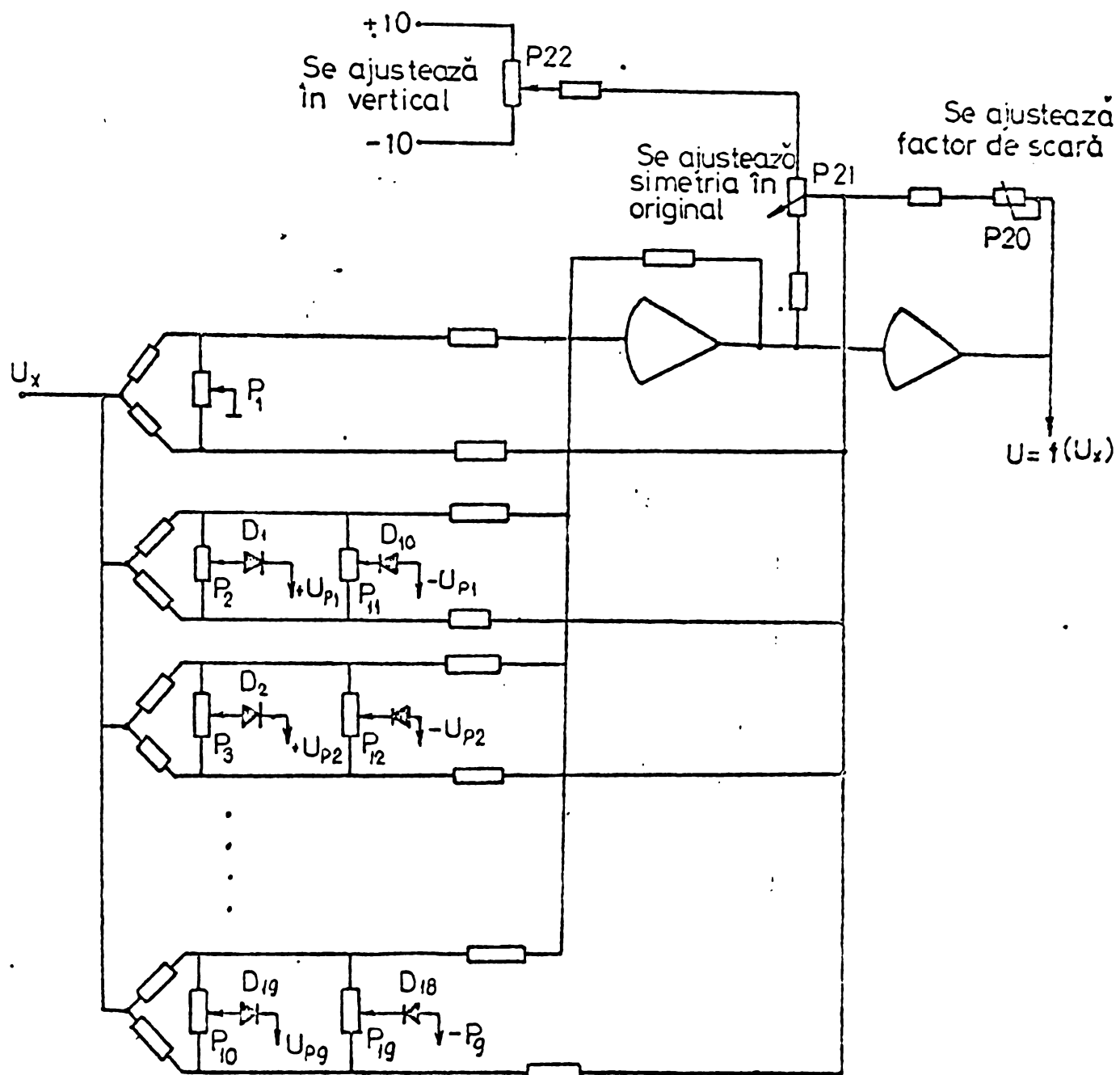


Fig.6.9.

acordat în ceea ce privește frângerea, pînă cînd se obține tensiunea de ieșire X_0 impusă. Procesul se repetă pînă cînd s-au ajustat toate elementele. De obicei săt necesare două sau trei treceri peste întregul domeniu pînă cînd se obține aproximarea dorită.

Funcțiile de două variabile se pot obține pe baza unor dispozitive speciale sau prin combinații ale funcțiilor de o variabilă. La ora actuală nu există nici un dispozitiv care

poate realiza funcții de trei sau de mai multe variabile. Aceste funcții se află în afară de posibilitatea modelării analogice dacă nu se pot aproxima prin combinația funcțiilor de o variabilă sau de două variabile.

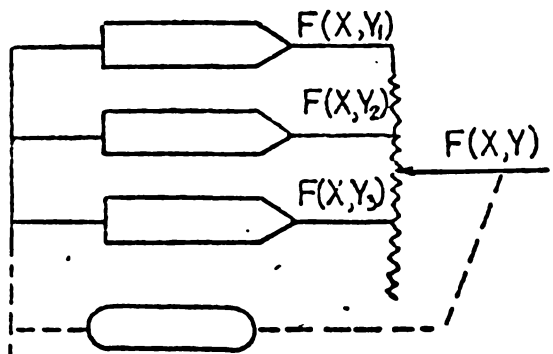


Fig.6.10.

In fig.6.10 se prezintă un generator de funcții realizat cu un servomecanism și generatoare obișnuite.

In [53] s-a prezentat metoda generării funcțiilor reale prin modelări ale unor funcții de timp. Dacă trebuie să realizăm relația $y = \sin \ln x$ (6.15),

descriem funcția (6.15) în forma parametrică:

$$x = e^{-\alpha t} \quad ; \quad y = -\sin \alpha t \quad (6.16)$$

funcțiile (6.16) se obțin rezolvînd pe calculator ecuațiile următoare:

$$\begin{cases} \dot{x} + \alpha x = 0 \\ \ddot{y} + \alpha y^2 = 0 \end{cases} \quad (6.17)$$

Apoi se realizează "deparametrizarea" adică se elimină parametrul t . Într-un caz simplu acesta se poate realiza pe un oscilograf electronic aducînd x și y pe plăcile orizontală și transversală; pe ecran se obține funcția $y = \sin \ln x$.

Dacă trebuie să se obțină o tensiune ce are legea de variație (6.15) acesta se realizează după cum urmează: în schema prezentată în fig.6.11 tensiunea $x = e^{-\alpha t}$ se realizează în partea stîngă iar în partea dreaptă se obține tensiunea $y = -\sin \alpha t$.

Tensiunea de ieșire a integratorului 1 se leagă cu organ-nul. Cînd semnalul de comandă M coincide ca semnal de

întrare, întreruptorul K_1 se închide. La început, cînd tensiunea de intrare: $x_i = x = 1$ și $y = 0$, întreruptoarele sunt în stare deschisă. Dacă tensiunea de intrare se reduce sub acțiunea semnalului de comandă M , întreruptoarele se închid și tensiunile x , y încep să varieze pînă cînd tensiunea x diferă de tensiunea x_i , atunci întreruptoarele se deschid și în final la ieșirea schemei se obține tensiunea $y = \sin \ln x$.

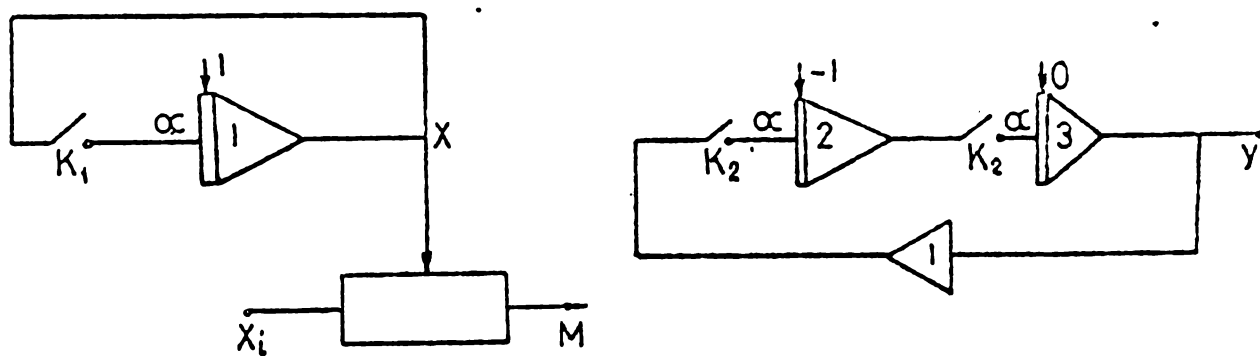


Fig.6.11.

Coefficientul α este ales astfel încît viteza de variație a lui x să fie mai mare decît viteza de variație a lui x_i . În aceste condiții tensiunea x are variația continuă și deci tensiunea $y = \sin \ln x$ are și ea variație continuă.

În mod analog se poate realiza modelarea unor funcții oarecare. Funcțiile căutate trebuie scrise sub formă parametrică:

$$x = \varphi_1(t_1) ; \quad y = \varphi_2(t_1) ; \quad t_1 = Mt \quad (6.18)$$

după ce funcțiile φ_1, φ_2 au fost realizate organul-nul compară x și x_i , la ieșirea schemei se obține $y = \varphi_2[\varphi_1^{-1}(x)]$; $x = x_i$

$$(6.19)$$

Parametrizarea unei funcții nu este univocă. De exemplu funcția $y = x^2$ poate fi parametrizată prin variantele următoare:

$$\begin{cases} x = e^{-t} \\ y = e^{-2t} \end{cases} \quad \begin{cases} x = t \\ y = t^2 \end{cases} \quad \begin{cases} x = \sqrt{2} \sin t \\ y = 1 - \cos 2t \end{cases} \quad (6.20)$$

Prin combinația funcțiilor parametrizate se pot realiza alte funcții ca de exemplu: $y = xe^{-ax}$ $y = C_1x + C_2x^2 \dots$

Studiem ce clasă de funcții se poate modeliza prin metoda prezentată mai sus. În primul rînd ne vom limita la studiul ecuațiilor de ordinul întîi. Soluțiile lor sunt:

λt sau $e^{\lambda t}$. trezim la realizarea unei clase de funcții mai mari $y = \varphi_2[\varphi_1(x)] = f(x)$ în care se cuprind funcțiile exponentiale, logaritmice... de exemplu: \sqrt{x} , $\frac{1}{x}$, $x^{4/3}$, a^x , a^{-x} , $\lg x \dots$ Prin combinarea unor ecuații de diverse ordine se obțin funcțiile: $\sin x$, $\cos x$, $\arcsin x$, $\arccos x$, x^a , $\cos \ln x$, $\exp(\arcsinx) \dots$

Dacă ambele funcții determinante sunt de ordinul doi, atunci se obține polinomul Cebîsev $\cos(n\arccos x)$ care este caracteristica de transfer optimală a multiplicatoarelor și schema determinată se poate folosi pentru înmulțirea, împărțirea frecvențelor. Există posibilitatea modelării funcțiilor multivoce cu curbe închise sau întrețiate prin polinoamele Cebîșev de speața a doua. În [53] de asemenea s-a prezentat modelarea funcțiilor de mai multe variabile. Schema dată în [53] prezintă avantajul că ea permite să se realizeze o clasă vastă a funcțiilor prin mijloace simple. Inchiderea și deschiderea schemei se realizează prin întreruptoare electronice sau prin relee polarizate.

Existența erorii dinamice datorită inerției mecanice și electrice a contactelor reprezintă dezavantajul principal al schemei.

Inmulțirea se poate realiza fie pe baza unor elemente cu servomechanisme fie pe baza unor circuite pur electronice.

Primele sînt relativ precise dar lente datorită părților mecanice pe care le conțin. Cele electronice au atins și ele un nivel înalt de dezvoltare și înlocuiesc actualmente în multe cazuri sistemele cu servomecanisme.

Folosind generatoare de funcții se pot realiza și dispozitive de înmulțire pe baza relației:

$$xy = \frac{1}{4} [(x+y)^2 - (x-y)^2] \quad (6.21)$$

Inmulțirea se poate realiza cu ajutorul unor sumatoare și cuadratoare. În fig.6.12 se prezintă două dispozitive de înmulțire cu cuadratoare unde:

$$U_a = \frac{U_1 + U_2}{2}; \quad U_b = \frac{U_1 - U_2}{2} \quad (6.22)$$

Rezultă:

$$i_1 + i_2 = -k \left(\frac{U_1 + U_2}{2} \right)^2 \quad (6.23)$$

$$i_3 + i_4 = k \left(\frac{U_1 - U_2}{2} \right)^2 \quad (6.24)$$

$$U_a = R_o i_o = -R_o (i_1 + i_2 + i_3 + i_4) \quad (6.25)$$

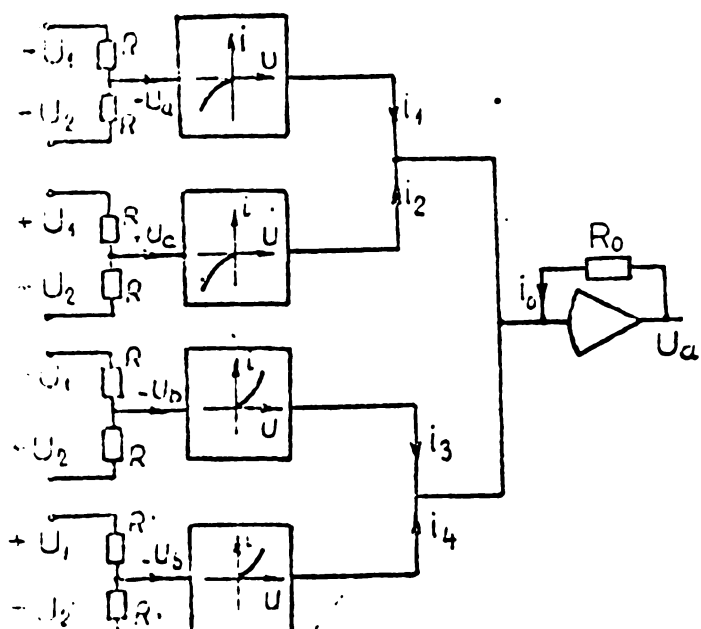


Fig.6.12.

Din ultimele relații avem:

$$U_a = R_o k \left[\left(\frac{U_1 + U_2}{2} \right)^2 - \left(\frac{U_1 - U_2}{2} \right)^2 \right] = \\ = U_1 \cdot U_2 \quad (6.26)$$

Principala dificultate tehnică a schemei din fig.6.12 este legată de faptul că în natură nu se găsesc elemente cu caracteristică pur pătratică, astfel încît practic în simulator ea este înlocuită cu un sir de segmente de dreaptă.

Impărțirea electronică se obține în general folosind soluția ecuației:

$$\Delta X_0 Y + X = 0 ; X_0 = - \frac{X}{\Delta Y} \quad (6.27)$$

care se programează folosind un amplificator de c.c. și un înmulțitor fig.(6.13).

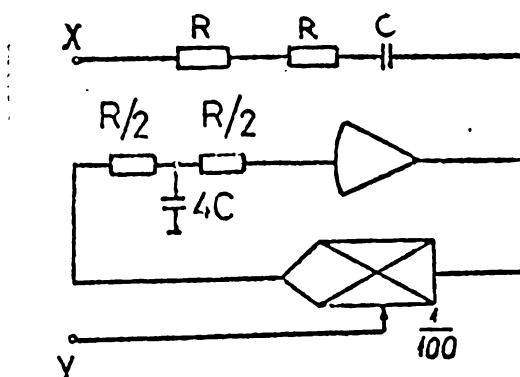


Fig.6.13.

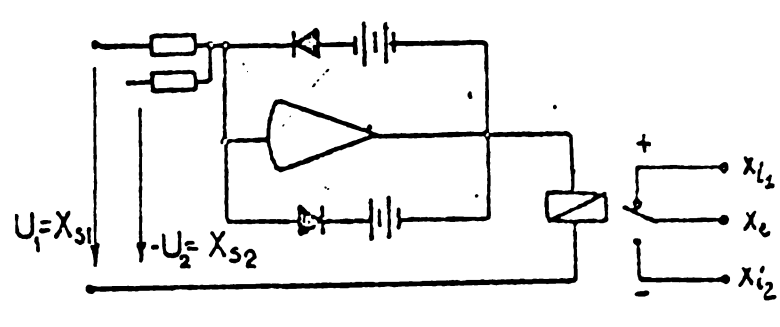


Fig.6.14

Comparatorul este utilizat ca element de calcul independent. Cu ajutorul lui elaborarea deciziilor logice care apar în probleme neliniare devine posibilă. Un exemplu de operație logică care poate fi efectuată cu ajutorul comparatorului este:

$$x_\theta = \begin{cases} x_{i1} & \text{dacă } x_{s1} + x_{s2} > 0 \\ x_{i2} & \text{dacă } x_{s1} + x_{s2} < 0 \end{cases} \quad (6.27)$$

Schema de principiu a comparatorului se dă în fig.(6.14)

6.6. Studiul circuitelor neliniare pe calculatorul analogic MEDA 42-TL.

6.6.1. Desciere: Calculatorul analogic MEDA 42-TL se folosește pentru rezolvarea ecuațiilor diferențiale liniare, neliniare, ecuațiilor diferențiale cu derivate parțiale, ecuațiilor algebrice, problemelor operaționale, programării liniare care au răspindire în tehnică.

MEDA 42-TL poate rezolva ecuații liniare sau neliniare pînă la gradul 12 poate realiza calculul iterativ, decizii logice

Tensiunea de calcul este ± 10 V, - poate funcționa în regim single-shot sau regim repetitiv cu frecvență 50 Hz. Pentru mărirea capacității de calcul poate funcționa în paralel și se comandă de la unul dintre ele.

6.6.2. Rezolvarea circuitului liniar de curent continuu
pe MEDA 42-TL.

Se dă circuitul cu tensiuni imprimate continue (fig. 6.15). Se cer curenti în laturi.

Problema se rezolvă prin teorema curenților de contur.
Ecuatiile curenților de contur sunt:

$$\left\{ \begin{array}{l} r_{11}I_1 + r_{12}I_2 + r_{13}I_3 + 0 + 0 = E_{11} \\ + r_{21}I_1 + r_{22}I_2 + r_{24}I_4 + 0 = E_{22} \\ + r_{31}I_1 + 0 + r_{33}I_3 + r_{34}I_4 + r_{35}I_5 = E_{33} \\ 0 + r_{42}I_2 + r_{43}I_3 + r_{44}I_4 + r_{45}I_5 = E_{44} \\ 0 + 0 + r_{53}I_3 + r_{54}I_4 + r_{55}I_5 = E_{55} \end{array} \right. \quad (6.28)$$

$$\text{und } r_{11} = 1 + 2 + 2 = 5 \Omega$$

$$r_{22} = 2 + 2 + 1 = 5 \Omega$$

$$r_{33} = 2 + 3 + 4 + 1 = 10 \Omega$$

$$r_{44} = 5 + 3 + 1 + 1 = 10 \Omega$$

$$r_{55} = 1 + 5 = 6 \Omega$$

$$E_{11} = 5 - 5 = 0 \text{ V}$$

$$E_{22} = 5 - 1 = 4 \text{ V}$$

$$E_{33} = 2 - 3 = -1 \text{ V}$$

$$E_{\text{cell}} = 3 - 3 = 0V$$

$$E_{55} = 5 \text{ V}$$

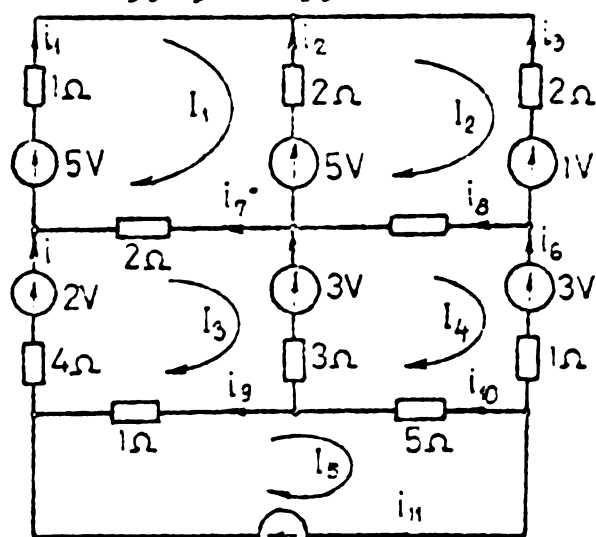


Fig. 6.15.

$$r_{12} = r_{21} = -2 \Omega$$

$$r_{13} = r_{31} = -2 \Omega$$

$$r_{24} = r_{42} = -1 \Omega$$

$$r_{34} = r_{43} = -3 \Omega$$

$$r_{35} = r_{53} = -1 \Omega$$

$$r_{45} = r_{54} = -5 \Omega$$

Sistemul de ecuații (6.28) devine:

$$\left\{ \begin{array}{lcl} 5I_1 - 2I_2 - 2I_3 & = 0 \\ -2I_1 + 5I_2 - I_4 & = 4 \\ -2I_1 + 10I_3 - 3I_4 - I_5 & = -1 \\ -I_2 - 3I_3 + 10I_4 - 5I_5 & = 0 \\ -I_3 - 5I_4 + 6I_5 & = 5 \end{array} \right. = \left\{ \begin{array}{lcl} I_1 - 0,4I_2 - 0,4I_3 & = -I_1' \\ -0,4I_1 + I_2 - 0,2I_4 - 0,8 & = -I_2' \\ -0,2I_1 + I_3 - 0,3I_4 - 0,1I_5 + 0,1 & = -I_3' \\ -0,1I_2 - 0,3I_3 + I_4 - 0,5I_5 & = -I_4' \\ -0,166I_3 - 0,83I_4 + I_5 - 0,83 & = -I_5' \end{array} \right.$$

(6.29)

Schema analogică pentru ecuația (6.29) se dă în fig.6.16.

Rezultatele obținute se dau în tabelul 6.2.

Tabelul 6.2.

Rezultatele obținute pe calculator (A)	I ₁	I ₂	I ₃	I ₄	I ₅
	1,50	1,45	2,30	2,50	3,10
Rezultatele obținute prin calcul (A)	1,50	1,47	2,29	2,31	3,13

Curenții din lățuri: i₁ = I₁ = 1,50 A

$$i_2 = I_2 - I_1 = 1,45 - 1,50 = -0,05 A$$

$$i_3 = -I_2 = -1,45 A$$

$$i_4 = I_3 = 2,30 A \quad i_8 = I_2 - I_4 = 1,45 - 2,30 = -0,85 A$$

$$i_5 = I_4 - I_3 = 2,3 - 2,3 = 0 \quad i_9 = I_3 - I_5 = 2,30 - 3,10 = -0,8 A$$

$$i_6 = -I_4 = -2,3 A \quad i_{10} = I_4 - I_5 = 2,3 - 3,10 = -0,8 A$$

$$i_7 = I_1 - I_3 = 1,5 - 2,3 = -0,8 A \quad i_{11} = I_5 = 3,1 A$$

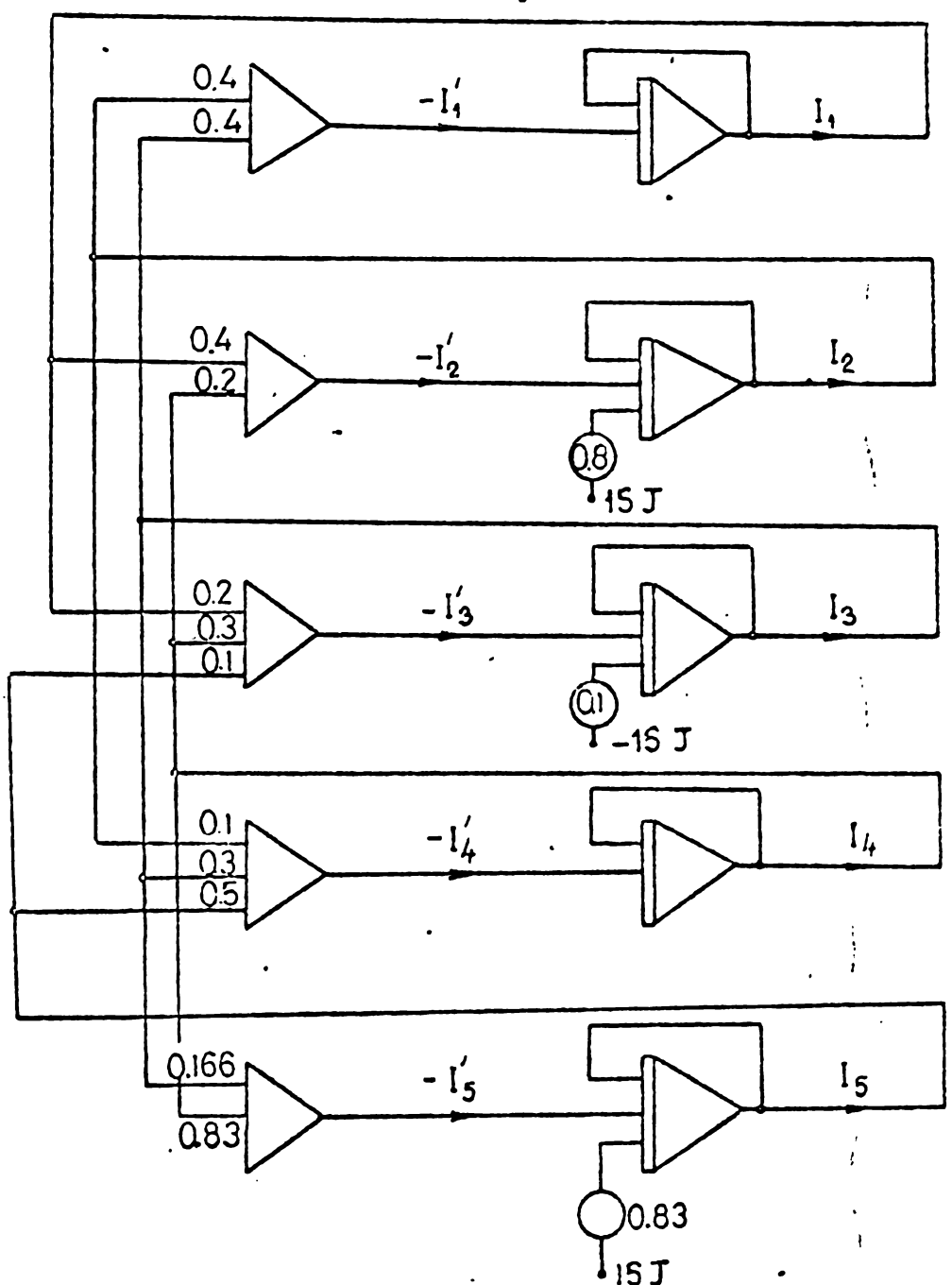


Fig.6.16.

6.6.3.: Modelarea curbei de magnetizare.

Pentru modelarea curbei de magnetizare se folosește blocul nonlinear TFM-1 și două amplificatoare operaționale. Schema pentru modelarea curbei de magnetizare se dă în fig.6.9. Materialul magnetic este tabla silicioasă E330 în funcție de presiunea transversală în două cazuri: a) $p = 0$, $b = p = 10 \text{ Kg/cm}^2$. Alegem factorii de scară $m_V = m_H = 1 \text{ A/cm}$, $m_V = \frac{1}{5} m_B = 0,2 \text{ T/cm}$.

Rezultatele obținute se dau în tabelul 6.3.

Tabelul 6.3.

Caracteristica de magnetizare pe calculatorul analogic
MEDA 42-T

U_{in} (V)	0,5	1.5	2.5	3.5	5.5	6.5	7.5	8.5	9.5
U_{ies} (V) a	6.10	7.90	8.30	8.50	8.60	8.70	8.80	8.90	9.00
U_{ies} (V) b	3.00	6.50	7.50	8.00	8.30	8.70	8.85	9.00	9.10

Procesul de ajustare este următorul: Calculatorul funcționează în regim de condiții initiale. Potențiometrul P_{20} fiind la capăt în sensul de rotație al ceasornicului, se dă $U_{in} = 0$, se ajustează P_{22} astfel încât $U_{ies} = 0$, apoi potențialul P_{20} este dus la celălalt capăt în sens invers, se dă $U_{in} = 0$ și se ajustează P_{22} astfel încât $U_{ies} = 0$. Potențialul P_{20} fiind la

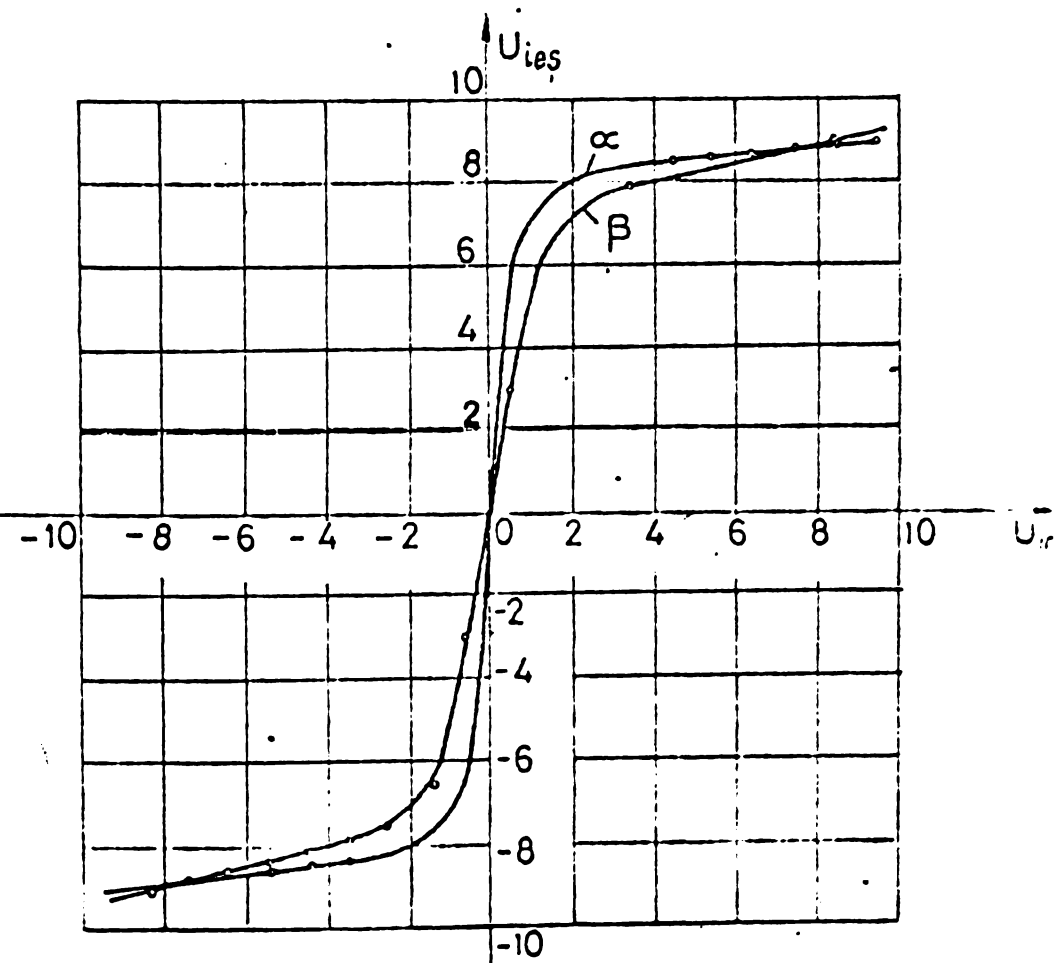
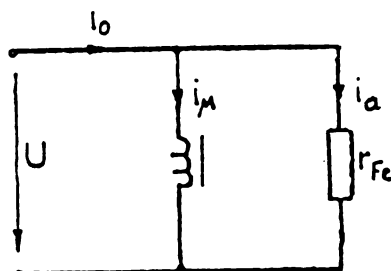


Fig.6.17.

poziția centrală, se dă $U_{in} = + 0,5V$, simetria segmentului 1

se obține prin ajustarea P_{21} ca să obținem aceleași tensiuni la două poziții extreme ale potențiometrului P_1 . După ce s-a ajustat segmentul 1 se va ajusta segmentul 2, 3... Curba de magnetizare obținută pe calculatorul analogic se dă în fig.6.17.

Modelarea ciclului de histerezis se realizează în felul următor: bobină cu miez feromagnetic are schema echivalentă prezentată în fig.6.18.



$$\text{unde } i_o = i_\mu + i_a \quad (6.30)$$

$$u = \frac{d\psi}{dt} = r_{fe} \cdot i_a \quad (6.31)$$

Dacă se dă tensiunea u din ecuația (6.31) se obține:

$$i_o = \frac{u}{r_{fe}} + i_\mu \quad (6.32)$$

$$\psi = \int u dt + \psi_r \quad (6.33)$$

unde ψ_r este o constantă de integrare.

Schema analogică pentru modelarea ciclului de histerezis se prezintă în fig.6.19, unde se folosește blocul nelinier TEM-1.

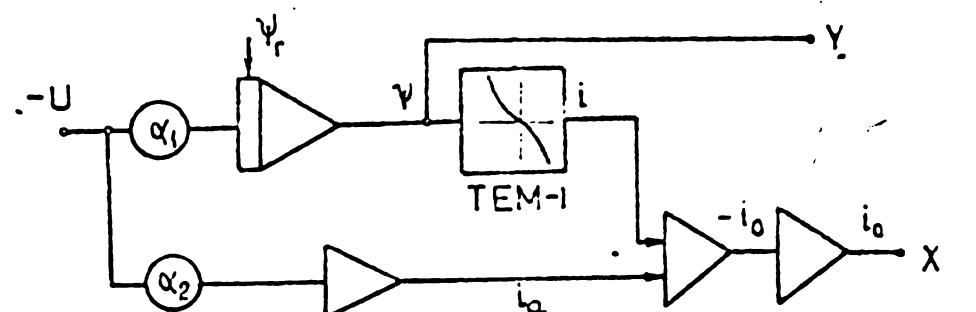


Fig.6.19

Tensiunea de ieșire pe y este proporțională cu ψ , iar cea de pe x-proportională cu i . În schema $U_{max} = 300 \text{ V}$, $\psi_{max} = 2 \text{ Wb}$, $f = 50 \text{ Hz}$.

$$\alpha_1 = \frac{U_{max}}{m_t \cdot \psi_{max}} = \frac{300}{50 \cdot 2} = 3$$

$\alpha_2 = \frac{1}{r_{fe}}$ depinde de pierderile în fier

Caracteristica $\Psi(i)$ normată este:

$\Psi(V)$	0,5	1,5	2,5	3,5	4,5	5,5	6,5	7,5	8,5	9,5
$i(V)$	0,2	0,4	0,7	1,1	1,5	2,1	2,9	3,9	5,4	8

Rezultatul obținut pe MEDA 42-TL se dă în fig.6.20 unde curba din 6.20.a este ciclul de histerezis cînd $\Psi_r = 0$, curba din 6.20.b. cînd $\Psi_r \neq 0$, iar curba în 6.20.c este curba fundamentală de magnetizare.

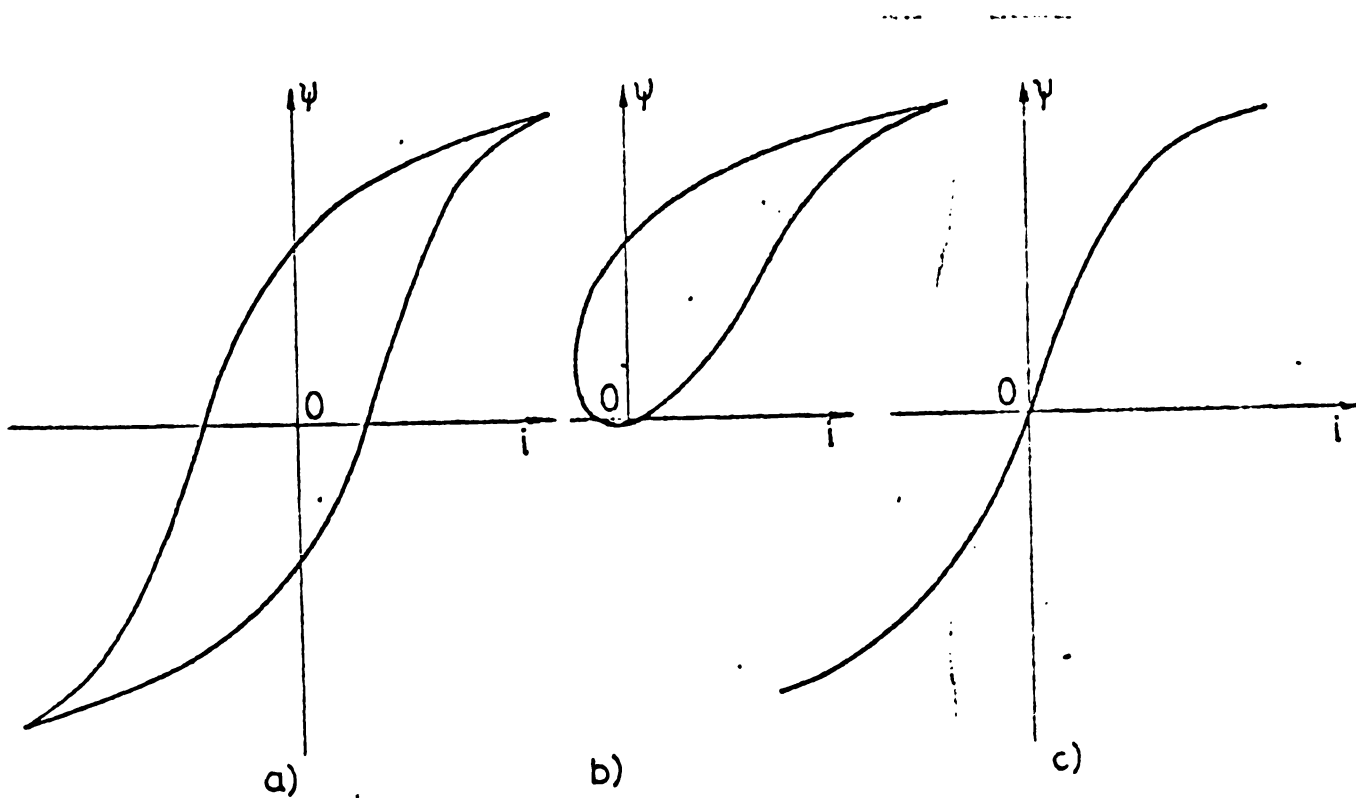


Fig.6.20.

6.6.4. Regim permanent în circuitul R-L în serie cu rezistență neliniară.

Se studiază problema prezentată în cap.III (pag 64)pe MEDA 42TL
Ecuația diferențială în cazul acesta este:

$$u = r_0 i + u(i) + L \frac{di}{dt} , \quad (6.34)$$

rezultă

$$\frac{di}{dt} = \frac{u}{L} - \frac{r_o}{L} i - \frac{u(i)}{L} \quad (6.35)$$

Programul calitativ este în fig.6.21.

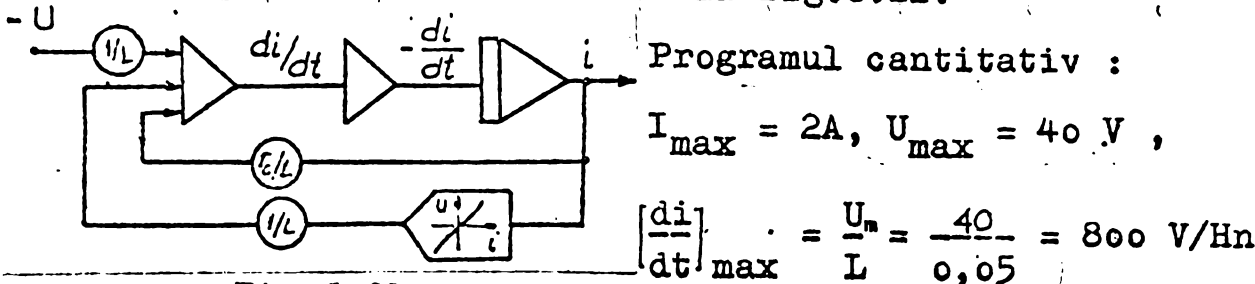


Fig.6.21.

Factorii de scară sănt :

$$m_i = \frac{10}{I_{\max}} = \frac{10}{2} = 5$$

$$m_U = \frac{10}{U_{\max}} = \frac{10}{40} = 0,25$$

$$m_t = \frac{\tau}{t} = \frac{1}{0,02} = 50$$

$$m_{\dot{i}} = \frac{10}{[\frac{di}{dt}]_{\max}} = \frac{10}{800} = 0,0125$$

Coefficienții potențiometrelor sănt:

$$\alpha_1 = \frac{m_i}{m_i m_t} = \frac{5}{0,0125 \cdot 50} = 0,8 \times 10$$

$$\alpha_2 = \frac{r_o}{L} \frac{m_i}{m_i} = \frac{12 \cdot 0,0125}{0,05 \cdot 5} = 0,6$$

$$\alpha_3 = \frac{m_i}{L m_U} = \frac{0,0125}{0,05 \cdot 0,25} = 1$$

$$\alpha_4 = \frac{m_i}{L m_U} = \alpha_3 = 1$$

Condiția inițială $U(0) = U_{\max} \cdot m_U = 35,35 \cdot 0,25 = 8,9 \text{ V}$

Caracteristica neliniară $u(i)$ normată este:

$U_{in}(\text{V})$	0	0,5	1,5	2,5	3,5	4,5	5,5	6,5	7,5	8,5
$U_{ies}(\text{V})$	0	2,0	3,5	4,5	5,5	6,0	6,6	7,0	7,5	7,7

Programul cantitativ pe MEDA 42-TL se prezintă în fig.6.22,
iar rezultatul este dat în fig.6.23.

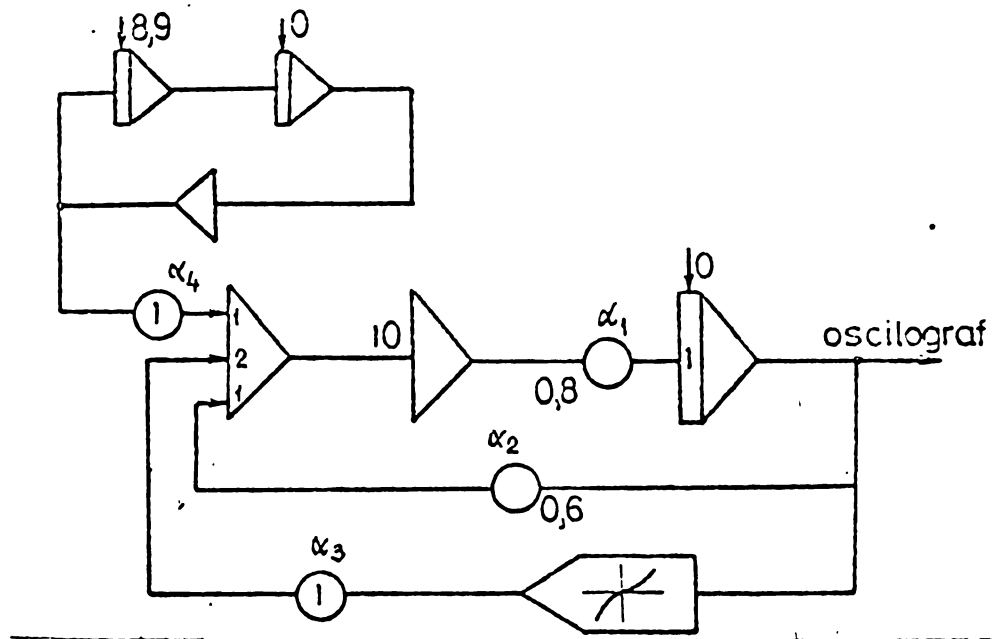


Fig.6.22.

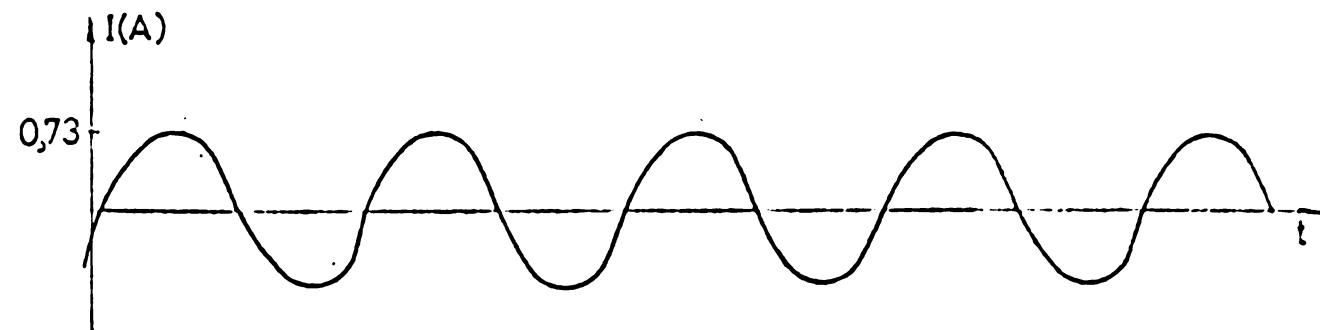
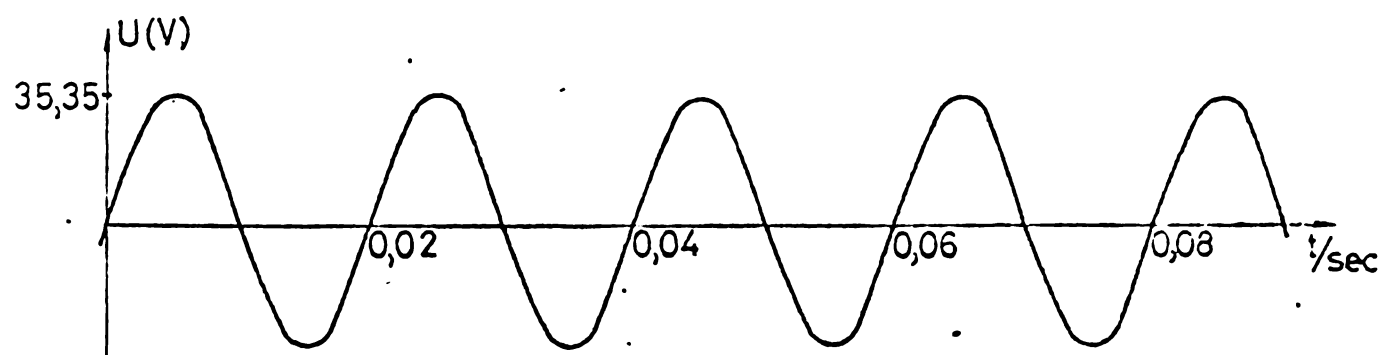


Fig.6.23.

6.6.5. Regim forțat periodic în circuitul R,L serie cu bobina nelineiară.

Se studiază problema prezentată în cap.IV (pag.88) pe MEDA 42 Tl. Caracteristica de magnetizare $\psi(i) = ai - bi^3$ în cazul $a = 0,5 \text{ H}$, $b = 0,01 \text{ H/A}^2$, $b = 0,02 \text{ H/A}^2$

Ecuația diferențială a circuitului este:

$$u = \frac{d\psi}{dt} + ri \quad (6.36)$$

Programul calitativ se prezintă în fig.6.24.

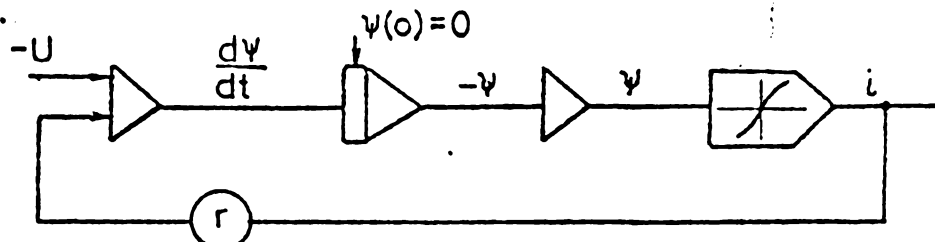


Fig.6.24.

Programul cantitativ este:

$$U_{\max} = 400 \text{ V}, I_{\max} = \frac{U_{\max}}{R} = \frac{400}{100} = 4 \text{ A}$$

$$\left[\frac{d\psi}{dt} \right]_{\max} = 400 \text{ V}, \psi_{\max} = 2 \text{ Weber}, U(0) = 300 \cdot m_v = 300 \cdot 0,025 = 7,5 \text{ V}$$

Factorii de scără sănt:

$$m_v = \frac{10}{U_{\max}} = \frac{10}{400} = 0,025 = m_{\dot{\psi}}$$

$$m_I = \frac{10}{I_{\max}} = \frac{10}{4} = 2,5$$

$$m_{\psi} = \frac{10}{\max} = \frac{10}{2} = 5$$

$$m_t = \frac{1}{t} = \frac{1}{0,02} = 50$$

Coeficienții potențiometrelor sănt

$$\alpha_1 = \frac{m}{m_{\dot{\psi}} \cdot m_t} = \frac{5}{0,025 \cdot 50} = 0,4 \times 10; \alpha_2 = \frac{r \cdot m_{\dot{\psi}}}{m_I} = \frac{100 \cdot 0,025}{2,5} = 1$$

$$\alpha_3 = \frac{m_{\psi}}{m_V} = \frac{0,025}{0,025} = 1$$

Caracteristica neliniară $\psi(i)$ normată este :

U_{in} (V)	0 0,5 1,5 2,5 3,5 4,5 5,5 6,5 6,8
U_{ies} (V)	0 0,50 1,52 2,60 3,70 4,90 6,40 8,90 10

Programul cantitativ se prezintă în fig.6.25. Rezultatul obținut pe MEDA 42 TL se dă în fig.6.26.

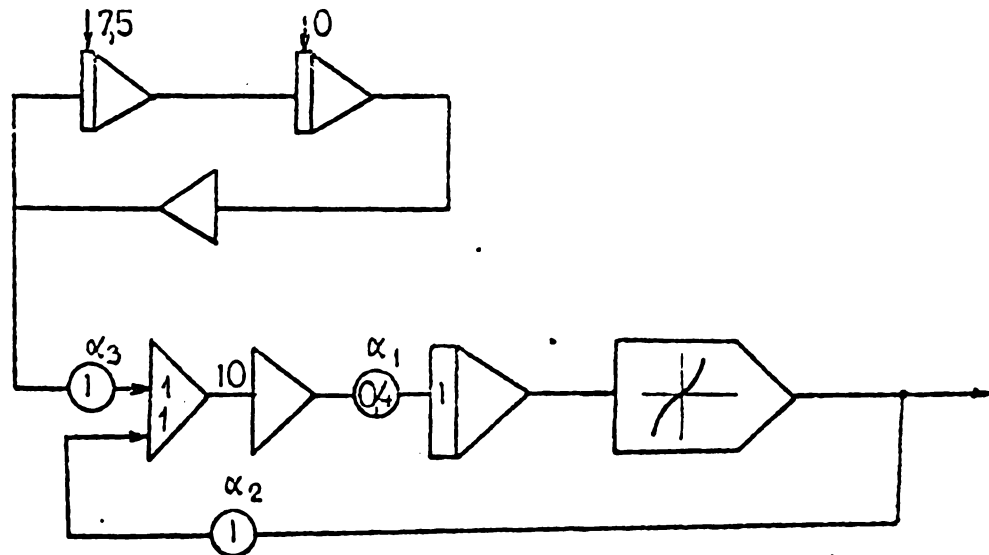


Fig.6.25

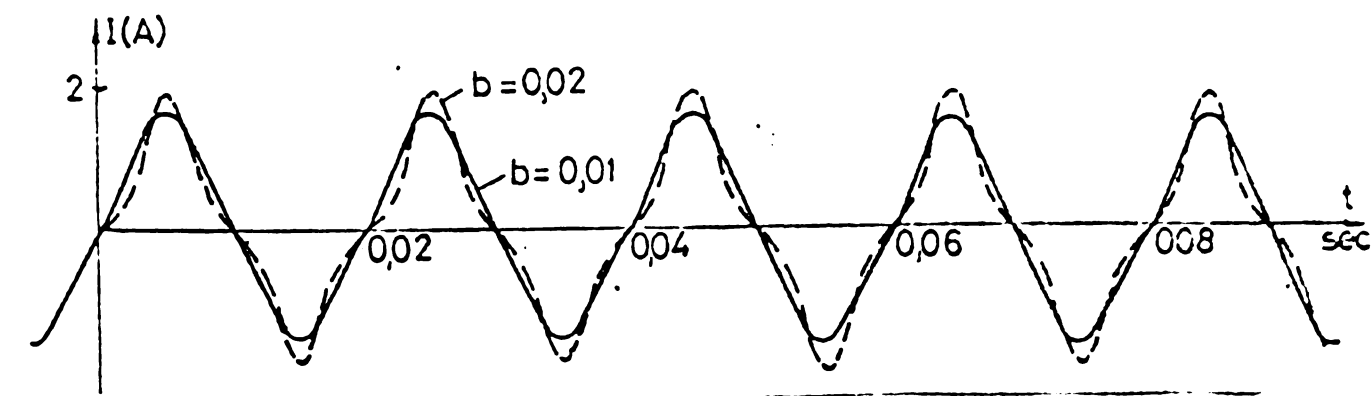


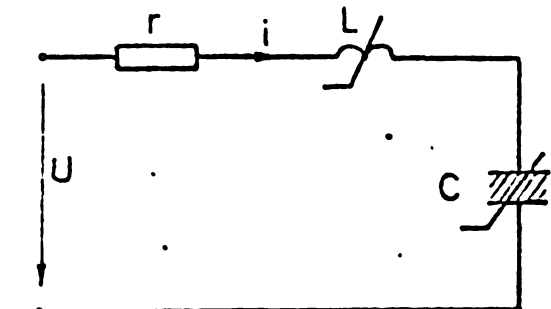
Fig.6.26.

6.6.6. Studiul seignetoferorezonanței pe calculatorul analogic MEDA 42.TL.

Seignetoferorezonanța se studiază cu ajutorul metodelor

grafoanalitice [46], analitice [16]. Se obțin ușor caracteristicile seignetoferorezonanței folosind calculatorul analogic MEDA 42 TL. Circuitul studiat se prezintă în fig.

6.27. unde condensatorul neliniar este varikonul BK-35.



Caracteristica lui se aproximează prin relația [46].

$$u = \frac{q}{C_0} (1 - aq^2 + bq^4)$$

$$C_0 = 0,88 \cdot 10^{-6} F, a = 31 \cdot 10^6 C^{-2},$$

$$b = 1230 \cdot 10^{12} C^{-4}.$$

Fig.6.27.

Bobina neliniară se aproximează prin relația:

$$\psi(i) = ai - bi^3 = 0,1 (0,41 - 0,01i^3), -1 \leq i \leq 1 A.$$

Tensiunea este sinusoidală $U = 380 \sin 5000t V, r = 400 \Omega$

Ecuația circuitului ferorezonanței se obține cu teorema a doua alui Kirchhoff:

$$u = ri + \frac{d\psi}{dt} + u_C \quad (6.37)$$

$$\text{unde } \psi = ai - bi^3 \text{ rezultă } \frac{d\psi}{dt} = (a - 3bi^2) \frac{di}{dt} \quad (6.38)$$

deoarece $i = \frac{dq}{dt}$, ecuația (6.38) devine:

$$\frac{d\psi}{dt} = \left[a - 3b\left(\frac{dq}{dt}\right)^2 \right] \cdot \frac{d^2q}{dt^2} \quad (6.39)$$

Inlocuind (6.39) în (6.37) avem:

$$u = \frac{rdq}{dt} + \left[a - 3b\left(\frac{dq}{dt}\right)^2 \right] \frac{d^2q}{dt^2} + u_C \quad (6.40)$$

sau

$$\frac{d^2q}{dt^2} = \frac{u - u_C - r \frac{dq}{dt}}{a - 3b\left(\frac{dq}{dt}\right)^2} \quad (6.41)$$

Programul calitativ se prezintă în fig.6.28 unde se folosește generatorul de funcții pentru modelarea caracteristicii neliniare a condensatorului, iar caracteristica neliniară a bobinei se modelează cu ajutorul înmulțitorului și sumator-

rului.

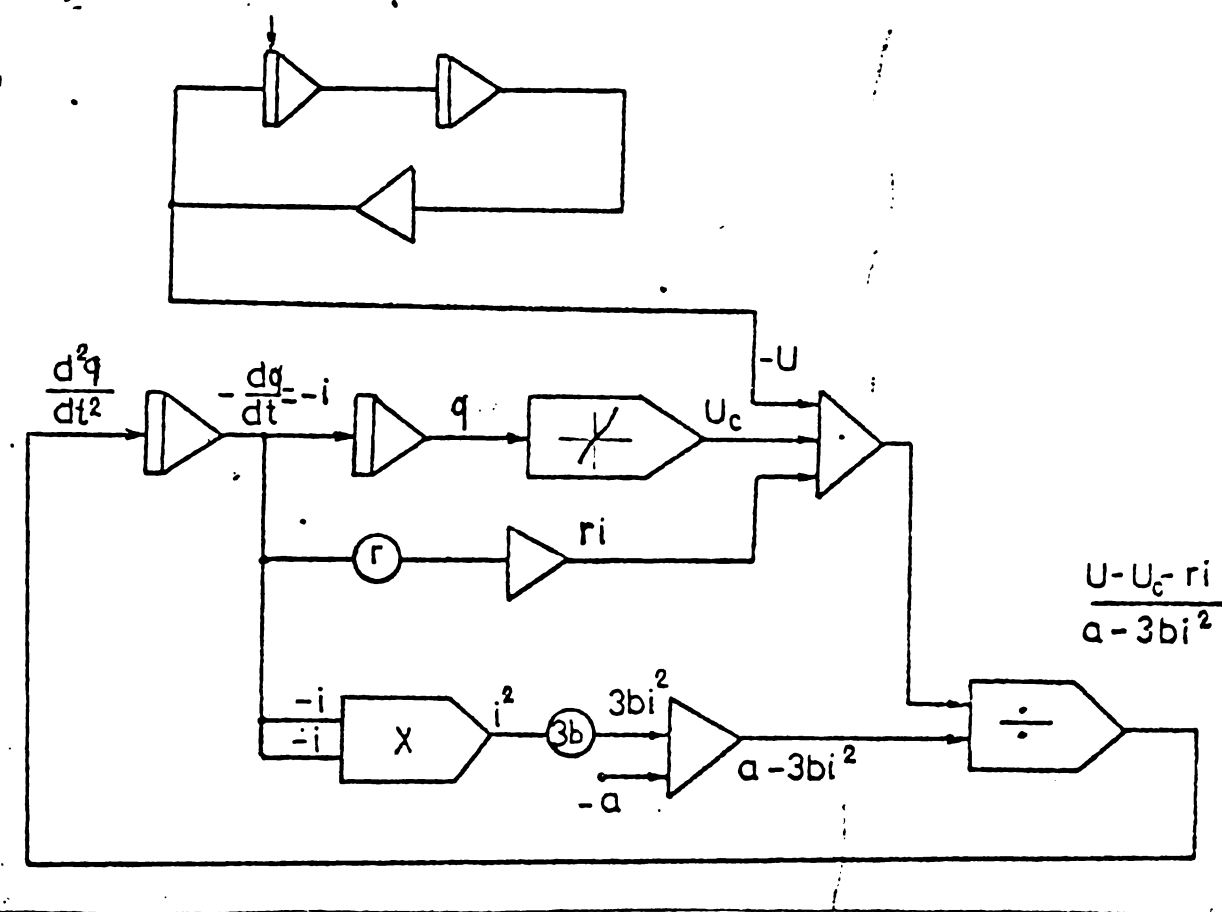


Fig.6.28

Programul cantitativ:

Valorile maxime ale variabilelor:

$$U_m = 400 \text{ V}, \quad I_m = \frac{U_m}{r} = \frac{400}{400} = 1 \text{ A}$$

$$q_m = 2 \cdot 10^{-4} \text{ C}$$

$$I_m = \dot{q}_m = \omega q_m = 1 \text{ A}$$

$$f = \frac{\omega}{2\pi} = \frac{5000}{2\pi} = 796 \text{ Hz} (\approx 800 \text{ Hz})$$

$$(\ddot{q})_m = (\omega \dot{q})_m = 5000$$

$$\left(\frac{d\Psi}{dt} \right)_m = U_m = 400 \text{ V}$$

Factorii de scară săint:

$$m_v = \frac{10}{U_m} = \frac{10}{400} = 0,025$$

$$m_I = m_q = \frac{10}{1} = 10$$

$$m_{\ddot{q}} = \frac{10}{\omega_m \cdot I_m} = \frac{10}{5000} = 0,002$$

$$m_t = \frac{3}{t} = \frac{1}{1/800} = 800$$

Condiția inițială pe integrator este

$$U_0 = 380 \text{ m}_v = 380 \cdot 0,025 = 9,5 \text{ V.}$$

$$\alpha_1 = \frac{\ddot{q}}{I_m \cdot m_t} = \frac{5000}{1 \cdot 800} = 0,625 \cdot 10$$

$$\alpha_2 = \frac{I_m}{q_m \cdot m_t} = \frac{1}{2 \cdot 10^{-4} \cdot 800} = 0,625 \cdot 10$$

$$\alpha_3 = \alpha_4 = \frac{U_m}{U_m} = 1$$

$$\alpha_5 = r \cdot \frac{I_m}{U_m} = \frac{400 \cdot 1}{400} = 1$$

$$\alpha_6 = \frac{U_m}{\ddot{q}_m} = \frac{400}{5000} = 0,08$$

$$\alpha_7 = \frac{\left[\frac{d\psi}{dt} \right]_m}{q_m} = \frac{400}{5000} = 0,08$$

$$\alpha_8 = a \cdot \frac{U_m}{\left[\frac{d\psi}{dt} \right]_m} = 0,04$$

$$\alpha_9 = 3b \cdot \frac{U_m}{\left[\frac{d\psi}{dt} \right]_m} \cdot 10 = 0,03$$

Caracteristica varikonului BK-35 normată este:

$q(C)$	0	$1 \cdot 10^{-5}$	$3 \cdot 10^{-5}$	$5 \cdot 10^{-5}$	$7 \cdot 10^{-5}$	$9 \cdot 10^{-5}$	$1 \cdot 10^{-4}$	$1,3 \cdot 10^{-4}$	$1,5 \cdot 10^{-4}$	$1,7 \cdot 10^{-4}$
$U(V)$	0	41,30	33,40	43,50	69,20	83,80	101,00	116,00	158,00	248,60
$q_m(V)$	0	0,50	1,50	2,50	5,50	4,50	5,50	6,50	7,50	8,50
$U_m(V)$	0	0,28	0,83	1,32	1,73	2,10	2,52	2,90	3,95	5,45

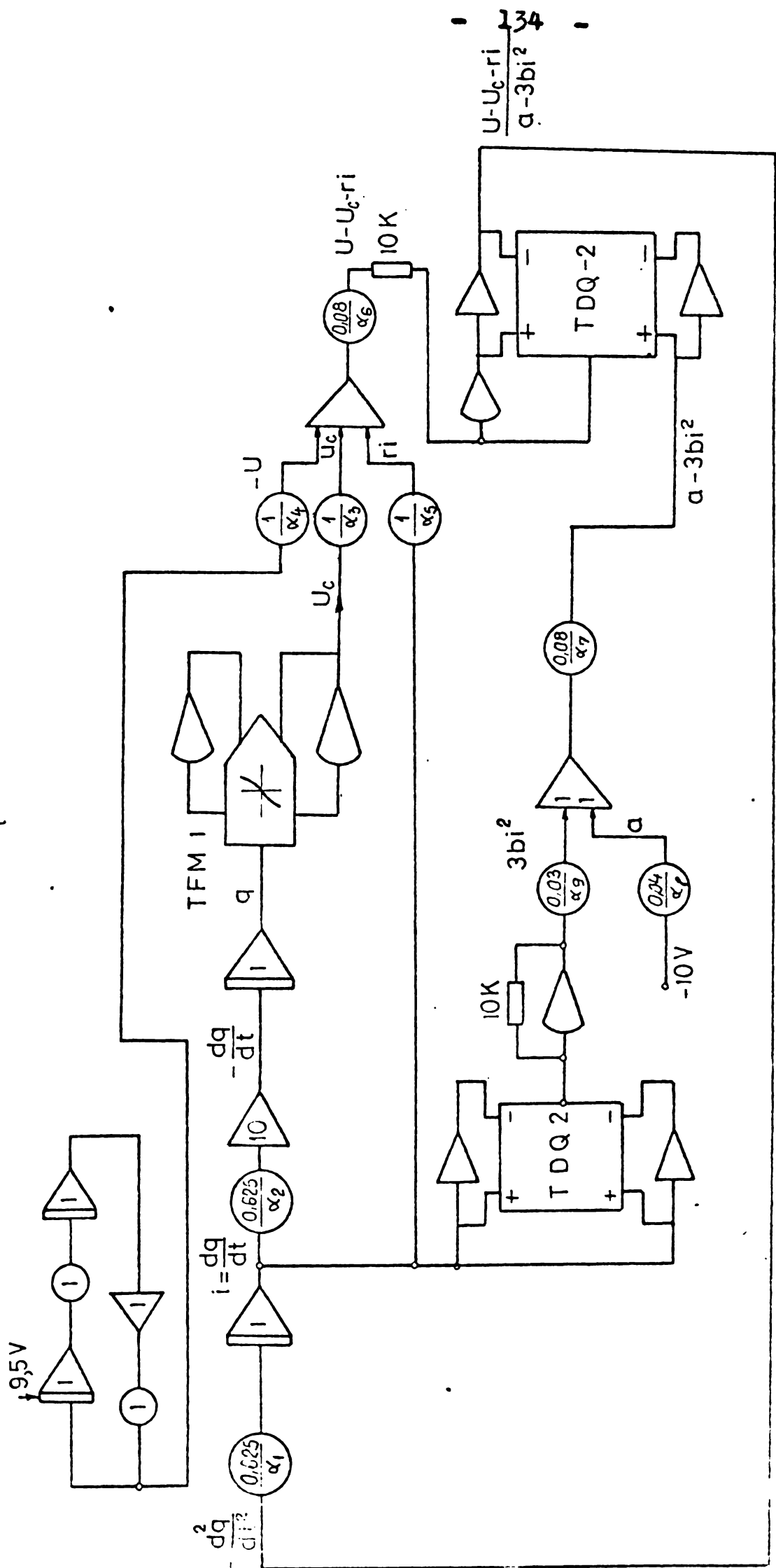


FIG. 6.29

Programul cantitativ se prezintă în fig.6.29, unde se folosește generatorul neliniar TFM-1 pentru modelarea caracteristicii varikonului, iar pentru modelarea caracteristicii magnetice se folosește blocul TDQ.2 ca înmulțitor și divizor. Tensiunea la ieșire a divizorului este $\frac{1}{10} \cdot \frac{u_1}{u_2}$, tensiunea la ieșire a înmulțitorului este $10 \cdot u_1 \cdot u_2$.

Curba curentului seignetoferorezonanței este asemănătoare curbei curentului ferorezonanței (fig.6.30), iar curba tensiunii pe varikon are forma ascuțită, datorită saturăției varikonului.

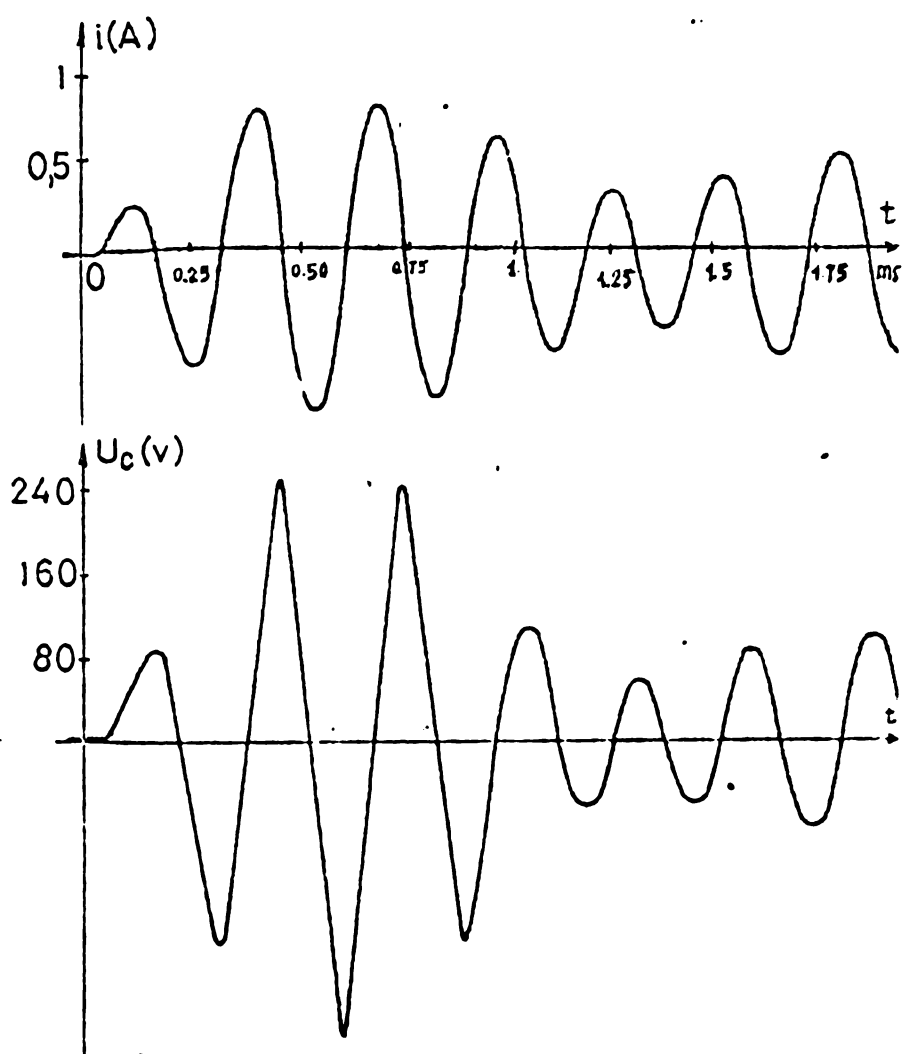


FIG.6.30

CAPITOLUL VII.

CONCLUZII GENERALE

Lucrarea conține un studiu de sinteză asupra principalelor metode de calcul ale regimurilor forțate din circuite neli- niare având în general caracteristicile elementelor săt aproximămate prin polinoame.

Principalele contribuții originale cuprinse în lucrare săt :

1. Se face o sinteză a stadiului actual al metodelor de rezolvare ale circuitelor neliinare în regim forțat ținind seama de metodele de calcul cele mai frecvent folosite. Se studiază în detaliu, în principal, metodele elaborate în ultimii ani.

2. S-a elaborat o nouă metodă de calcul prin modificarea metodei balanței armonice. Ea constă în schimbarea originei axelor de coordinate ceea ce micșorează numărul de ecuații pentru determinarea constantelor.

S-au stabilit relații de calcul pentru determinarea momentului de trecere prin zero a curentului de regim forțat în raport cu momentul trecerii prin zero a semnalului de intrare.

- Elaborarea metodei de calcul iterative prin metoda balanței armonice modificate pe baza căreia s-a stabilit un program în FORTRAN pentru circuitul R-L având rezistență neliiniară

- Volumul de calcul la metoda balanței armonice modificate este mai mic decât cel necesar la aplicarea metodei balanței armonice.

- Metoda balanței armonice modificate se aplică numai în cazul cînd caracteristica neliiniară este impară.

3. Se studiază avantajele transformatorilor în puncte și în complex la găsirea soluțiilor de regim forțat în circuite neli- niare. S-a ajuns la concluzia că metoda transformatorii în complex prezintă avantaje la calculul circuitelor neliinare exitate

de semnale sinusoidale iar metoda transformatei în puncte este foarte utilă dacă se folosesc calculatoarele numerice. În lucrare s-a stabilit un program în FORTRAN pentru circuitul R-L având bobina neliniară, folosind derivate centrate.

4. S-a elaborat o metodă de folosire a transformatei Laplace pe o perioadă la studiul regimului forțat a circuitelor neliniare. În acest scop s-au stabilit principalele teoreme ale transformatei Laplace pe o perioadă: teorema integrării, teorema deplasării și teorema puterii unei funcții originale.

Pe baza acestora s-a elaborat o metodă iterativă pentru găsirea soluțiilor forțate ale circuitelor neliniare.

Metoda oferă soluția analitică și este mai simplă decât metoda conoluției în planul complex care dă soluția regimului tranzitoriu. Metoda este utilă pentru găsirea soluțiilor periodice forțate în circuite neliniare.

5. S-a elaborat un studiu asupra folosirii calculatoarelor analogice în analiza circuitelor neliniare. Lucrarea cuprinde cîteva aplicații pe calculatorul analogic MEDA 42 TL și anume:

– Rezolvarea unui circuit de curent continuu folosind metoda curentilor de contur. Programarea este simplă dar numărul amplificatoarelor folosite crește mult o dată cu sporirea numărului ecuațiilor de contur.

– Studiul regimului forțat periodic în circuitul R,L neliniar având rezistență neliniară și bobina neliniară. Rezultatele obținute pe calculator coincid cu cele determinate prin metoda balanței armonice modificate, metoda transformatei în puncte, metoda transformatei în complex și prin metoda transformatei Laplace pe o perioadă.

– Modelarea curbei de magnetizare fără histerezis și cu histerezis.

- Studiul seignetoferorezonanței pe MEDA-42 TL. Curba curentului în regimul seignetoferorezonanței este asemănătoare cu curba curentului în regimul ferorezonanței.

Calculatorul analogic prezintă avantaje în toate domeniile analizei circuitelor neliniare.

BIBLIOGRAFIE

- 1 Balabanian N., Bickart T. Teorema modernă a.circuitelor
Ed.Tehnica București 1974.
- 2 Bessonov L.A. Dostizienia v oblasti issledovania nelineinih
electriceskikh čepej. Electricestvo 1963 Nr.3.
- 3 Bessonov L.A. Nelineinie electriceskie čepi Moscva 1977.
- 4 Bondarenco V.M. Voprosi analiza nelineinich čepej. Kiev 1967.
- 5 Bondarenco V.M. Včislitenia matematika i tehnika AH YCCP
1962.
- 6 Bondari M.A, Lane A.A. Ov analize odnovo clasa nelineinih
rezistivnih čepej. Teoreticeskaia electrotehnica
Nr.11.
- 7 Carpov E.A. Aproximatiā v zadačah analiza i sinteza nelineinih
čepej. Piataia vsesoiuznaia meзвузовскаia konfe-
renčia po teorii i metodam rasciota nelineinih
čepej i sistem.
- 8 Carpov E.A. Primenenie integralnih uravnenii k rasciotu
periodicoskikh rugimov v nolineinih čepah.
Teoreticeskaia electrotehnica Nr.7.
- 9 Cunningham W.J. Instroduction to nonlinear analysis.
Mc.Graw-Hill.N.Y.1958.
- 10 Demircian K.S, Volcov V.M., Kartashev.
Sравнениī analiz metodov cislenovo integri-
rovania pri rasciote perehodnih procesov v
electriceskikh čepah. Electricestvo 1976, Nr.9.
- 11 Dennis D.Z. Matemateskoe programirovanie i electriceskie
čepi ILL 1961.
- 12 Filt R.V, Bilii L.A.
Rasciot caratteristic periodiceskikh reginov
staticeskikh nolineinih electromagnetonih ustroistv
Teoreticeskaia electrotehnica 1972 Nr.14.

- 13 Farhi S.L., Hinova I.G. Metod analiza sinusoidalnîh regimov v nelineinîh tpeah s feromagnitnoi inductivnoi sviaziu. Electrictestvo 1972, Nr.11.
- 14 Ilin V.M. Algoritm opredelenia armoniceskovo sostava trigometriceskih funktsii s nenulevîmi naçanîmi fazami armonio. Izv. viissih ucev. zav. energetica 1966, Nr.12.
- 15 Ilin V.M. Metodi poluchenia i resenia sistemî algebraiceskih uravnenii pri rasciote nelineinîh electriceskih tpeei. Izv. viissih ucev. zav. energetica 1967 Nr.5.
- 16 Ilin V.M. Rasciot periodiceskih regimov nelineinîh electriceskih tpeei .Izv.viissih ucev.zav.Energetica 1968 Nr.8.
- 17 Ionkin P.A. Electrictestvo 1953, Nr.8.
- 18 Kontorovici M.I. Calculul operațional și fenomenele tranzitorii în circuite electrice E.E.S. 1955.
- 19 Korn G.A. Korn T.M. Electronic Analog and Hybrid Computers. Mc.Graw-Hill 1964.
- 20 Leon Lewin Methods for solving engineering problems using analog computers .Mc.Graw-Hill 1964.
- 21 Levchenko G.N. Primenenie EU.BM dlia rasciota schem na feritah i seignetocondensatorov .Kiev 1969.
- 22 Mezin L.V. Sohina L.N. K armoniceskomu analizu nelineinîh tpeei complexnim metodom Teoreticeskaia electro-tehnica 1971, Nr.11
- 23 Marcarova L.V. Primenenie riadov Lagrange dlia analiza electriceskih tpeei. Tr Cubisev aviatia 1973.
- 24 Nagorki Modelirovanie electronîh tpeei na UBM Kiev 1974
- 25 Paternac M.P. Sposovi ulusenia shodimosti metoda Newton pri analiza nelineinîh tpeei. Teoreticeskaia Electro-tehnica Nr.16.

- 26 Ponner I. Contribuții privind calculul circuitelor de curent alternativ care conțin un singur element neliniar simetric ohmic sau reactiv. Studii și cercetări de Energetică și electro-tehnica 1971, Nr.1.
- 27 Philippow Eugen Nichlineare Electrotehnic. Leipzig 1971.
- 28 Puhov G.E., Bondarenco V.M. O zadață sovremenă teorii ţepei i mašinovo proectirovania electronikh schem. Teoreticeskaiu electrotchnica 1969, Nr.7.
- 29 Puhov G.E. Metodî analiza i sinteza cvasinalogih electronikh ţepei Kiev 1969.
- 30 Poliakovki Y.Y., Siniski L.A. O rasciote periodiceskikh regimov y nelineinîh abtomîh ţepah na R.B.U Teoreticeskaia Electrotehnica 1972, Nr.13.
- 31 Schichman .Integration system of nonlinear Analysis Program I.E.E.E. Trans.on circ.Theory.1970 August.
- 32 Schiop Al.I. Metode aproximative în analiza neliiniară Ed.Acad,R.S.R. 1972.
- 33 Savel Mitrea A piece-wise linear method for solving the steady-state in sinevoltage driven serie R.L nonlinear circuits. Buletinul I.P.Iași,1973 fasc.3-4.
- 34 Spinei Fănică Contribuții privind teoria circuitelor electrice cu elementele neliiniare și cu parametrii variabili.I.P.B Teză de doctorat, 1971.
- 35 Savin Gh, Rosman H. Circuite electrice neliiniare și parametrice. Ed.tehnică, București, 1973.
- 36 Stănciulescu Florin The systemic approach of the theory of nonlinear electrical circuits.Revue roumain des sciences techniques.Serie Elect. et energ. Tom.22 1,1977.
- 37 Stănciulesou Florin Analiza și simularea sistemelor neliiniare Ed.Acad.R.S.R. 1974.

- 38 Sovpel V.B. Opredelenie periodiceskikh regimov v nelineinikh čepah. Teoreticeskaia Electrotehnica 1970, Nr.10.
- 39 Sovpel V.B. Rasciot periodiceskikh procesov v nelineinikh čepah s pomostiu prosteisih matric integriruvania. Teoreticeskaia Electrotehnica 1970, Nr.10.
- 40 Sovpel V.B. Uvelicenie tosnosti rasciota periodiceskikh v nelineinikh čepah s pomosiu proteisih integralnih tocesnih preovnazovanii. Teoreticeskaia Electrotehnica Nr.18.
- 41 Siniski L.A., Sumkov Y.M. O poiske periodiceskikh regimov v nelineinikh čepah cislenimi metodami. Teoreticeskaia Electrotehnica Nr.9 1970.
- 42 Tabarnii V.G., Vasiniuc V.E. Nekotorie metodi cislenovo integtrirovania i ih primenie k mašinomu analizu nelineinikh schem. Teoreticeskaia Electrotehnica Nr.14 ,1972.
- 43 Teodorescu D. Desribing function series: a new means for nonlinear control system analysis. Proc.IEE 11.1970.
- 44 Totelbaum. Eletriceskoe modelirovanie, Moscova 1959.
- 45 Vladíko V.M., Duvanienco V.V. Rasciot nelineinikh čepai s pomosiu mnogoslenov Cebíšev's uciotom ciotnih armonic. Izv. Energetica 1973, Nr.7.
- 46 Vladimirov V.L. Topsi V.Z. Isledovanie rezonansnih crivih posledovatenovo seignetoferorezonanovo kolebatelnovo kontura. Teoreticeskaia electrotehnica .1967, Nr.3.
- 47 Voronov R.A. Rasciot tocov i napriazenii v čepah s bezintionimi nelineinimi elementami. Electricestvo 1953, Nr.8.
- 48 Verlan A.F. Modeli nelineinikh integralnih uravnenii Volterra Matematiceskoe modelirovanie i elec.čepi 1966, Nr.4.
- 49 William Lewis Hughes Nonlinear electrical networks. The Ronald Press Comp. lo NY.

- 50 Zazirko V.N. K teorii electricekih ḥepei s kušoťno-lineinimi caratteristikami. Teoreticeskaia electrotehnica 1972, Nr.13.
- 51 Zaednîi A.M. Metodî rasciota i isledovania ḥepei na osnova ispolzovania obaſenîh fazorîh coordinat. Piataia vesoiuznaia meзвuzovskaia conferinča po teorii i metodî, neliniař ḥepei i sistem.
- 52 Nekotorîe voprosi metodiki potgotovki zaduš dlia roženija na mašinah neprerivnovo deistria. Matematicheskoe mod. i elect. ḥepi Kiev 1966 Nr.4.
- 53 Metodî modelirovania funkčionalnih zavisimostei na ABM. Matematicheskoe mod. i elect. ḥepi Kiev Nr.12.